

Госстроя СССР  
СОЮЗМЕТАЛЛОСТРОЯНИИПРОЕКТ

Центральный ордена Трудового Красного Знамени  
научно исследовательский и проектный институт  
строительных металлоконструкций  
имени Н.П.Мельникова

ЦНИИПРОЕКТСТАЛЬКОНСТРУКЦИЯ им. Мельникова

РУКОВОДСТВО  
ПО ПОДБОРУ СЕЧЕНИЙ ЭЛЕМЕНТОВ  
СТРОИТЕЛЬНЫХ СТАЛЬНЫХ КОНСТРУКЦИЙ

ЧАСТЬ 2

Москва 1987

Госстрой СССР  
Союзметаллостройнийпроект  
Центральный ордена Трудового Красного Знамени научно-исследовательский и проектный институт строительных металлоконструкций имени Н.П.Мельникова  
ЦНИИПРОЕКТСТАЛЬКОНСТРУКЦИЯ им. Мельникова

УТВЕРЖДАЮ

Директор института

*Мельников В.В.* Кузнецов

" "

1987г.

РУКОВОДСТВО  
по подбору сечений элементов строительных  
стальных конструкций

Часть 2

Москва, 1987

УДК 624.014.2

Руководство по подбору сечений элементов строительных стальных конструкций, часть 2. М., ЦНИИпроектстальконструкция им. Мельникова, 1987.

В Руководстве приведены данные по расчету балок и настилов технологических площадок и перекрытий, а также вспомогательные таблицы для подбора сечений.

В составлении Руководства принимали участие инженеры П.И.Суздалов, В.И.Мейтин, С.Д.Курина.

Руководство предназначено для инженерно-технических работников проектных организаций.

Все замечания и предложения направлять по адресу:  
г. Москва, 117393, ул. архитектора Власова, 49, технический отдел института.

## I. БАЛКИ

### Нагрузки на технологические и рабочие площадки

I.1. Значения нагрузок для расчета площадок принимаются, за исключением атмосферных нагрузок, по технологическим заданиям. При этом нагрузки не должны быть меньше нагрузок, оговоренных в Г3.7.

I.2. При опирании на балки площадок технологического оборудования нагрузку от отдельных агрегатов, аппаратов следует считать распределенной на  $0,5 n$  точек ( где  $n$  - количество опорных узлов аппарата) ввиду возможной неравномерности передачи нагрузки вследствие погрешностей изготовления и монтажа.

I.3. При проектировании технологических площадок, особенно рабочих с нагрузками более  $5 \text{ кН}/\text{м}^2$ , следует при обязательном согласовании с технологическими организациями вводить понижающие коэффициенты при сборе нагрузок на главные балки и стойки площадок. Понижающие коэффициенты при этом могут быть определены в соответствии с Г3.7.

### Конструирование и расчет площадок

I.4. Конструкция балочных клеток зависит от расположения технологического оборудования и вида настила. Основными критериями при этом являются экономия металла, минимальная трудоемкость изготовления и монтажа.

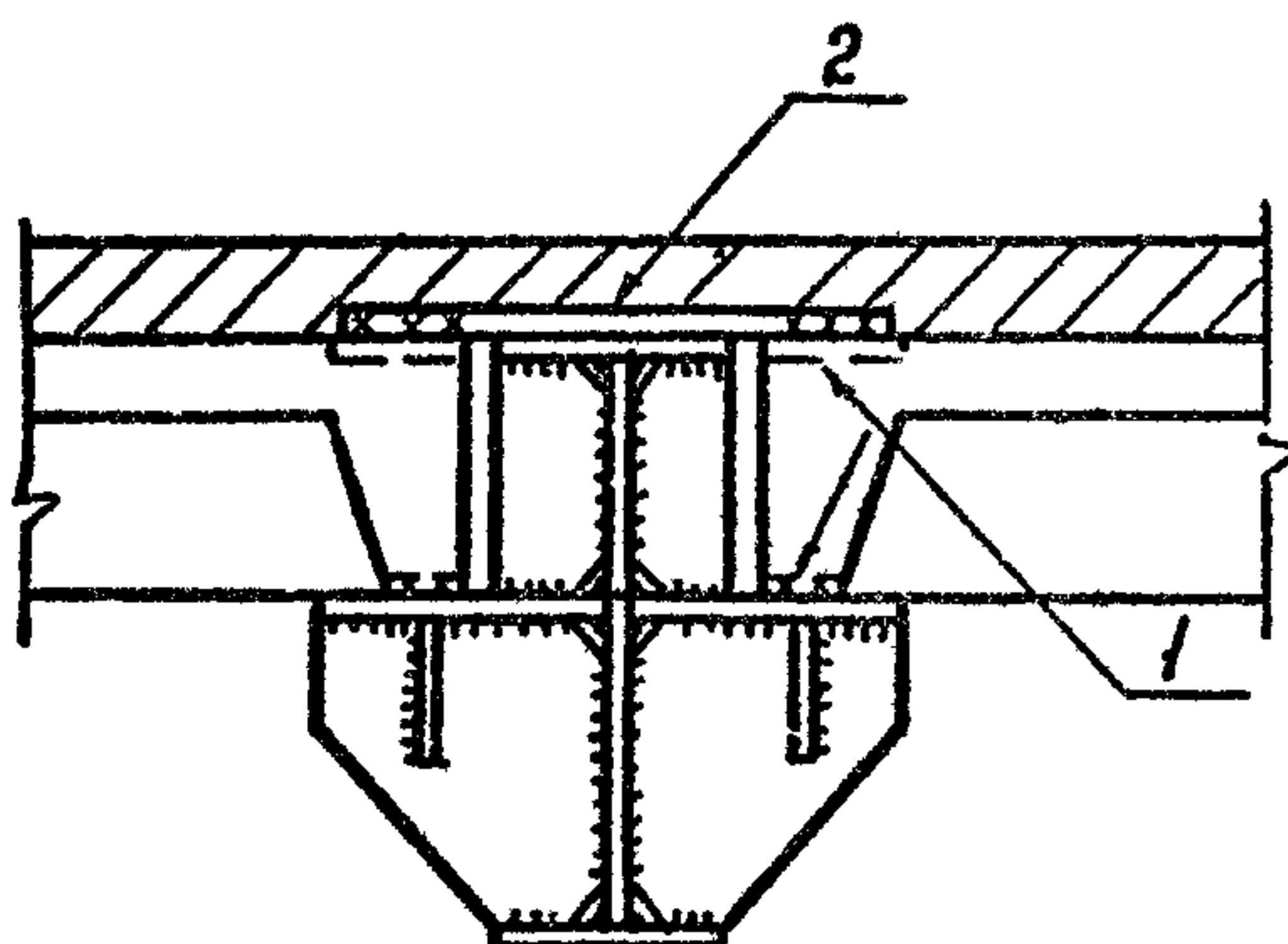
I.5. При металлическом настиле площадки шаг второстепенных балок, поддерживающих настил, следует назначать, исходя из условия полного использования несущей способности настила, и выполнять конструкцию площадки, как правило, блочно-щитового типа.

I.6. С целью упрощения монтажа при отсутствии ограничений по габариту перекрытий следует предусматривать этажное опирание второстепенных балок на главные балки. При опирании второстепенных балок на главные в одном уровне должна быть обеспечена возможность заводки второстепенных балок между главными и главными балок между колоннами.

I.7. При значительных сосредоточенных нагрузках, например от автопогрузчиков, настил рабочих площадок следует выполнять в виде ортотропной плиты. Расчет настила на прочность и устой-

чивость можно производить с учетом рекомендаций [7].

1.8. При выполнении настила перекрытия из сборных железобетонных плит наиболее целесообразным является применение плит с пролетом, равным шагу балок перекрытия с этажным опиранием плит на балки. Применение укороченных железобетонных плит перекрытия с опиранием их на балки в одном уровне приводит к значительному усложнению конструкции балок и к перерасходу металла. В этом случае с целью облегчения балок перекрытия следует предусматривать замоноличивание сборного перекрытия, создание неразрезной плиты перекрытия, что позволяет облегчить балки за счет передачи крутящего момента от односторонней временной нагрузки на плиты перекрытия (см. черт. I).



Черт. I. Узел опирания укороченных сборных железобетонных плит перекрытий на балку

1 - приварка плиты к арматуре и столику;

2 - арматура для передачи крутящего момента

1.9. При выполнении монолитного железобетонного перекрытия по стальным балкам, а также при замоноличивании перекрытия на сборных железобетонных плит нагрузки на балки перекрытия следует определять с учетом неразрезности перекрытия.

1.10. При этажном опирании железобетонных ребристых плит, а также второстепенных балок на главные балки следует выполнять проверку верхних полок главных балок на отгиб при отсутствии в главной балке подкрепляющего ребра непосредст-

венно под ребром железобетонной плиты или под второстепенной балкой.

При отсутствии подкрепляющих ребер в главной балке также следует проверять ее стенку на местное смятие.

#### Типы балок и компоновка сечений составных балок

Г.11. Прокатные балки принимают из двутавров или швеллеров, причем для применения рекомендуются наиболее экономичные профили, имеющие минимальную толщину стенки. Сварные балки, как правило, следует проектировать в виде двутавров из трех листов.

Предельная высота балок определяется габаритом железнодорожных перевозок. Как правило, следует избегать устройства продольных монтажных стыков балок.

Г.12. При пролетах балок более 12 м в целях уменьшения веса балки рекомендуется изменять сечение балки в соответствии с огибающей эпюрой моментов. При этом следует назначать не более двух стыков в одном пролете. Изменение сечения балок, как правило, производится за счет изменения ширины (толщины) поясов и стенки балок. При необходимости можно также изменять высоту балки по ее длине, если это экономически оправдано, так как изготовление балок переменной высоты более трудоемко.

В конструктивном отношении балки должны удовлетворять требованиям пунктов Г.24 - Г.28 Г.7

#### Подбор сечения балок

Г.13. При подборе сечений балок на действие изгибающего момента и поперечной силы необходимо обеспечить согласно Г.1:

- а) прочность балок в соответствии с п. 5.12-5.14, 5.17-5.23;
- б) относительные прогибы балок в соответствии с пунктом Г.1;
- в) общую устойчивость балок согласно п.5.15; 5.16;
- г) местную устойчивость стенки и поясов согласно разделу 7;
- д) выносливость балок, в которых могут возникать явления усталости в соответствии с требованиями раздела 9;
- е) прочность с учетом хрупкого разрушения в соответствии

с разделом 10.

I.14. Подбор сечений балок на прочность с учетом упругой работы материала рекомендуется производить с помощью таблиц Приложения I:

дутавровые балки по ГОСТ 26020-83 - табл. I;

балки из швеллеров по ГОСТ 8240-72 и дутавров по ГОСТ 8239-72 - табл. 2;

сварные балки высотой от 800 до 3200 мм - табл. 3.

В таблицах приведены также данные по расчету балок по второму предельному состоянию по условию прогиба. Приведены также величины  $\ell_{cr}$  по табл. 8 [17], при которых не требуется проверки балок на общую устойчивость.

I.15. Подбор сечений дутавровых балок по ГОСТ 26020-83 с учетом развития пластических деформаций рекомендуется производить с помощью таблиц Приложения 2.

I.16. Сечения ребер жесткости балок как односторонних, так и двухсторонних приведены в таблицах Приложения 4.

Сечения опорных ребер жесткости для разрезных и неразрезных балок также приведены в таблицах Приложения 4.

#### Расчет балок с учетом кручения

I.17. Касательные напряжения в элементах открытого сечения, подвергаемых свободному кручению, определяются по формуле

$$\tau_w = \frac{M_t \cdot t_w}{J_t} , \quad (I)$$

где:  $M_t$  - крутящий момент;

$J_t$  - момент инерции кручения балки;

$t_w$  - толщина стенки.

I.18. Напряжения в элементах открытого сечения, подвергаемых стесненному кручению, определяются по формулам

$$\sigma_\omega = \frac{B\omega}{W\omega} \leq R_y, \quad (2)$$

$$\tau_w = \pm \frac{M\omega \cdot S\omega}{J\omega \cdot t_w} + \frac{M_t \cdot t_w}{J_t} \leq R_s, \quad (3)$$

где.  $\sigma_\omega$  - нормальные напряжения от кручения;

$\tau_{\omega}$  - касательные напряжения от кручения;

$B_{\omega}$  - изгибио-крутящий бимомент в  $\text{kH}\cdot\text{m}^2$ ,  $\text{Н}\cdot\text{см}^2$ ;

$M_{\omega}$  - изгибио-крутящий момент в  $\text{kH}\cdot\text{м}$ ,  $\text{Н}\cdot\text{см}$ ;

I.19. Прочность элементов открытого сечения, подвергаемых изгибу и кручению, проверяется по формулам:

$$\pm \frac{M_x}{W_x} \pm \frac{M_y}{W_y} \pm \frac{B_{\omega}}{W_{u1}} \leq R_y, \quad (4)$$

$$\pm \frac{Q_x \cdot S_x}{J_x \cdot t} \pm \frac{Q_y \cdot S_y}{J_y \cdot t} \pm \tau_{\omega} \leq R_s \quad (5)$$

I.20. Определение бимоментов и крутящих моментов следует выполнять по формулам, приведенным в [4] с учетом закреплений по п. I.19. Секториальные геометрические характеристики прокатных двутавровых балок и швеллеров приведены в приложении 3.

I.21. Следует подразделять два типа закрепления:

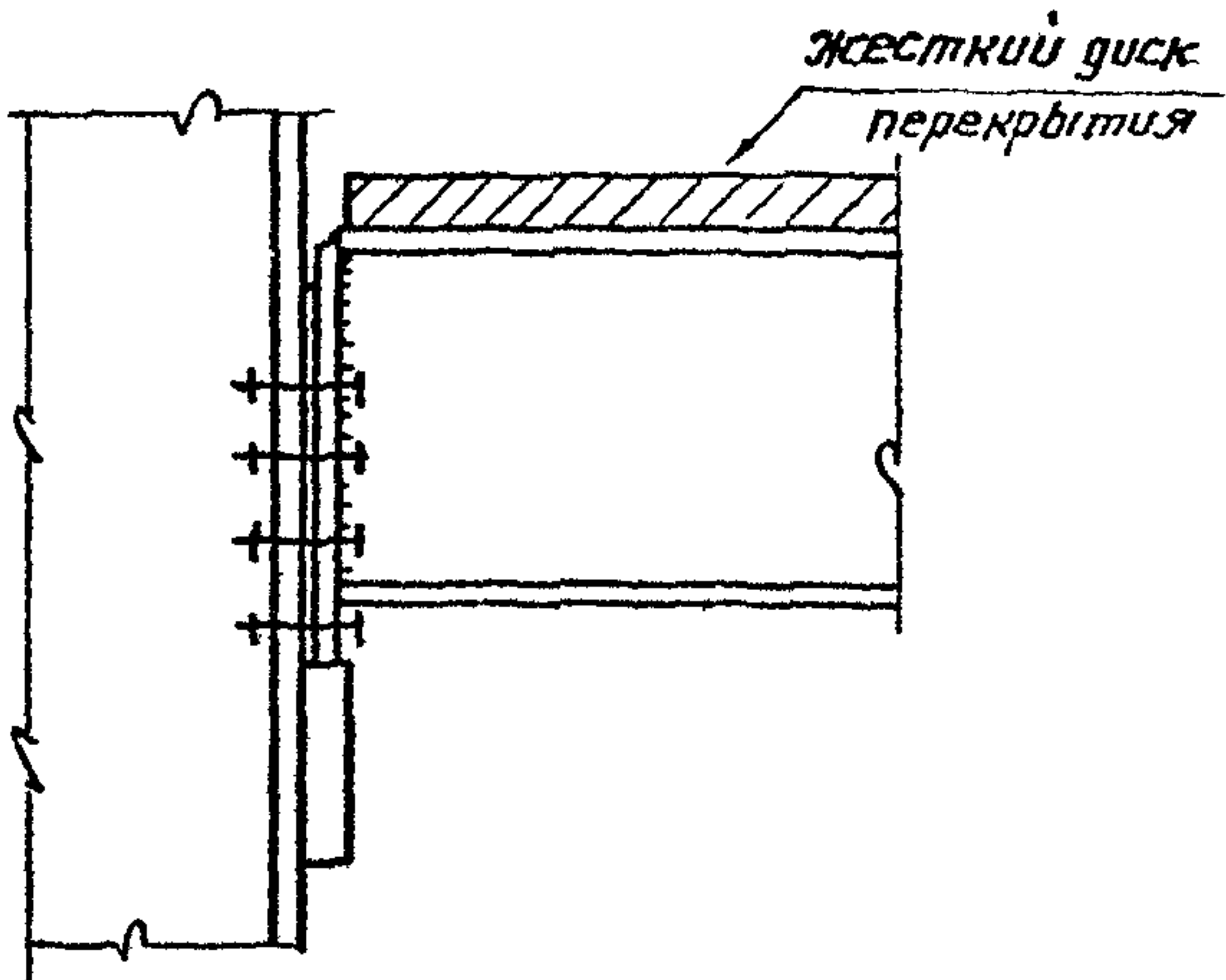
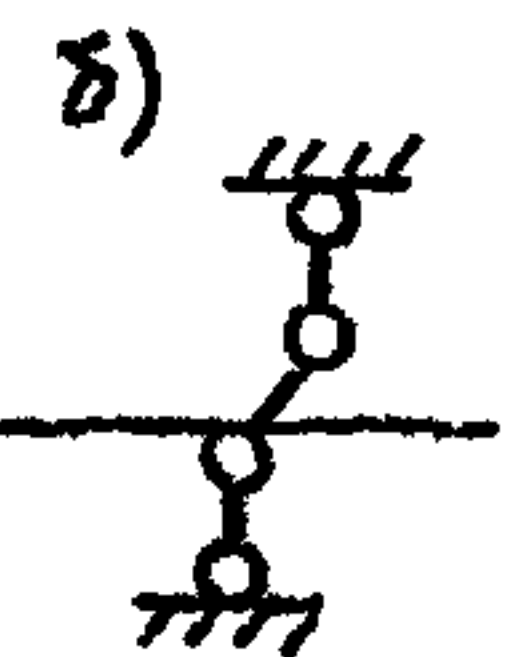
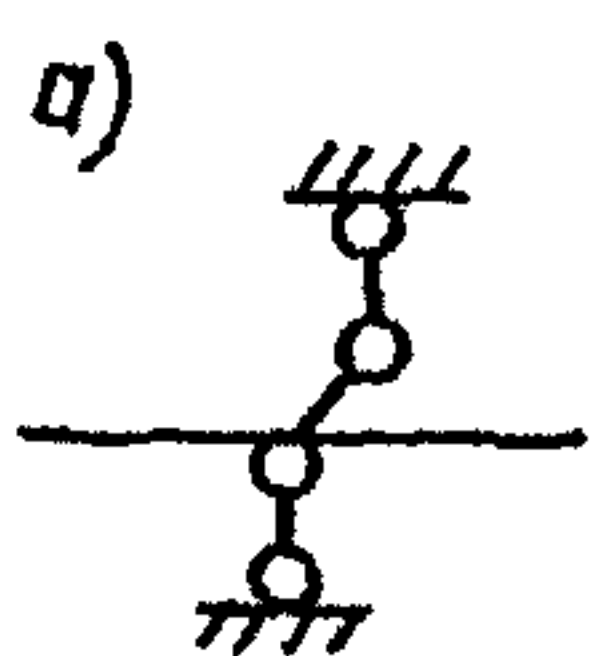
1. Опора, закрепляющая от закручивания, но не препятствующая свободной деформации.

2. Опора, закрепляющая от закручивания и деформации.

Условные обозначения опор (см. черт. 2).

Опоре типа 2 соответствует только жесткое крепление балок на опоре с перекрытием полок и опора по (черт. 3) при наличии жесткого диска перекрытия, приваренного к балке. Большинство других опираний балок являются промежуточными между опорами типа 1 и 2.

I.22. При невозможности избежать кручения балок необходимо принимать конструктивные меры по увеличению жесткости на кручение. Наличие рёбер жесткости, а также уменьшение расстояния между ними несущественно влияет на жёсткость балки. Согласно [4] для сварных двутавровых балок при определении момента инерции при кручении по формуле [7] может быть рекомендован коэффициент  $\alpha = 1,5$ . Более эффективным средством увеличения жёсткости балки является установка плиток, соединяющих верхний и нижний пояс балки. Варьируя расстояния между планками можно приблизить сечение балки к коробчатому.



Черт. 2. Условные обозначение  
опор балок

а - опора типа I;  
в - опора типа 2

Черт. 3. Узел опирания  
балок, соответствующий опоре ти-  
па 2 по черт. 2

## 2. ЛИСТОВЫЕ НАСТИЛЫ ПЛОЩАДОК

### Расчет сечения настила площадок

2.1. Листовые настилы рассчитываются как шарнирно или жестко опертые на опоры пластинки (жесткие, гибкие или абсолютно гибкие мембранные). Соотношение между работой настила на изгиб и растяжение зависит от толщины листа и величины его деформаций под действием поперечной нагрузки:

а) пластинка считается жесткой, если при ее деформации под действием поперечной нагрузки можно пренебречь напряжениями растяжения в срединной поверхности. Пластинки относятся к жестким, если величина стрелы прогиба при изгибе не превышает  $I/5$  толщины. Другим критерием жесткой пластинки может служить отношение пролета к толщине; при  $\frac{e}{t} < 50$  пластинка считается жесткой;

б) пластинка считается абсолютно гибкой или мембранный, если ее прогиб превышает толщину в 5 раз и более. При расчете мембранны можно пренебречь собственными изгибными напряжениями

по сравнению с напряжениями в срединной плоскости. Другим критерием мембранны может служить отношение пролета к толщине; при  $\frac{b}{t} > 300$  пластина считается мембраной;

б) гибкой называют пластинку, при расчете которой наряду с изгибными напряжениями необходимо учитывать целые напряжения от распора или мембранные усилия. Для тонких пластинок напряжения изгиба и целые напряжения являются величинами одного порядка.

2.2. Приваренный к балкам сплошной листовой настил с закрепленными от взаимного сближения кромками, работает на изгиб и растяжение как гибкая пластина. Если одна из сторон прямоугольной пластины имеет значительно большую длину, чем другая сторона (для практических целей  $\frac{b}{a} \geq 2$ ), то при расчете такой пластины можно пренебречь изгибом в направлении длинной стороны и свести задачу к случаю цилиндрического изгиба вдоль короткой стороны пластины.

2.3. Как правило в справочниках и монографиях таблицы для расчета пластинок приводятся только для пластинок с защемленными или шарнирно-опертыми кромками (черт. 4). Правда, в сборнике статей "Расчет пространственных конструкций" Выпуск УIII, М., Госстройиздат, 1962 Лейтесом С.Д. приведен график несущей способности пластины с защемленными кромками при учете пластических деформаций на опоре для стали с пределом текучести  $\tilde{\sigma}_t = 2400 \text{ кгс/см}^2$ . Однако пользование этим графиком невозможно при применении марок стали с другими пределами текучести.

Схема 1

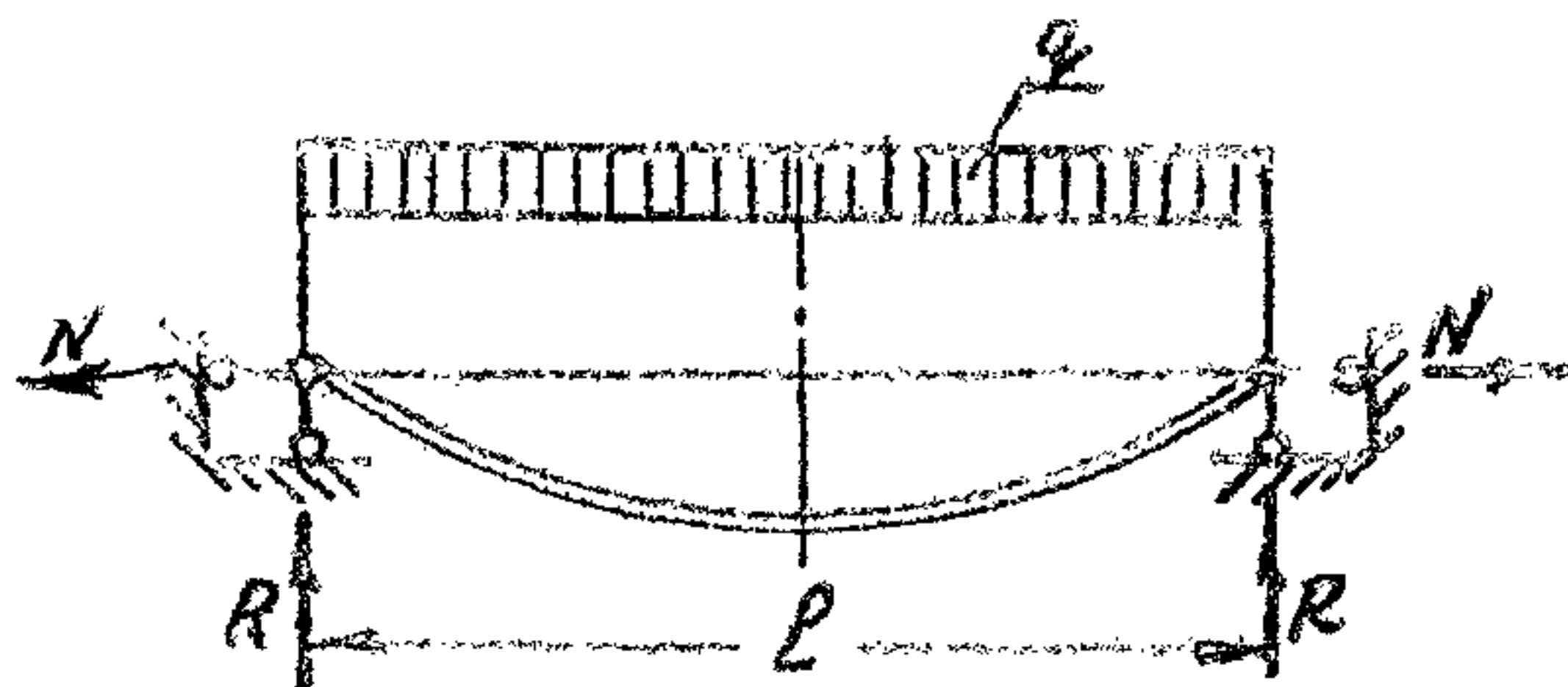
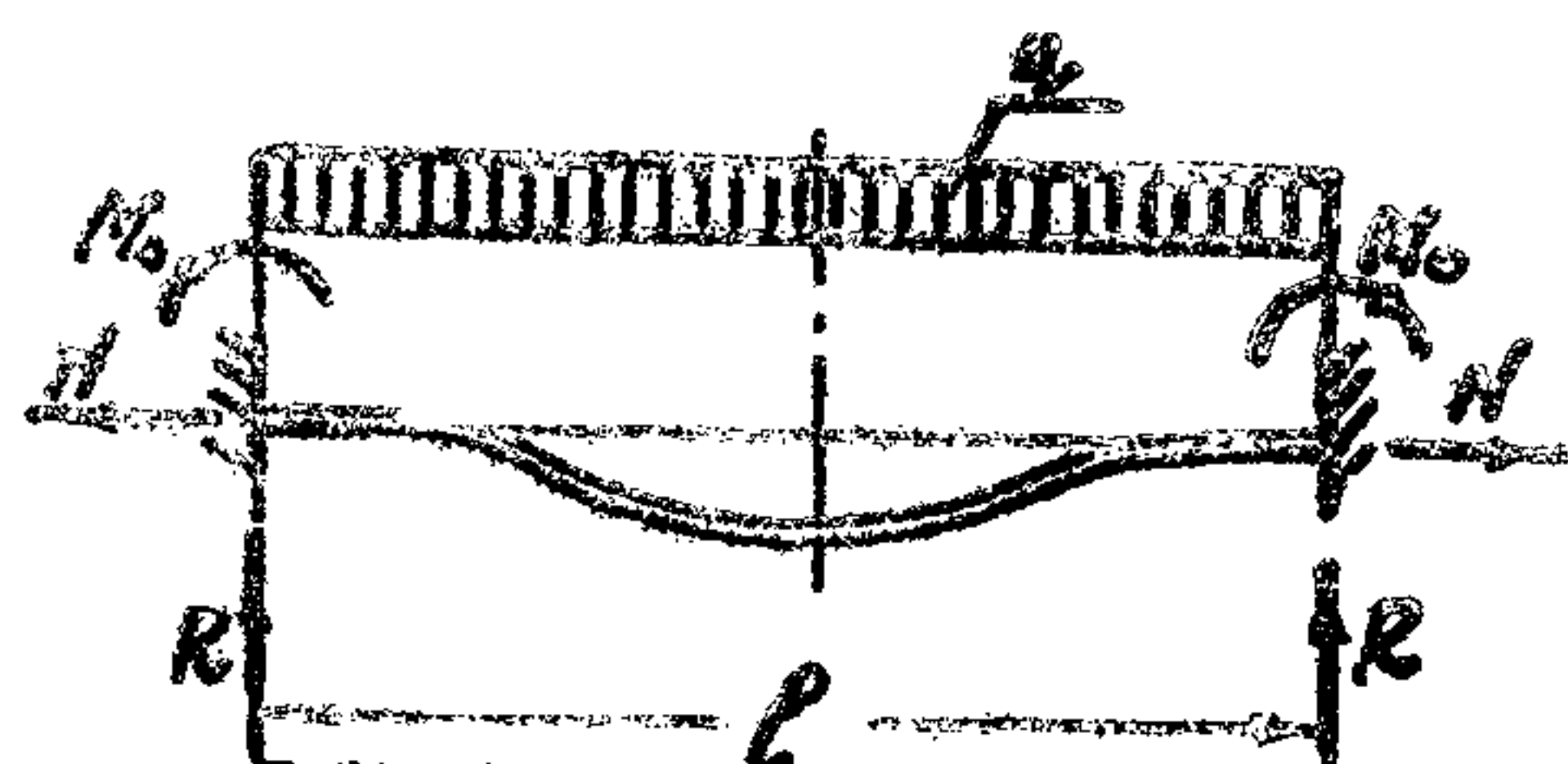


Схема 2



Черт. 4 Расчетные схемы пластинок.

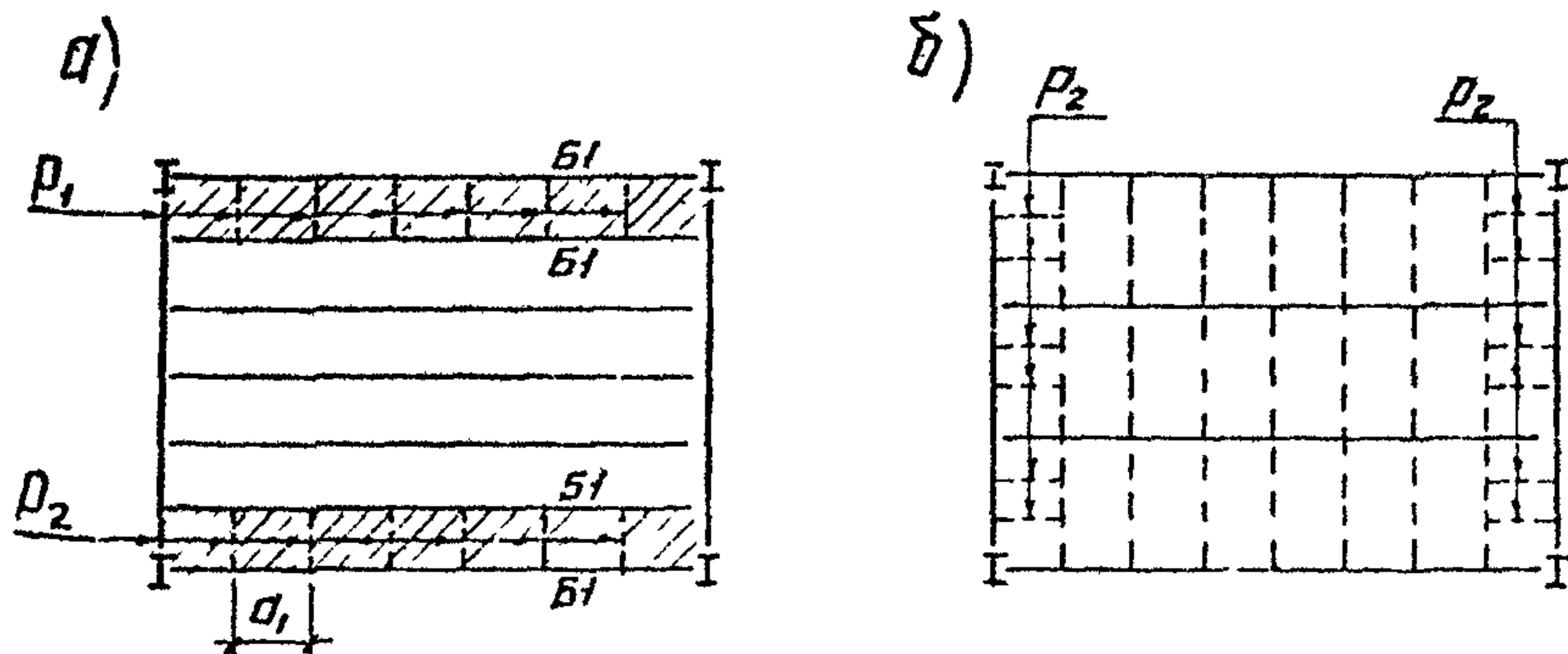
схема 1 - шарнирно закрепленные кромки,

схема 2 - защемленные кромки

С достаточной для практики точностью расчет пластиинки с учетом развития пластических деформаций на опорах может производиться путем принятия средних значений величин несущей способности по прочности или прогибу в середине пролета для пластиинки с шарнирными и защемленными кромками.

Поскольку случай пластиинки с шарнирно закрепленными кромками является исключительным, то подбор сечения пластиинки производят, принимая максимальную несущую способность пластиинки для схемы с учетом упругопластических деформаций. Однако в тех случаях, когда решающим является прогиб, иногда целесообразнее производить подбор сечения по схеме пластиинки с защемленными кромками.

2.4. При расчете настила с учетом ценных напряжений следует предусмотреть восприятие усилий от распора в крайних панелях в соответствии с черт. 5.



Черт. 5. Восприятие распора настила площадок в крайних панелях

Заштрихованный на черт. 5 а блок, состоящий из балок Б1, настила и ребер П1, должен быть рассчитан с учетом распорных сил от настила. Ребра П1 в этом случае следует вварить в балки Б1. В соответствии с аналогичными соображениями для случая, изображенного на черт. 5 б, следует устанавливать ребра Р2.

Настилы площадок без ребер при одно- и двухпролетной схемах настила должны рассчитываться на изгиб без учета ценных

напряжений.

При равномерно распределенной нагрузке от людей или материалов, которые, как правило, не располагаются равномерно по площади всей площадки, цепные усилия гасятся внутри площадки и ими можно пренебречь.

2.5. Подбор сечения настилов и ребер жесткости можно производить с помощью таблиц Приложения 6.

### 3. СКВОЗНЫЕ НАСТИЛЫ ПЛОЩАДОК

3.1. К сквозным настилам относятся настилы из просечно-вытяжной стали по ГОСТ 8706-78, решетчатые настилы типа "Батайск" по ТУ 36-2044-77 и типа "ВИСП" по ТУ 36-2370-82, а также штампованные настилы.

3.2. Решетчатые настилы имеют малую металлоемкость и значительные эксплуатационные преимущества для производств с бархатным пылевыделением, так как позволяют отказаться от уборки пыли по промежуточным перекрытиям. Исходя из этого, при прочих равных условиях, следует отдавать предпочтение решетчатым настилам и применять площадки и лестницы по ГОСТ 23120-78 и соответствующим типовым сериям.

3.3. Величина нагрузки на решетчатые настилы в зависимости от пролета (ширины) приведена в табл. I.

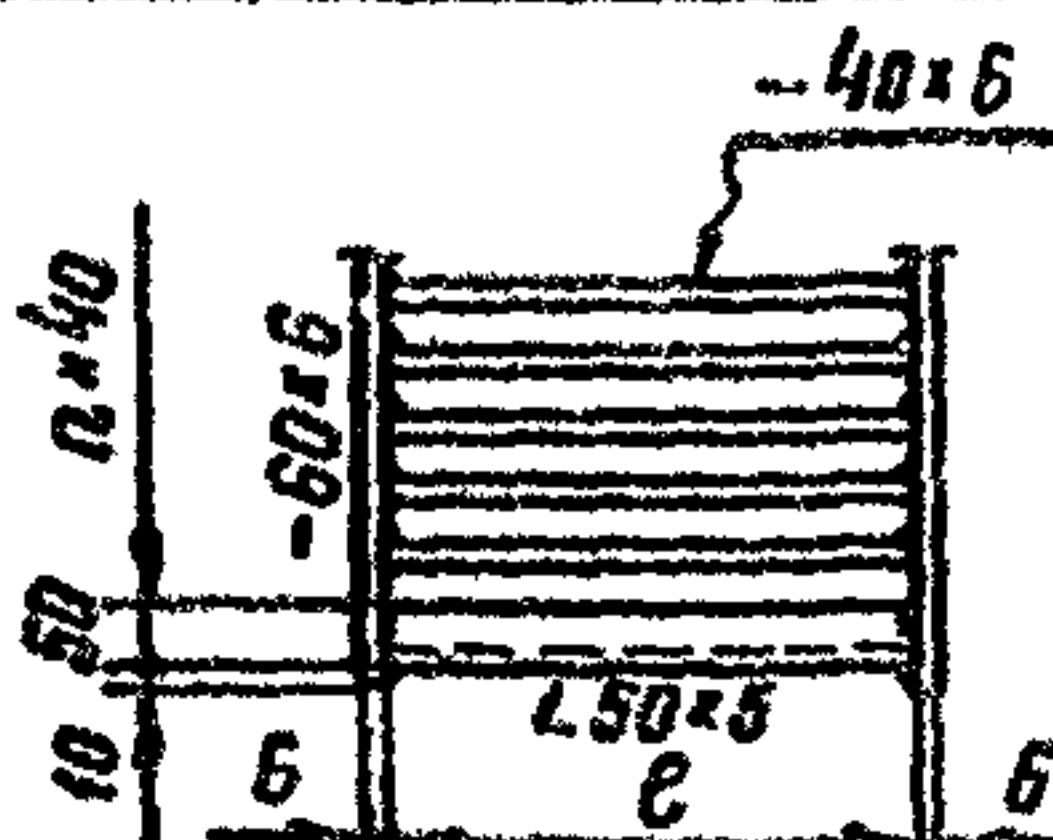
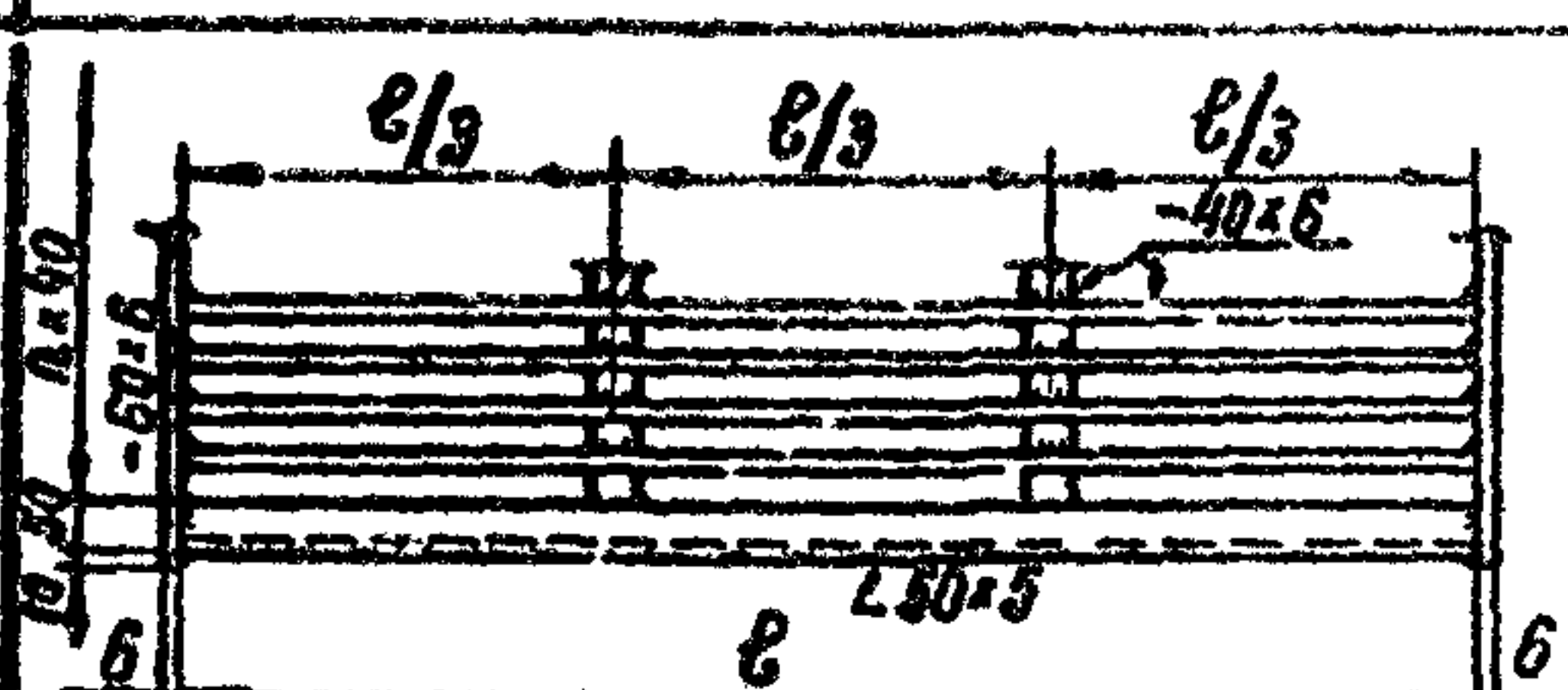
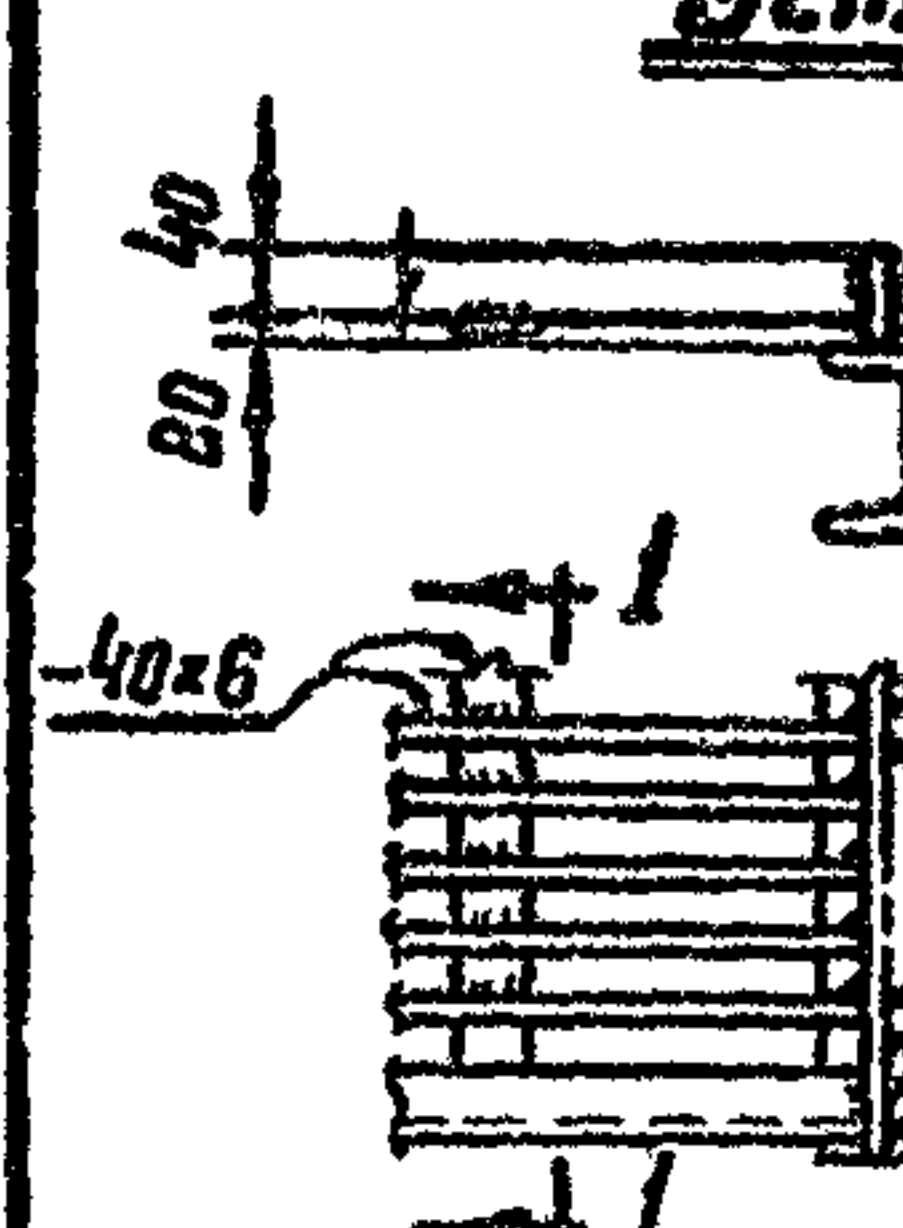
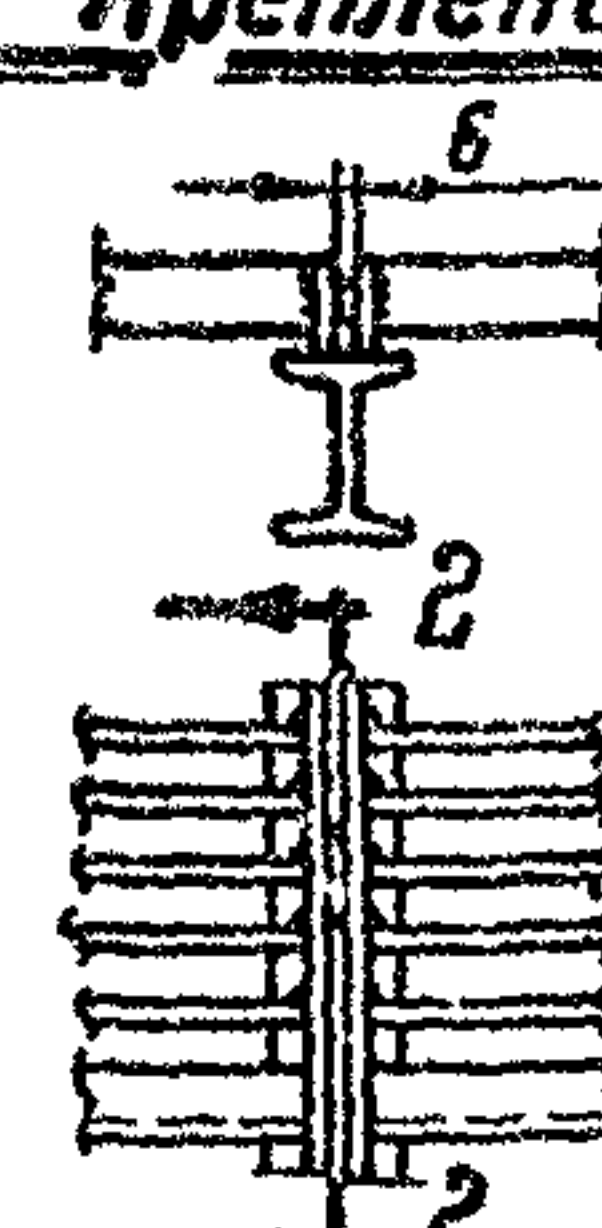
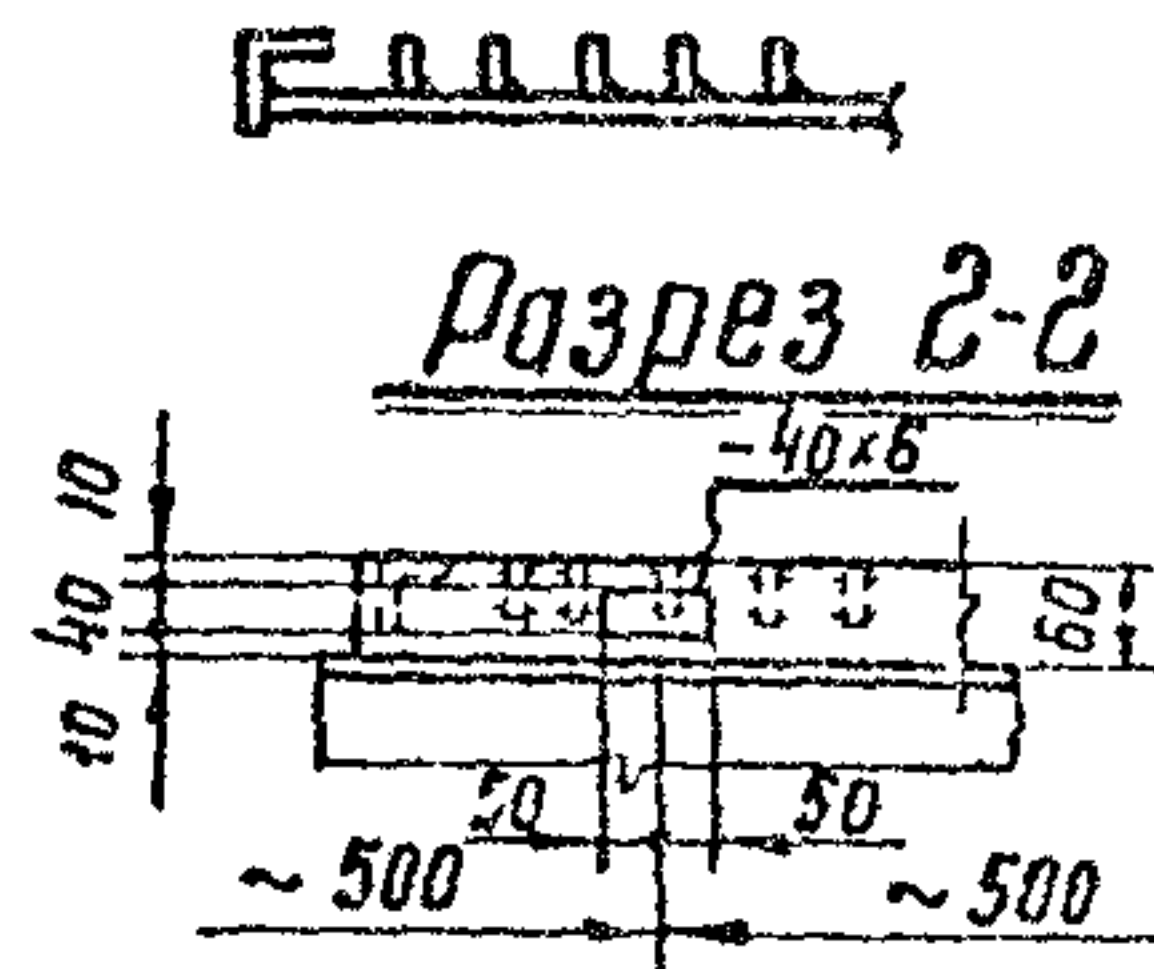
Таблица I

Пролет настила, L, мм	Нормативная равномерно распределенная нагрузка для настилов типа	
	"Батайск"	"ВИСП"
500	20,0	26,0
700	16,5	20,0
900	9,0	11,00
1100	5,2	7,00

3.4. Данные для подбора сечения просечно-вытяжного настила по ГОСТ 8706-78 приведены в Приложении 6.

3.5. Кроме указанных видов настила существуют решетчатые настилы для цехов metallurgической промышленности. Конструкция и требуемые типы настилов в зависимости от пролета настила и нагрузок приведены в табл. 2.

Решетчатый настил

Тип настила	Конструкция настила	Пролет настила $\ell$ мм	Допускаемая нормативная нагрузка $q$ кН/м <sup>2</sup>
I		$\ell \leq 500$	1000
II		$500 < \ell \leq 1000$	1000
III		$\ell \geq 1000$ при $\ell \leq 1500$ $400$ при $1500 < \ell \leq 2000$	1000 при $\ell \leq 1500$ $400$ при $1500 < \ell \leq 2000$
<u>Детали крепления решетчатого настила</u>			
		<u>Разрез 1-1</u>	
			<u>Разрез 2-2</u>
			

#### 4. ОПОРНЫЕ УЗЛЫ БАЛОК И МОНТАЖНЫЕ СТЫКИ НА ВЫСОКОПРОЧНЫХ БОЛТАХ

4.1. Различные узлы шарнирного и рамного решения крепления балок перекрытий разработаны в типовой серии 2.440-1, узлы стальных конструкций производственных зданий. Выпуск I. Рамные и шарнирные узлы балочных клеток и примыкания ригелей к колоннам. Чертежи КМ.

4.2. Расчет на прочность монтажных стыков балок на высокопрочных болтах следует выполнять в соответствии с пунктом II.14 Г1.7 (черт. 6) и рекомендациями п. 3.3 и 3.4.

4.3. Расчет болтов стыка полок элементов выполняется по несущей способности основного сечения  $[N]_n$  по первому ряду болтов с учетом ослабления (если оно учитывается) в соответствии с пунктом II.13 Г1.7.

Расчет болтов стыка стенок балок производится на действие следующих усилий:

а) на поперечную силу в месте стыка  $Q$

$$N_1 = \frac{Q}{n \cdot k} ; \quad (6)$$

б) на нормальную силу в элементе (если она имеется)

$$N_2 = \frac{N \cdot A_w}{A \cdot n \cdot k} ; \quad (7)$$

в) на больший из моментов  $M_1 = Q \cdot \ell$  или  $M_2 = \frac{J_w}{J} \cdot M_b$

$$N_3 = \frac{M \cdot h_{\max}}{m \cdot k \cdot \sum h_i^2} . \quad (8)$$

Суммарное усилие на 1 болт составляет

$$\sum N = \sqrt{(N_2 + N_3)^2 + N_1^2} \leq Q \cdot k. \quad (9)$$

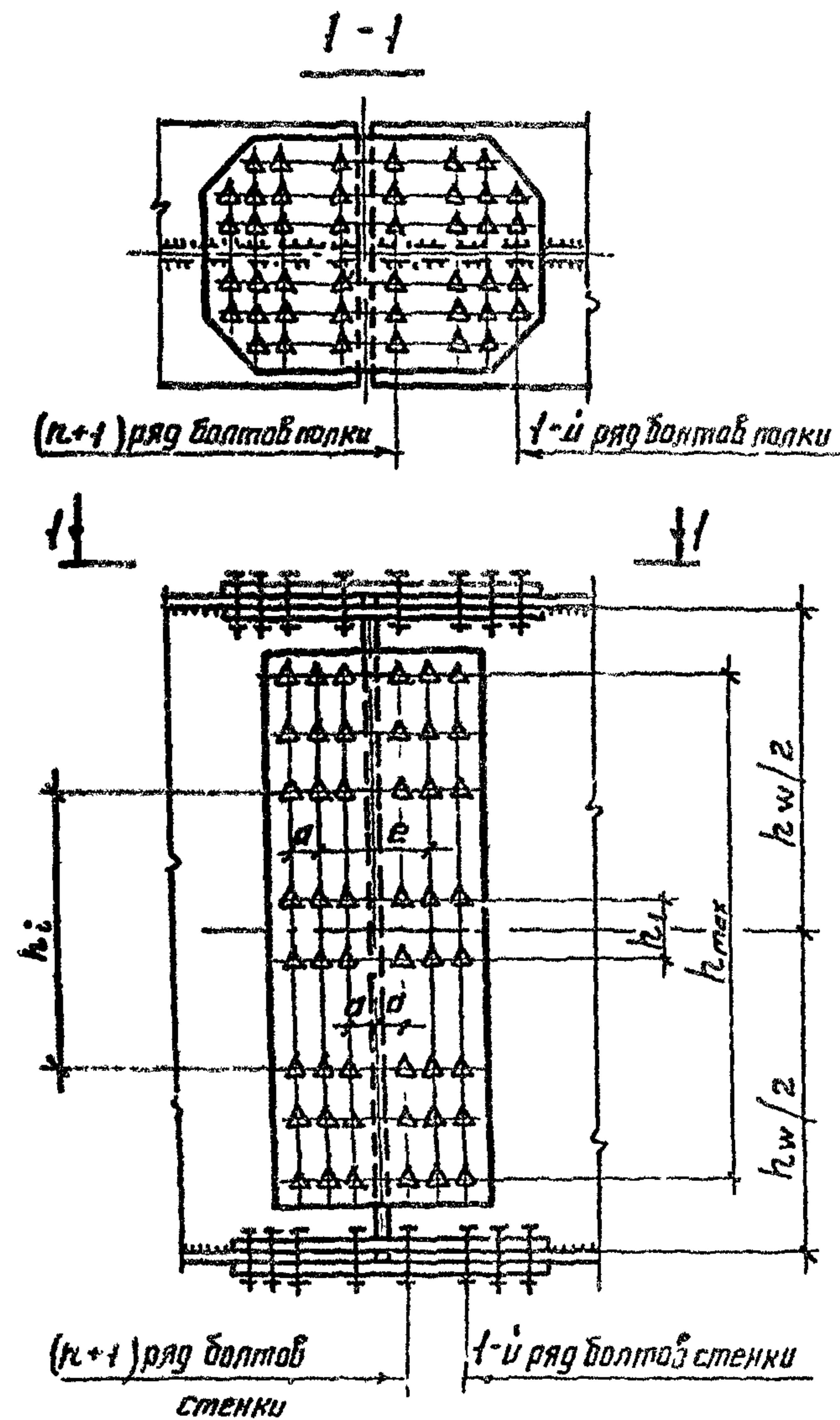
В формулах приняты следующие обозначения:

$A$  и  $A_w$  - площади сечений балки и стенки;

$J$  и  $J_w$  - моменты инерции балки и стенки;

$M_b$  - изгибающий момент, действующий в месте стыка балки;

$\ell$  - расстояние между центрами болтовых соединений полунакладок;



Черт. 6. Монтажный стык балок на высокопрочных болтах

$m$  - количество рядов болтов в стенке каждого монтажного элемента;

$n$  - общее число болтов на полунакладке встыке стенки;

$K$  - число поверхностей трения;

$Q_{bh}$  - предельное усилие, которое может быть воспринято одной поверхностью трения.

4.4. Расчет накладок поясов выполняется по несущей способности основного сечения по первому ряду болтов с учетом ослабления (если оно учитывается).

Площади сечения наружной и внутренних накладок подбираются таким образом, чтобы обеспечить восприятие не менее 50% усилия, равного несущей способности пояса балки отдельно наружной и внутренними накладками.

4.5. Расчет накладок по стенкам балок следует выполнять, исходя из равно прочности стенки балки по первому ряду болтов и накладок по  $(n + I)$  ряду болтов.

Расчетный момент на накладку определяется по формуле

$$M = \frac{J_w}{J} \cdot M_b + \frac{Q_e}{2}, \quad (10)$$

при этом должно быть выполнено условие:

$$J_{n+1} > J_{w_1}$$

и

$$A_{n+1} > A_{w_1},$$

где:  $J_{w_1}$ ,  $J_{n+1}$ ,  $A_{w_1}$ ,  $A_{n+1}$  - моменты инерции и площади стенки и накладки с учетом полного ослабления отверстиями под болты.

$$A_{w_1} = h_w \cdot t_w - m_1 \cdot d \cdot t_{w_s}, \quad (II)$$

где:  $d$  - диаметр отверстия под болт;

$m_1$  - количество болтов в I-ом ряду

$$J_{w_1} = \frac{t_w \cdot h_w^3}{12} - 0,5d \cdot t_w \cdot \sum h_i^2. \quad (I2)$$

Расчет характеристик накладок производится аналогично расчету стенки балки.

4.6. Расчет стыков балок можно производить с помощью таблиц Приложения 5.

Пределные усилия прокатных и сварных  
балок при  $\Psi_g = I$

В табл. I, 2 приложения приведены:

пределные значения нормативных моментов при пролетах балок  $\ell = 6$  м и относительных прогибах балок к пролету  $f/\ell = I/250$  и  $f/\ell = I/400$  для статически определимых балок на двух опорах, нагруженных равномерно распределенной нагрузкой, определяемые по формуле

$$M^N = 9,6 \frac{EJ}{\ell} \left( \frac{f}{\ell} \right),$$

где:  $\ell$  ~ пролет балки принят равным 6 м;

$(f/\ell)$  - относительный прогиб балки (к пролету  $\ell$ );

наибольшие значения  $l_{ef}$  по табл. 8 [I], при которых не требуется расчета на устойчивость, определяемые  $l_{ef1}$  - по формуле  $35/I/$ ,  $l_{ef2}$  - по формуле  $36/I/$ , и  $l_{ef3}$  - по формуле  $37/I/$  при  $R_y = 235$  МПа.

Пределные значения  $M_n$  и  $Q_n$  для балок из различных марок стали - по формулам (28) и (29) / I / при  $\chi_c = I$  и  $\Psi_g = I$ .

При пролетах, отличных от 6 м, нормативный момент может быть определен по формуле

$$M^N = \frac{M_T^N \cdot 6}{\ell},$$

где:  $M_T^N$  - нормативный момент, определенный по таблице;

$\ell$  - пролет балки в м.

Подбор сечений балок при  $\Psi_g \neq I$  производится с учетом коэффициентов  $\Psi_g$ .

В табл. 3 приведены геометрические характеристики и предельные усилия по условиям прочности и прогиба для сварных балок.

Материал балок ~ сталь марки 09Г2С.

При вычислении предельных моментов расчетные сопротивления по / I / определялись с учетом толщины поясов балок, при вычислении предельных поперечных сил с учетом толщины стенок. Значения поперечных сил вычислены по формулам:

$$Q_i = h_{w1} t_w R_s / 1,5$$

(с учетом выреза стенок  $h_{w1} = h_w - 150$  мм);

(формула 29 по ГОСТ).

При других марках стали усилия могут быть определены по формулам

$$M_1 = \frac{M_T}{R_y} \cdot R_{y1} \quad \text{и} \quad Q_1 = \frac{Q_T}{R_s} \cdot R_{s1},$$

где  $M_T$  и  $Q_T$  - табличные значения предельных моментов и поперечных сил;

$M_1$  и  $Q_1$  - то же, для других марок стали;

$R_{y1}$  и  $R_{s1}$  - расчетные сопротивления марки стали, принятой в расчете.

Предельные значения нормативных моментов вычислены при отношении  $f/l = 1/400$  и пролетах 12 м - для балок высотой до 2000 мм, 24 м - для балок высотой более 2000 мм.

### Пример 1.

Требуется подобрать сечение балки пролетом 6 м, нагруженной равномерно распределенной нагрузкой из стали марки 09Г2С-6 при  $\varphi_b = 1$ .

Расчетный момент  $M = 2490$  кН·м. Нормативный момент  $M^H = 2100$  кН·м. Опорная реакция  $A = 1660$  кН. Предельный относительный прогиб  $f/l = 1/400$ .

По табл. I находим сечение балки I00Б1 и предельные усилия  $M_n = 2610$  кН·м > 2490 кН·м,  $M^H = 3675$  кН·м > 2100 кН·м,  $Q_n = 2290$  кН > 1660 кН).

### Пример 2.

Требуется подобрать сечение балки пролетом 8 м, нагруженной равномерно распределенной нагрузкой из стали марки ВСтЗлс6 при  $\varphi_b = 1$ .

Расчетный момент  $M = 180$  кН·м. Нормативный момент  $M^H = 150$  кН·м. Опорная реакция  $Q = 90$  кН. Предельный относительный прогиб  $f/l = 1/250$ .

По табл. I принимаем сечение I 40Б1. Табличные значения  $M_n = 189$  кН·м > 180 кН·м,  $Q_n = 330$  кН > 90 кН. Прочность балки обеспечена.

Для  $l = 6$  м  $M^H = 208$  кН·м, то же для  $l = 8$  м.  $M^H = 208 \cdot 6 / 8 = 156$  кН·м > 150 кН·м. Оставляем принятое сечение балки.

Балки из двутавров по ГОСТ 26020-83

Номер профиля	Площадь A	Пределные значения						Пределные			
		$\sigma_{\text{раб}} = \frac{M}{I} \cdot f$ при равном		$\sigma_{\text{ef}} \text{ по табл. 8}$			ВСтЗсп2		ВСтЗсп6 ВСтЗсп5		
		$\frac{I}{250}$	$\frac{I}{400}$	$\sigma_{\text{ef1}}$	$\sigma_{\text{ef2}}$	$\sigma_{\text{ef3}}$	$M_p$	$Q_n$	$M_p$	$Q_n$	
		см <sup>2</sup>	кН·м	м	м	м	кН·м	кН	кН·м	кН	

Нормальные двутавры

23Б1	32,9	39	25	2,0	3,0	2,3	59	149	61	155
26Б1	35,6	53	33	2,2	3,3	2,5	70	172	73	180
30Б1	41,9	69	52	2,5	3,8	2,9	96	200	100	208
35Б1	49,5	133	83	2,7	4,1	3,1	131	248	137	259
35Б2	55,2	152	95	2,8	4,1	3,1	149	263	156	274
40Б1	61,3	208	130	2,9	4,3	3,2	181	316	189	330
40Б2	69,7	244	153	2,9	4,3	3,3	211	342	220	358
45Б1	78,2	329	206	3,1	4,6	3,5	253	397	265	415
45Б2	86,0	381	238	3,1	4,7	3,5	291	432	304	451
50Б1	93,0	490	306	3,4	5,1	3,9	340	496	355	518
50Б2	102,8	559	343	3,5	5,2	3,9	385	525	402	548
55Б1	113,4	734	459	3,8	5,7	4,3	461	593	482	619
55Б2	124,6	828	517	3,8	5,7	4,3	517	629	540	657
60Б1	135,3	1038	649	4,0	5,9	4,4	598	714	624	745
60Б2	147,3	1155	722	4,0	5,9	4,4	661	754	690	787
70Б1	164,7	1660	1038	4,4	6,5	4,9	820	941	857	983
70Б2	183,6	1924	1202	4,4	6,6	5,0	942	995	984	1030
80Б1	203,2	2630	1644	4,6	6,9	5,2	1130	1200	1180	1250
90Б1	247,1	4013	2508	4,9	7,3	5,5	1530	1500	1600	1560
100Б1	293,8	5880	3675	5,2	7,8	5,9	1840	1620	1930	1700
100Б2	328,9	6808	4255	5,2	7,8	5,9	2120	1740	2220	1830
100Б3	364,0	7748	4843	5,2	7,8	5,9	2390	1860	2510	1950
100Б4	400,6	8641	5400	5,2	7,8	5,9	2650	2030		

Двутавры дополнительной серии Б

35ДБ1	42,9	113	70	2,1	3,2	2,4	110	231	115 "	242 "
40ДБ1	50,6	172	108	2,3	3,4	2,6	147	282	154 "	294 "
45ДБ1	67,0	288	180	2,5	3,7	2,8	218	378	228 "	395 "
45ДБ2	82,8	380	238	3,1	4,7	3,5	288	396	301 "	414 "

Таблица I

значения усилий		М <sub>п</sub> , кН·м и Q <sub>п</sub> , кН при марках стали										Б профиль	
ВСтЗпс6-1		ВСтЗпс6-2		ВСтЗсп5-1		ВСтЗсп5-2		09Г2С					
M <sub>п</sub>	Q <sub>п</sub>	M <sub>п</sub>	Q <sub>п</sub>	M <sub>п</sub>	Q <sub>п</sub>	M <sub>п</sub>	Q <sub>п</sub>	M <sub>п</sub>	Q <sub>п</sub>	M <sub>п</sub>	Q <sub>п</sub>		
кН·м	кН	кН·м	кН	кН·м	кН	кН·м	кН	кН·м	кН	кН·м	кН		
Нормальные двутавры													
63	I59	70	I78	65	I65	73	I85	86	218	235I			
75	I84	84	207	78	I92	87	215	109	253	265I			
102	213	115	239	107	222	120	248	141	293	305I			
140	264	157	297	145	275	163	308	192	363	355I			
159	280	179	315	166	292	185	327	205	362	3552			
I93	337	217	379	201	351	225	393	249	435	405I			
225	365	253	411	225	365	253	411	290	472	4052			
270	423	304	476	270	423	304	476	349	647	455I			
310	461	349	518	310	461	349	518	400	595	4552			
363	529	408	595	363	529	408	595	468	683	575I			
410	560	461	629	410	560	461	629	530	723	6053			
492	632	554	711	492	632	554	711	636	816	555I			
551	671	620	755	551	671	620	755	712	867	5552			
637	761	717	857	637	761	717	857	823	983	6051			
705	804	793	905	705	804	793	905	910	1030	6053			
875	I000	984	II20	875	I000	984	II20	II20	I290	I290	705I		
I000	I060	II30	II90	I000	I060	II30	II90	I290	I370	I370	7052		
I210	I280	I360	I440	I210	I280	I360	I440	I560	I660	I660	805I		
I630	I600	I840	I800	I630	I600	I840	I800	2110	2070	2070	905I		
I980	I730				2070	I810		2630	2290	2290	I005I		
2270	I870				2380	I950		3000	2460	2460	I0052		
					2680	2090		3380	2640	2640	I0053		
								3490	2670	2670	I0054		
Двутавры дополнительной серии													
II7	247	132	278	I22	257	I37	288	I62	339	355I			
I57	301	I77	338	I64	313	I83	351	216	414	405I			
233	403	262	454	233	403	262	454	300	521	455I			
307	423	346	475	307	423	346	475	397	546	4552			

В прямоугольники включены усилия для профилей, включенных в сокращенный сортамент.

№ профилей	Площадь A	Пределенные значения						Пределенные			
		$M^N$ при $\ell=5$ и $f/e$ равном		$\ell_{ef}$ , м по табл. 8			ВСтЗпн2		ВСтЗпс6		
		$I_{250}$	$I_{400}$	$\ell_{ef_1}$	$\ell_{ef_2}$	$\ell_{ef_3}$	$M_N$	$Q_n$	$M_n$	$Q_n$	
		см <sup>2</sup>	кН·м	м	м	м	кН·м	кН	кН·м	кН	
Широкополочные двутавры											
20III	38,9	35	22	3,3	4,9	3,7	62	I36	65	I42	
23III	46,1	56	35	3,3	4,9	3,7	85	I72	89	I80	
26III	54,4	82	51	3,8	5,6	4,3	II2	206	II7	215	
26III2	62,7	98	61	3,9	5,7	4,4	I31	224	I37	234	
30III	68,3	I37	86	4,1	6,1	4,6	I61	273	I68	285	
30III2	77,6	I61	I01	4,3	6,2	4,8	I86	293	I94	306	
30III3	87,0	I85	II6	4,3	6,2	4,8	II1	3I3	22I	327	
35III	95,7	26I	I63	5,1	7,6	5,8	263	377	275	394	
35III2	I04,7	29I	I82	5,3	7,8	6,0	29I	399	304	417	
35III3	II6,3	33I	207	5,5	8,0	6,1	328	424	343	443	
40III	I22,4	453	283	6,1	9,2	7,0	398	436	416	456	
40III2	I4I,6	523	327	6,4	9,5	7,2	456	530	476	553	
40III3	I57,2	590	369	6,6	9,7	7,4	509	580	53I	605	
50III	I45,7	803	502	5,7	8,6	6,5	567	623	592	65I	
50III2	I76,6	956	598	6,0	8,8	6,7	668	819	697	855	
50III3	I99,2	III10	694	6,1	9,0	6,8	697	807	73I	846	
50III4	22I,7	I268	792	6,1	8,9	6,8	787	868	825	910	
60III	I8I,I	I4I5	884	6,0	8,9	6,8	833	8I3	870	849	
60III2	225,3	I738	I086	6,2	9,1	6,9	920	986	965	I030	
60III3	26I,8	2069	I293	6,2	9,1	6,9	I080	II20	II30	II70	
60III4	298,3	2406	I504	6,2	9,1	6,9	I240	I250	I300	I3I0	
70III	2I6,4	2268	I4I7	5,8	8,6	6,5	II30	I060	II80	III0	
70III2	25I,7	2709	I693	5,9	8,7	6,6	I2I0	I090	I270	II40	
70III3	299,8	3258	2036	5,8	8,7	6,5	I440	I3I0	I5I0	I380	
70III4	34I,6	3750	2343	5,8	6,6	6,5	I640	I600			
70III5	389,7	4359	2724	5,8	8,6	6,5	I880	I700			

значения усилий $M_n$ , кН·м и $Q_n$ , кН при марках стали										# профилей	
ВСтЗпс6-I		ВСтЗпс6-II		ВСтЗсп5-I		ВСтЗсп5-II		09Г2С			
$M_n$	$Q_n$	$M_n$	$Q_n$	$M_n$	$Q_n$	$M_n$	$Q_n$	$M_n$	$Q_n$		
кН·м	кН	кН·м	кН	кН·м	кН	кН·м	кН	кН·м	кН		
66	I45	74	I63	69	I51	77	I69	91	200	20III	
90	I84	I02	206	94	I91	I06	214	II7	237	23III	
110	220	I34	247	I24	229	I39	256	I54	284	26III	
140	239	I57	268	I40	239	I57	268	I81	308	26III2	
172	291	I93	327	I72	291	I93	327	222	376	30III	
193	312	223	352	I98	312	223	352	256	404	30III2	
225	334	254	376	225	334	254	376	291	432	30III3	
231	402	316	452	231	402	316	452	363	519	35III	
311	426	350	479	311	426	350	479	401	560	35III2	
350	452	394	508	350	452	394	508	452	584	35III3	
425	465	473	524	425	463	473	524	549	601	40III	
486	565	547	636	486	565	547	636	629	730	40III2	
542	618	610	696	542	618	610	696	701	799	40III3	
604	665	680	748	604	665	680	748	781	859	50III	
712	873	801	983	712	873	801	983	920	1120	50III2	
748	866			782	905			987	1140	50III3	
844	932			883	974			1110	1220	50III4	
888	867	999	975	883	867	999	975	1140	1110	60III	
983	I050			I030	II100			I300	I390	60III2	
II60	J200			I210	I250			I520	I580	60III3	
				I390	I400			I750	I770	60III4	
I200	II30	I350	I270	I200	II30	I350	I270	I560	I460	70III	
I300	II70			I360	I220			I720	I540	70III2	
				I620	I470			2040	I860	70III3	
								2320	2130	70III4	
								2480	2240	70III5	
94	I60	I06	I80	98	I67	I10	I87	I22	207	20KI	

В прямоугольники включены усилия для профилей, включенных в сокращенный сортамент.

Балки из швеллеров по ГОСТ 8240-72 и двутавров по ГОСТ 8239-72

S предн. для	Шло- щадь A	Пределные значения					Пределные				
		$M^N$ при $\ell = 6\text{м}$ $\pi \cdot f / l$ равном		$\ell_{ef_1}$	$\ell_{ef_2}$	$\ell_{ef_3}$	ВстЗп2		ВстЗп6 ВстЗп5		
		$\frac{l}{250}$	$\frac{l}{400}$				$M_n$	$Q_n$	$M_n$	$Q_n$	
		см <sup>2</sup>	кН·м			м		кН·м	кН	кН·м	кН

Балки из швеллеров

10	10,9	2,3	1,4	0,9	1,3	1,0	8	50	8	52
12	13,3	4,0	2,5	0,9	1,4	1,1	11	64	12	67
14	15,6	6,5	4,0	1,0	1,5	1,2	16	77	16	80
16	18,1	9,8	6,2	1,1	1,7	1,3	21	90	22	94
18	20,7	14,4	9,0	1,2	1,8	1,4	27	104	28	109
20	23,4	20,0	12,5	1,3	1,9	1,6	34	117	36	123
22	26,7	27,8	17,4	1,4	2,1	1,6	43	135	45	141
24	30,6	38,2	23,9	1,5	2,3	1,7	54	152	57	159
27	35,2	54,8	34,3	1,6	2,4	1,8	69	163	72	191
30	40,5	76,6	47,9	1,6	2,5	1,9	87	220	91	230
40	61,5	200,7	125,1	1,8	2,7	2,1	171	358	179	374

Балки из двутавров

10	12,0	2,6	1,6	1,1	1,6	1,2	9	51	9*	53*
12	14,7	4,6	2,9	1,2	1,8	1,4	13	65	14*	68*
14	17,4	7,5	4,7	1,4	2,1	1,6	18	78	19	82
16	20,2	11,5	7,2	1,5	2,3	1,7	25	91	26	95
18	23,4	17,0	10,6	1,7	2,5	1,9	32	105	34	110
20	26,8	24,3	15,2	1,9	2,8	2,1	41	120	43	125

Со звездочкой - приведены данные для ВстЗп6

В прямоугольники включены усилия для профилей, включенных в сокращенный сортамент

Таблица 2

запасы усилий $M_a$ и $Q_a$ при марках стали										я профиля	
ВСтЗпс6-1		ВСтЗпс6-2		ВСтЗпс5-1		ВСтЗпс5-2		09Г2С			
$M_a$	$Q_a$	$M_a$	$Q_a$	$M_a$	$Q_a$	$M_a$	$Q_a$	$M_a$	$Q_a$		
кН·м	кН	кН·м	кН	кН·м	кН	кН·м	кН	кН·м	кН		

по ГОСТ 8240-72

8	53	9	60	9	55	10	62	II	73	10
12	69	14	77	13	71	14	80	17	94	12
17	82	19	92	18	85	20	96	23	113	14
22	96	25	108	23	100	26	112	31	132	16
29	111	33	125	30	115	34	129	40	152	18
36	125	41	141	38	131	43	146	50	172	20
46	144	52	162	48	150	54	168	60	186	22
56	163	65	183	61	169	66	190	75	210	24
74	195	83	220	74	195	83	220	95	252	27
93	235	104	264	93	235	104	264	120	303	30
123	382	205	429	183	382	205	429	236	493	40

по ГОСТ 8239-72

10	54	II	61	10	55	II	63	13	74	10
14	69	I5	78	15	72	I6	81	19	95	12
20	83	22	94	20	87	23	97	22	115	14
26	96	29	110	27	102	31	114	36	134	16
34	113	39	127	36	117	40	131	47	155	18
41	128	50	144	46	133	52	149	61	176	20

Таблица 3

Геометрические характеристики и предельные усилия сварных балок двутаврового сечения

Размеры сечения				Площадь сечения	Справочные величины					Предельные усилия				
$h_w$	$t_w$	$b_f$	$t_f$		ось X-X			ось Y-Y		$M^H$	$M$	$Q_1$	$Q_z$	
					$J_x$	$W_x$	$S_x$	$J_y$	$W_y$					
	мм			$\text{см}^2$	$\text{см}^4$	$\text{см}^3$	$\text{см}^3$	$\text{см}^4$	$\text{см}^3$	кН·м	кН	кН	кН	
790	8	300	14	147	168600	4129	2312	6303	420	695	1276	653	1110	
		300	16	159	188800	4504	2558	7203	480	778	1420	653	1120	
		300	18	171	209100	5065	2806	8103	540	862	1570	653	1140	
		300	20	183	229700	5536	3054	9003	600	947	1710	653	1150	
		400	16	191	240700	5858	3203	17070	854	992	1810	653	1150	
		400	18	207	267900	6488	3539	19200	960	1100	2010	653	1160	
		400	20	223	295300	7117	3864	21330	1067	1210	2200	653	1170	
		400	22	239	323000	7747	4197	23470	1174	1330	2240	653	1170	
790	10	300	14	163	176800	4324	2469	6307	420	729	1340	767	1280	
		300	16	175	197000	4794	2715	7207	480	812	1480	767	1300	
		300	18	187	217300	5264	2962	8107	540	896	1630	767	1310	
		300	20	199	237900	5734	3210	9007	600	980	1770	767	1330	
		400	16	207	248900	6058	3359	17070	854	1020	1870	767	1330	
		400	18	223	276100	6687	3689	19200	960	1130	2070	767	1340	
		400	20	239	303500	7315	4020	21330	1067	1250	2260	767	1350	
		400	22	255	331200	7944	4353	23470	1174	1360	2300	767	1360	
790	12	300	14	179	185000	4525	2625	63II	42I	762	1400	92I	1520	
		300	16	191	205200	4994	287I	72II	48I	846	1540	92I	1540	
		300	18	203	225600	5463	31II8	8III	54I	929	1690	92I	1560	
		300	20	215	246100	5932	3366	90II	60I	1010	1830	92I	1570	
		400	16	223	257200	6258	3515	17070	854	1050	1940	92I	1570	
		400	18	239	284300	6886	3845	19210	96I	1170	2130	92I	1590	
		400	20	255	311700	7513	4176	21340	1067	1280	2320	92I	1610	
		400	22	271	339400	8141	4509	23470	1174	1390	2360	92I	1620	
790	14	300	14	196	193200	4726	278I	63IB	42I	796	1460	1070	1740	
		300	16	207	213400	5194	3027	72IB	48I	879	1600	1070	1770	
		300	18	219	233800	5662	3274	8II8	54I	963	1750	1070	1790	
		300	20	231	254300	6130	3522	90IB	60I	1040	1900	1070	1810	
		400	16	239	265400	6458	367I	17080	854	1090	2000	1070	1810	
		400	18	255	292500	7085	400I	19210	96I	1200	2190	1070	1840	
		400	20	271	320000	77II	4332	21350	1068	1310	2390	1070	1850	
		400	22	287	347700	8339	4665	23480	1174	1430	2410	1070	1870	

### Продолжение табл.3

Размеры сечения				Площадь сечения	Справочные величины						Предельные усилия				
$h_w$	$t_w$	$b_f$	$t_f$		ось $x-x$			ось $y-y$			$M^u$	$M$	$Q_1$	$Q_2$	
					$J_x$	$W_x$	$S_z$	$J_y$	$W_y$	$cm^2$	$cm^4$	$cm^3$	$cm^4$	$cm^3$	
$m_z$															
890	I0	300	I4	I73	230300	5019	2889	6307	420	949	I550	887	I430		
		300	I6	I85	255700	5548	3165	7207	480	I050	I710	887	I450		
		300	I8	I97	281300	6077	3442	8107	540	II50	I880	887	I460		
		300	20	209	307200	6607	3720	9037	600	I260	2040	887	I480		
		400	I6	2I7	32I400	6973	3889	I7070	854	I320	2I60	887	I480		
		400	I8	233	355500	7680	4259	I9200	960	I460	2380	887	I500		
		400	20	249	390000	8388	4630	2I340	I067	I600	2600	887	I510		
		400	22	265	424700	9096	5003	23470	I174	I750	2630	887	I520		
890	I2	300	I4	I91	242100	5275	3067	6313	421	998	I630	1060	I690		
		300	I6	203	267500	5803	3363	7213	481	II00	I790	1060	I710		
		300	I8	2I5	293I00	633I	3640	8113	541	I200	I960	1060	I730		
		300	20	227	3I8900	6850	3918	9013	601	I310	2I20	1060	I750		
		400	I6	236	333I00	7228	4087	I7070	854	I370	2240	1060	I750		
		400	I8	25I	367300	7934	4457	I92I0	961	I5I0	2450	1060	I770		
		400	20	267	401700	864I	4828	2I340	I067	I650	2670	1060	I790		
		400	22	283	436500	9348	520I	23470	I174	I790	2710	1060	I810		
890	I4	300	I4	209	253800	553I	3285	6320	421	I040	I7I0	I240	I940		
		300	I6	22I	279200	6058	356I	7220	481	II50	I870	I240	I970		
		300	I8	233	304800	6585	3838	8120	541	I250	2040	I240	I990		
		300	20	245	330700	7I72	4II6	9020	601	I360	2200	I240	2020		
		400	I6	253	344900	7682	4285	I7080	854	I420	23I0	I240	2020		
		400	I8	269	379000	8I88	4655	I9220	961	I560	2530	I240	2040		
		400	20	285	4I3500	8893	5026	2I350	I068	I700	2750	I240	2070		
		400	22	30I	448200	9599	5399	23480	I174	I840	2780	I240	2090		
890	I6	300	I4	226	265600	5787	3483	6330	422	I090	I790	I4I0	I990		
		300	I6	238	29I000	63I3	3759	7230	482	II90	I950	I4I0	2220		
		300	I8	250	3I6600	6839	4036	8130	542	I300	2II0	I4I0	2250		
		300	20	262	342400	7365	4314	9030	602	I4I0	2280	I4I0	2280		
		400	I6	270	356600	7737	4483	I7090	855	I460	2390	I4I0	2280		
		400	I8	286	390800	8442	4853	I9230	962	I6I0	26I0	I4I0	23I0		
		400	20	302	425200	9I46	5224	2I360	I068	I750	2830	I4I0	2340		
		400	22	318	460000	985I	5597	23490	I175	I890	2850	I4I0	2360		

Размеры сечения				Площадь сечения	Справочные величины					Предельные усилия				
$h_w$	$t_w$	$b_f$	$t_f$		ось x-x			ось y-y		$M^H$	$M$	$Q_t$	$Q_z$	
					$J_x$	$W_x$	$S_x$	$J_y$	$W_y$					
		мм		$\text{см}^2$	$\text{см}^4$	$\text{см}^3$	$\text{см}^3$	$\text{см}^4$	$\text{см}^3$	кН.м	кН.м		кН	
990	I0	300	I4	183	292500	5748	3334	6308	42I	I200	I780	I000	I570	
		300	I6	195	323700	6336	3640	7208	48I	I330	I960	I000	I590	
		300	I8	207	355200	6924	3947	8108	54I	I460	2140	I000	I610	
		300	20	219	386900	7513	4255	9008	60I	I590	2320	I000	I630	
		400	I6	227	404700	7920	4444	I7070	854	I660	2450	I000	I630	
		400	I8	243	446600	8707	4854	I9200	960	I840	2690	I000	I650	
		400	20	259	488900	9494	5265	I21340	I067	I2010	2940	I000	I660	
		400	22	215	531600	I0280	5678	23470	II74	I2180	2980	I000	I680	
990	I2	303	I4	203	308700	6065	3579	63I4	42I	I270	I880	I200	I860	
		300	I6	215	339900	6652	3885	72I4	48I	I400	2060	I200	I890	
		300	I8	227	371300	7240	4192	81I4	54I	I530	2240	I200	I910	
		300	20	239	403000	7827	4500	90I4	60I	I660	2420	I200	I930	
		400	I6	247	420900	8237	4689	I7080	854	I730	2550	I200	I930	
		400	I8	263	462800	9022	5099	I9210	96I	I900	2790	I200	I950	
		400	20	219	505100	9808	5510	I21340	I067	I2080	3040	I200	I970	
		400	22	255	547700	I0590	5923	23480	II74	2250	3070	I200	I990	
990	I4	300	I4	223	324800	6383	3824	6323	422	I330	I970	I400	2130	
		300	I6	235	356100	6969	4130	7223	482	I460	2160	I400	2170	
		300	I8	247	387500	7555	4437	8123	542	I590	2440	I400	2190	
		300	20	259	419200	8141	4745	9023	602	I720	2520	I400	2220	
		400	I6	267	437000	8553	4934	I7080	854	I800	2650	I400	2221	
		400	I8	283	479000	9338	5344	I9220	96I	I970	2890	I400	2250	
		400	20	299	521200	I0120	5755	I21350	I068	I2140	3130	I400	2280	
		400	22	315	563800	I0900	6168	23480	II74	2320	3160	I400	2300	
990	I6	300	I4	242	341000	6701	4069	6334	422	I400	2070	I610	2410	
		300	I6	254	372200	7285	4325	7234	482	I530	2250	I610	2440	
		300	I8	266	403700	7870	4682	8134	542	I660	2430	I610	2480	
		300	20	218	435400	8455	4990	9034	602	I790	2620	I610	2510	
		400	I6	286	453200	8870	5179	I7100	855	I860	2740	I610	2510	
		400	I8	302	495100	9653	5589	I9230	962	2040	2990	I610	2540	
		400	20	318	537400	I0430	6000	I21360	I068	I2210	3230	I610	2570	
		400	22	334	580000	II210	6413	23500	II75	2380	3250	I610	2600	

Размеры сечения				Ширина сечения	Справочные величины						Предельные усилия				
$h_w$	$t_w$	$b_f$	$t_f$		ось $x-x$			ось $y-y$			$M''$	$M$	$Q_1$	$Q_2$	
					$J_x$	$W_x$	$S_x$	$J_y$	$W_y$						
мм				$\text{см}^2$	$\text{см}^4$	$\text{см}^3$	$\text{см}^3$	$\text{см}^4$	$\text{см}^3$	$\text{kH.m}$	$\text{kH}$				
II90	I0	300	I4	203	444800	7305	4299	6310	421	1830	2260	I240	I860		
		300	I6	215	489500	8012	4665	7210	481	2010	2480	I240	I880		
		300	I8	227	534400	8719	5032	8110	541	2200	2700	I240	I900		
		300	20	239	579600	9426	5400	9010	601	2380	2920	I240	I930		
		400	I6	247	605800	9916	5629	17070	854	2490	3070	I240	I930		
		400	I8	263	665800	I0860	6119	I9200	960	2740	3360	I240	I950		
		400	20	279	726100	II800	6610	21340	I067	2990	3660	I240	I970		
		400	22	295	786800	I2750	7103	23470	II74	3240	3690	I240	I990		
II90	I2	300	I4	227	472900	7766	4653	6317	421	I940	2400	I490	2190		
		300	I6	239	517600	8471	5019	7217	481	2130	2620	I490	2220		
		300	I8	251	562500	9177	5386	8117	541	2310	2840	I490	2250		
		300	20	263	607700	9883	5754	9017	601	2500	3060	I490	2270		
		400	I6	271	633900	I0370	5983	I7080	854	2610	3210	I490	2280		
		400	I8	287	693800	II310	6473	I9210	961	2850	3500	I490	2310		
		400	20	303	754200	I2260	6964	21350	I068	3100	3800	I490	2330		
		400	22	319	814900	I3200	7457	23480	II74	3350	3830	I490	2350		
II90	I4	300	I4	251	501000	8227	5007	6327	422	2060	2550	I740	2510		
		300	I6	263	545600	8931	5373	7227	482	2240	2760	I740	2550		
		300	I8	275	590600	9635	5740	8127	542	2430	2980	I740	2590		
		300	20	287	635800	I0330	6108	9027	602	2610	3200	I740	2620		
		400	I6	295	662000	I0830	6337	I7090	855	2720	3350	I740	2620		
		400	I8	311	721900	II770	6827	I9220	961	2970	3650	I740	2660		
		400	20	327	782200	I2720	7318	21360	I068	3220	3940	I740	2690		
		400	22	343	843000	I3660	7911	23490	II75	3470	3960	I740	2710		
II90	I6	300	I4	274	529100	8688	5361	6341	423	2170	2690	I990	2830		
		300	I6	286	573700	9391	5727	7241	483	2360	2910	I990	2880		
		300	I8	298	618700	10090	6094	8141	543	2540	3120	I990	2920		
		300	20	310	663900	I0790	6462	9041	603	2730	3340	I990	2950		
		400	I6	318	690100	II290	6691	I7100	855	2840	3500	I990	2960		
		400	I8	334	750000	I2230	7181	I9240	962	3090	3790	I990	3000		
		400	20	350	810300	I3170	7672	21370	I069	3330	4080	I990	3030		
		400	22	366	871000	I4110	8165	23500	II76	3580	4090	I990	3060		

Продолжение табл.3

Размеры сечения				Площадь сечения	Справочные величины					Пределные усилия				
$h_w$	$t_w$	$b_f$	$t_f$		ось $x-x$			ось $y-y$		$M^N$	$M$	$Q_1$	$Q_2$	
					$J_x$	$W_x$	$S_x$	$J_y$	$W_y$					
мм				$\text{см}^2$	$\text{см}^4$	$\text{см}^3$	$\text{см}^3$	$\text{см}^4$	$\text{см}^3$	кН·м	кН			
I390	I0	400	16	267	856400	I2040	6914	I7070	854	3520	3730	I480	2220	
		400	18	283	937500	I3140	7484	I9210	961	3860	4070	I480	2250	
		400	20	299	I019000	I4250	8055	I1340	I067	4190	4410	I480	2270	
		400	22	315	I101000	I5350	8628	I2470	I174	4530	4450	I480	2290	
		500	20	339	I217000	I7030	9465	I4670	I667	5010	5280	I480	2310	
		500	22	359	I320000	I8410	I0180	I5840	I834	5440	5340	I480	2330	
		500	25	389	I475000	20490	I1250	I2090	2084	6070	5940	I480	2350	
		500	28	419	I631000	22560	I2340	58340	2334	6720	6540	I480	2370	
I390	I2	400	16	296	901100	I2670	7397	I7080	854	3710	3920	I780	2620	
		400	18	311	982200	I3770	7967	I9220	961	4040	4270	I780	2660	
		400	20	327	I063000	I4870	8536	I21350	I068	4360	4610	I780	2680	
		400	22	343	I145000	I5980	9111	I2480	I174	4720	4630	I780	2710	
		500	20	367	I262000	I7650	9948	I4680	I667	5200	5470	I780	2730	
		500	22	387	I365000	I9040	I0660	I5850	I834	5620	5520	I780	2760	
		500	25	417	I520000	21110	I1740	I2100	2084	6260	6120	I780	2790	
		500	28	447	I676000	23180	I2820	58350	2334	6900	6720	I780	2820	
I390	I4	400	16	323	945900	I3300	7880	I7090	855	3898	4120	2080	3020	
		400	18	339	I027000	I4400	8450	I9230	962	4230	4460	2080	3050	
		400	20	355	I108000	I5600	9021	I21360	I068	4560	4800	2080	3090	
		400	22	371	I190000	I6600	9594	I2490	I175	4900	4810	2080	3120	
		500	20	395	I307000	I8280	I0430	I4690	I668	5380	5660	2080	3150	
		500	22	415	I409000	I9660	III40	45860	I835	5800	5700	2080	3180	
		500	25	445	I564000	21730	I2220	52110	2085	6440	6300	2080	3220	
		500	28	475	I721000	23800	I3300	58360	2335	7030	6900	2080	3250	
I390	I6	400	16	350	990600	I3930	8363	I7110	856	4080	4310	2370	3400	
		400	18	366	I071000	I5030	8933	I9240	962	4410	4660	2370	3450	
		400	20	382	I153000	I6130	9504	I21380	I069	4750	5000	2370	3490	
		400	22	398	I235000	I7230	I0070	I23510	I176	5080	4990	2370	3520	
		500	20	422	I352000	I8910	I0910	I4710	I669	5570	5860	2370	3560	
		500	22	442	I454000	20280	I1630	45880	I835	5990	5880	2370	3590	
		500	25	472	I609000	22350	I2700	52130	2085	6630	6480	2370	3640	
		500	28	502	I765000	24420	I3790	58380	2335	7270	7060	2370	3680	

Продолжение табл.3

Размеры сечения				Площадь сечения	Справочные величины						Пределыные усилия				
$h_w$	$t_w$	$b_f$	$t_f$		ось $x-x$			ось $y-y$			$M^*$	$M$	$Q_1$	$Q_2$	
					$J_x$	$W_x$	$S_x$	$J_y$	$W_y$	$cm^2$	$cm^4$	$cm^3$	$cm^4$	$cm^3$	
мм	мм	мм	мм												
I590	I0	400	I6	287	II60000	I4300	8299	I7070	854	4780	4430	I720	2510		
		400	I8	303	I265000	I5570	8949	I9210	961	5210	4820	I720	2540		
		400	I0	319	I371000	I6830	9600	2I340	I067	5650	5210	I720	2560		
		400	I2	335	I478000	I8090	I0250	23470	I174	6090	5240	I720	2590		
		500	I0	359	I631000	20010	I1270	4I670	I667	6720	6200	I720	2610		
		500	I2	379	I764000	21590	I2020	45840	I834	7260	6260	I720	2630		
		500	I5	409	I965000	23960	I3250	52090	2084	8090	6950	I720	2660		
		500	I8	439	2I67000	26330	I4480	58340	2334	8930	7630	I720	2690		
I590	I2	400	I6	319	I227000	I5130	8931	I7080	854	5050	4690	2070	2360		
		400	I8	335	I332000	I6390	9581	I9220	961	5490	5080	2070	3000		
		400	I0	351	I438000	I7650	I0230	2I350	I068	5920	5470	2070	3030		
		400	I2	367	I545000	I8910	I0880	23480	I174	6360	5480	2070	3060		
		500	I0	391	I698000	20830	I1840	4I680	I668	6990	5450	2070	3090		
		500	I2	411	I831000	22410	I2650	45850	I834	7540	6500	2070	3120		
		500	I5	441	2032000	24780	I3880	52100	2084	8370	7180	2070	3150		
		500	I8	471	2234000	27150	I5110	58350	2334	9200	7870	2070	3180		
I590	I4	400	I6	351	I294000	I5950	9563	I7100	855	5330	4940	2410	3400		
		400	I8	367	I399000	I7210	I0210	I9230	962	5760	5330	2410	3450		
		400	I0	383	I505000	I8470	I0860	2I360	I068	6200	5720	2410	3480		
		400	I2	399	I612000	I9730	I1510	23500	I175	6640	5720	2410	3520		
		500	I0	423	I765000	2I650	I2470	4I700	I668	7270	6710	2410	3560		
		500	I2	443	I898000	23230	I3290	45860	I835	7820	6730	2410	3590		
		500	I5	473	2099000	25600	I4510	52110	2085	8640	7420	2410	3630		
		500	I8	503	2301000	27960	I5760	58360	2335	9480	8110	2410	3670		
I590	I6	400	I6	382	I361000	I6780	I0190	I7120	856	5600	5200	2760	3840		
		400	I8	398	I466000	I8040	I0840	I9250	963	6040	5590	2760	3880		
		400	I0	414	I572000	I9290	I1490	2I380	I069	6480	5980	2760	3930		
		400	I2	430	I679000	20550	I2140	23520	I176	6910	5960	2760	3970		
		500	I0	454	I832000	22470	I3100	4I720	I669	7540	6960	2760	4020		
		500	I2	474	I965000	24054	I3920	45880	I836	8090	6970	2760	4060		
		500	I5	504	2I66000	26410	I5140	52130	2086	8920	7660	2760	4110		
		500	I8	534	2368000	28780	I6380	58380	2336	9750	8340	2760	4150		

Размеры сечения				Площадь сечения	Справочные величины					Предельные усилия				
$i_w$	$t_w$	$b_g$	$\frac{t_f}{t_g}$		ось $x-x$			ось $y-y$		$M^*$	$M$	$Q_1$	$Q_2$	
					$J_x$	$W_x$	$S_x$	$J_y$	$W_y$					
		мм		$\text{см}^2$	$\text{см}^4$	$\text{см}^3$	$\text{см}^3$	$\text{см}^4$	$\text{см}^3$	кН.м	кН			
I790	I2	500	20	415	22II000	24I70	I3850	4I690	I668	9II0	7490	2350	3440	
		500	22	435	2379000	25940	I4770	45850	I834	9800	7520	2350	3470	
		500	25	465	2632000	28610	I6I40	52I00	2084	I0800	8290	2350	3510	
		500	28	495	2887000	3I280	I7530	58350	2334	II800	9070	2350	3550	
		600	28	55I	3350000	36290	20070	I00800	336I	I3800	I0500	2350	3600	
		600	32	599	3760000	40560	22290	II5200	384I	I5400	II700	2350	3630	
		700	32	663	429I000	46290	252I0	I82900	5227	I7600	I3400	2350	3670	
		800	32	727	4823000	52020	28I20	273000	6827	I9800	I5000	2350	3690	
I790	I4	500	20	45I	2307000	252I0	I4650	4I700	I668	9500	7870	2750	3960	
		500	22	47I	2475000	26990	I5570	45870	I835	I0I00	7820	2750	4000	
		500	25	50I	2728000	29650	I6950	52I20	2085	II200	8590	2750	4050	
		500	28	53I	2982000	323I0	I8330	58370	2335	I2200	9370	2750	4090	
		600	28	587	3445000	37330	20870	I00800	336I	I4I00	I0800	2750	4150	
		600	32	635	3856000	4I600	23090	II5200	384I	I5800	I2000	2750	4200	
		700	32	699	4387000	47330	260I0	I82900	5228	I6000	I3700	2750	4240	
		800	32	763	49I8000	53060	28920	273I00	6828	20200	I5300	2750	4270	
I790	I6	500	20	486	2402000	26260	I5450	4I720	I669	9890	8140	3I40	4470	
		500	22	506	2570000	28030	I6370	45890	I836	I0500	8120	3I40	4510	
		500	25	536	2823000	30690	I7750	52I40	2086	II600	8900	3I40	4570	
		500	28	566	3078000	33350	I9I30	58390	2336	I2600	9670	3I40	4620	
		600	28	622	354I000	39360	2I670	I00800	3362	I4300	II100	3I40	4690	
		600	32	6.3	395I000	42630	23890	II5200	3842	I6200	I2300	3I40	4750	
		700	32	734	4483000	48360	268I0	I82900	5228	I8400	I4000	3I40	4800	
		800	32	798	50I4000	54090	29720	273I00	6828	20600	I5600	3I40	4850	
I790	I8	500	20	522	2498000	27300	I6250	4I760	I670	I0200	8460	3530	4970	
		500	22	542	2666000	29070	I7I70	45920	I837	I0900	8430	3530	5040	
		500	25	582	29I9000	3I730	I8550	52I70	2087	I2000	9200	3530	5090	
		500	28	602	3I74000	34380	I9930	58420	2337	I3000	9970	3530	5150	
		600	28	658	3636000	39470	22400	I00800	3363	I4900	II400	3530	5230	
		600	32	706	4047000	43650	24700	II5200	3843	I6600	I2600	3530	5300	
		700	32	770	4578000	49390	276I0	I83000	5229	I8800	I4300	3530	5360	
		800	32	834	5109000	55I20	30530	273I00	6829	21000	I5900	3530	5410	

Размеры сечения				Площадь сечения	Справочные величины						Пределевые усилия				
$h_w$	$t_w$	$b_f$	$t_f$		ось X-X			ось Y-Y			$M''$	$M$	$Q_1$	$Q_2$	
					$J_x$	$W_x$	$S_x$	$J_y$	$W_y$	$S_y$					
		мм		см <sup>2</sup>	см <sup>4</sup>	см <sup>3</sup>	см <sup>3</sup>	см <sup>4</sup>	см <sup>3</sup>	см <sup>3</sup>	кН·м	кН			
I990	I2	500	20	439	2808000	27660	15990	41690	1668	11500	8570	2640	3780		
		500	22	459	3014000	29640	17000	45860	1834	12400	8590	2640	3820		
		500	25	489	3325000	32600	18530	52110	2084	13700	9450	2640	3870		
		500	28	519	3638000	35570	20060	58360	2334	14900	10300	2640	3910		
		600	28	575	4209000	41140	22890	100800	3361	17300	11900	2640	3960		
		600	32	623	4713000	45890	25350	115200	3841	19400	13300	2640	4010		
		700	32	687	5367000	52260	28580	182900	5227	22100	15100	2640	4050		
		800	32	851	6021000	58630	31820	273000	6827	24600	17000	2640	4080		
I990	I4	500	20	479	2939000	28960	16980	41710	1668	12100	8970	3080	4350		
		500	22	499	3145000	30930	17990	45870	1835	12900	8970	3080	4400		
		500	25	529	3457000	33690	19520	52120	2085	14200	9820	3080	4450		
		500	28	559	3770000	36850	21050	58370	2335	15500	10600	3080	4500		
		600	28	615	4340000	42420	23380	100800	2362	17800	12300	3080	4570		
		600	32	663	4844000	47170	26340	115200	3842	19900	13600	3080	4620		
		700	32	727	5498000	53540	29570	182900	5228	22600	15500	3080	4670		
		800	32	791	6153000	59910	32810	273100	6828	25300	17300	3080	4720		
I990	I6	500	20	518	3070000	30250	17970	41730	1669	12600	9370	3520	4910		
		500	22	538	3277000	32220	18980	45900	1836	13500	9340	3520	4960		
		500	25	568	3588000	35180	20510	52150	2086	14700	10200	3520	5030		
		500	28	598	3901000	38130	22040	58400	2336	16000	11000	3520	5090		
		600	28	654	4471000	43710	24870	100800	3962	18400	12600	3520	5170		
		600	32	702	4976000	48450	27330	115200	5842	20500	14000	3520	5230		
		700	32	766	5630000	54820	30560	182900	5229	23100	15800	3520	5290		
		800	32	830	6284000	61190	33803	273100	6828	25800	17700	3520	5340		
2I90	I2	500	20	463	3492000	31320	18240	41690	1668	7190	9700	2930	4130		
		500	22	483	3741000	33190	19360	45860	1835	2700	9710	2930	4160		
		500	25	513	4116000	36750	21030	52110	2085	8480	10600	2930	4220		
		500	28	543	4494000	40010	22720	58360	2335	9250	11600	2930	4260		
		600	28	599	5182000	46150	25820	100800	3361	10600	13300	2930	4330		
		600	32	647	5790000	51370	28520	115200	3841	11900	14900	2930	4370		
		700	32	711	6580000	58390	32080	182900	5228	13500	16900	2930	4420		
		800	32	775	7370000	65390	35630	273000	6827	15100	18900	2930	4460		

Размеры сечения				Площадь сечения	Справочные величины						Пределенные усилия				
$h_w$	$t_w$	$\delta_f$	$t_f$		ось $X-X$			ось $Y-Y$			$M^N$	$M$	$Q_1$	$Q_2$	
					$J_x$	$W_x$	$S_x$	$J_y$	$W_y$						
		мм		$cm^2$	$cm^4$	$cm^3$	$cm^3$	$cm^4$	$cm^3$		кН·м			кН	
2I90	I4	500	20	507	3667000	32890	19440	41710	1669	7550	10100	3420	4740		
		500	22	527	3916000	35060	20550	45880	1835	8060	10100	3420	4790		
		500	25	557	4291000	38320	22230	52130	2085	8840	11100	3420	4850		
		500	28	587	4669000	41570	23910	58380	2335	9610	12000	3420	4910		
		600	28	643	5358000	47710	27020	100800	3362	11000	13800	3420	4990		
		600	32	691	5965000	52930	29720	115200	3842	12200	15300	3420	5050		
		700	32	756	6755000	59940	33270	182900	5228	13900	17300	3420	5100		
		800	32	819	7545000	66950	36330	273100	6828	15500	19400	3420	5150		
2I90	I6	500	20	550	3842000	34460	20640	41740	1670	7310	10600	3910	5350		
		500	22	570	4091000	36630	21750	45900	1836	8420	10600	3910	5400		
		500	25	600	4466000	39880	23430	52150	2086	9200	11500	3910	5480		
		500	28	630	4844000	43130	25110	58400	2336	9970	12500	3910	5540		
		600	28	686	5533000	49270	28220	100800	3362	11300	14200	3910	5630		
		600	32	734	6140000	54480	30920	115200	3842	12600	15800	3910	5710		
		700	32	798	6930000	61490	34470	183000	5229	14200	17800	3910	5780		
		800	32	862	7720000	68500	38030	273100	6829	15900	19800	3910	5830		
2490	I2	500	20	499	4693000	37100	21850	41700	1668	9660	11500	3360	4630		
		500	22	519	5014000	39570	23110	45860	1835	10300	11400	3360	4680		
		500	25	549	5497000	43280	25010	52110	2085	11300	12500	3360	4740		
		500	28	579	5982000	46990	26920	58360	2335	12300	13600	3360	4790		
		600	28	635	6869000	53960	30430	100800	3361	14100	15600	3360	4860		
		600	32	683	7650000	59900	33510	115200	3841	15700	17300	3360	4920		
		700	32	747	8667000	67870	37540	182900	5228	17800	19600	3360	4980		
		800	32	811	9685000	75840	41580	273100	6828	19900	21900	3360	5020		
2490	I4	500	20	549	4951000	39140	23400	41720	1669	10100	12100	3920	5320		
		500	22	569	5271000	41600	24660	45890	1836	10800	12000	3920	5370		
		500	25	599	5754000	45310	26560	52140	2086	11800	13100	3920	5450		
		500	28	629	6239000	49010	28170	58390	2336	12800	14200	3920	5510		
		600	28	685	7127000	55980	32000	100800	3362	14600	16200	3920	5600		
		600	32	733	7907000	61920	35060	115200	3842	16200	17900	3920	5670		
		700	32	797	8925000	69890	39090	182900	5228	18300	20200	3920	5740		
		800	32	861	9942000	77860	43130	273100	6828	20400	22500	3920	5800		

Размеры сечения				Шло- щадь сече- ния	Справочные величины						Предельные усилия				
$h_w$	$t_w$	$b_f$	$t_f$		ось X-X			ось Y-Y			$M''$	$M$	$Q_1$	$Q_2$	
					$J_x$	$W_x$	$S_x$	$J_y$	$W_y$						
мм				см <sup>2</sup>	см <sup>4</sup>	см <sup>3</sup>	см <sup>3</sup>	см <sup>4</sup>	см <sup>3</sup>	кН·м	кН				
2490	I6	500	20	598	5208000	41170	24950	41750	1670	I0700	I2700	4480	6000		
		500	22	618	5529000	43630	26210	45910	1837	II300	I2600	4480	6060		
		500	25	648	6011000	47330	28110	52160	2087	I2300	I3700	4480	6150		
		500	28	678	6496000	51030	30020	58410	2337	I3300	I4800	4480	6220		
		600	28	734	7384000	58000	33550	100800	3363	I5200	I6800	4480	6330		
		600	32	782	8164000	63930	36610	II5200	3843	I6800	I8500	4480	6410		
		700	32	846	9182000	71900	40640	I83000	5229	I8900	20800	4480	6490		
		800	32	910	I0200000	79870	44680	273100	6829	21000	23100	4480	6560		
2790	I4	500	20	591	6481000	45800	27670	41730	1669	I3300	I4200	4430	5890		
		500	22	611	6882000	48570	29080	45890	1836	I4100	I4000	4430	5950		
		500	22	641	7486000	52720	31210	52140	2086	I5400	I5200	4430	6030		
		500	28	671	8092000	56870	33340	58390	2336	I6600	I6400	4430	6100		
		600	28	727	9204000	64680	37290	I00800	3362	I8900	I8700	4430	6210		
		600	32	775	I0170000	71330	40710	II5200	3842	20900	20600	4430	6290		
		700	32	839	II450000	80260	45220	I82900	5228	23500	23200	4430	6370		
		800	32	903	I2720000	89190	49740	273100	6828	26200	25800	4430	6440		
2790	I6	500	20	646	6843000	46360	29610	41760	1670	I4000	I4900	5060	6640		
		500	22	666	7244000	51120	31030	45920	1837	I4900	I4800	5060	6710		
		500	25	696	7848000	55270	33160	52170	2087	I6100	I6000	5060	6800		
		500	28	726	8454000	59910	35290	58420	2337	I7400	I7200	5060	6890		
		600	28	782	9566000	67220	39230	I00800	3863	I9700	I9400	5060	7010		
		600	32	830	I0540000	73860	42550	II5200	3843	21700	21400	5060	7100		
		700	32	894	II1810000	82790	47170	I83000	5229	24300	24000	5060	7200		
		800	32	958	I3080000	91720	51680	273100	6829	26900	26600	5060	7280		
2790	I8	500	20	702	7205000	50920	31560	41800	1672	I4800	I5700	5690	7380		
		500	22	722	7606000	53680	32980	45960	1839	I6600	I5500	5690	7460		
		500	25	752	8210000	57810	35100	52210	2089	I6900	I6700	5690	7560		
		500	28	782	8816000	61950	37240	58460	2339	I8100	I7900	5690	7660		
		600	28	838	9928000	69770	41180	I00900	3365	20400	20200	5690	7800		
		600	32	836	I0900000	76400	44600	II5300	3845	22400	22100	5690	7910		
		700	32	950	I2170000	85330	49120	I83000	5231	25000	24700	5690	8020		
		800	32	I014	I3450000	94260	53630	273200	6330	27700	27300	5690	8110		

Продолжение табл.3

Размеры сечения				Площадь сечения	Справочные величины				Пределные усилия					
$h_w$	$t_w$	$b_f$	$t_f$		ось $x-x$			ось $y-y$		$M''$	$M$	$Q_1$	$Q_2$	
					$J_x$	$W_x$	$S_x$	$J_y$	$W_y$					
мм				см <sup>2</sup>	см <sup>4</sup>	см <sup>3</sup>	см <sup>8</sup>	см <sup>4</sup>	см <sup>3</sup>	кН·м	кН			
3I90	I4	500	20	647	8939000	55350	33850	41730	1670	18400	I7100	5100	6640	
		500	22	667	9461000	58510	35470	45900	1836	19400	I6900	5100	6710	
		500	25	697	I0240000	63250	37900	52150	2086	21100	I8300	5100	6800	
		500	28	727	I1030000	67990	40330	58400	2336	22700	I9700	5100	6880	
		600	28	783	I2480000	76930	44830	I00800	3362	25700	22300	5100	7000	
		600	32	831	I3750000	84530	48730	I15200	3842	28300	24500	5100	7100	
		700	32	895	I5410000	94740	53890	I83000	5229	31700	27400	5100	7190	
		800	32	959	I7070000	I04900	59040	273100	6828	35100	30400	5100	7270	
3I90	I6	500	20	710	9460000	58700	36400	41770	I671	I9500	I8100	5830	7490	
		500	22	730	I0000000	61850	38010	45940	I838	20600	I7900	5830	7560	
		500	25	760	I0780000	66590	40440	52190	2088	22200	I9300	5830	7670	
		500	28	790	I1570000	71330	42870	58440	2338	23800	20600	5830	7760	
		600	28	846	I3020000	80260	47380	I00900	3364	26800	23200	5830	7900	
		600	32	894	I4290000	87850	51280	I15300	3844	29400	25400	5830	8010	
		700	32	958	I5950000	98060	56430	I83000	5230	32800	28400	5830	8130	
		800	32	I022	I7610000	I08200	61590	273100	6829	36200	31400	5830	8220	
3I90	I8	500	20	774	I0020000	62050	38940	41820	I679	20600	I9200	6550	8320	
		500	22	794	I0540000	65200	40560	45980	I840	21700	I8900	6550	8410	
		500	25	824	I1320000	69930	42980	52230	2090	23300	20200	6550	8520	
		500	28	854	I2110000	74660	45420	58480	2340	24900	21600	6550	8630	
		600	28	910	I3560000	83590	49920	I00900	3365	27900	24200	6550	8790	
		600	32	958	I4830000	91180	53820	I15300	3845	30500	26400	6550	8910	
		700	32	I022	I6490000	I01300	58980	I83000	5231	33900	29400	6550	9050	
		800	32	I086	I8150000	III600	64130	273200	6831	37400	32300	6550	9160	
3690	I4	500	20	703	I1910000	65640	10600	41740	I670	24500	20300	5770	7380	
		500	22	723	I2570000	69200	42420	45910	I837	25900	20000	5770	7460	
		500	25	753	I3560000	74530	45140	52160	2087	27900	21600	5770	7560	
		500	28	783	I4560000	79870	47800	58410	2337	29900	23100	5770	7650	
		600	28	839	I6390000	89920	52940	I00800	3363	33700	26000	5770	7790	
		600	32	887	I7990000	98480	57320	I15200	3843	37000	28500	5770	7900	
		700	32	951	20090000	I09900	63120	I83000	5229	41300	31800	5770	8010	
		800	32	I016	22190000	I21400	68910	273100	6829	45700	35200	5770	8100	

Продолжение табл.3

Размеры сечения				Площадь сечения	Справочные величины						Предельные усилия				
$h_w$	$t_w$	$b_f$	$t_f$		ось $x-x$			ось $y-y$			$M^u$	$M$	$Q_1$	$Q_2$	
					$J_x$	$W_x$	$S_x$	$J_y$	$W_y$	$$					
мм				$\text{см}^2$	$\text{см}^4$	$\text{см}^3$	$\text{см}^3$	$\text{см}^4$	$\text{см}^3$	кН·м		кН			
3590	I6	500	20	774	I2680000	69890	43820	41780	I672	26100	21600	6590	8320		
		500	22	794	I3340000	73440	45640	45950	I838	27400	21200	6590	8410		
		500	25	824	I4330000	78770	48360	52200	2088	29500	22800	6590	8520		
		500	28	854	I5330000	84100	51100	58450	2338	31500	24300	6590	8630		
		600	28	910	I7160000	94150	56160	I00900	3364	35300	27300	6590	8790		
		600	32	958	I8760000	I02700	60540	II5300	3844	38600	29700	6590	8910		
		700	32	I022	20860000	II4100	66340	I83000	5230	42900	33100	6590	9040		
		800	32	I086	22960000	I25600	72130	273100	6830	47300	36400	6590	9150		
3590	I8	500	20	846	I3450000	74130	47040	41840	I674	27700	22900	7420	9250		
		500	22	866	I4110000	77680	48860	46000	I840	29000	22500	7420	9340		
		500	25	896	I5100000	83010	51590	52250	2090	31100	24000	7420	9470		
		500	28	926	I6100000	88330	54320	58500	2340	33100	25600	7420	9590		
		600	28	982	I7930000	98380	59380	I00900	3366	36900	28500	7423	9770		
		600	32	I030	I9530000	I06900	63760	II5300	3846	40200	31000	7420	9910		
		700	32	I094	21630000	II8400	69560	I83100	5232	44500	34300	7420	I0000		
		800	32	II58	23730000	I29900	75350	273200	6831	48800	37600	7420	I0100		

ПРИЛОЖЕНИЕ 2

Данные для расчета балок с учетом развития  
пластических деформаций

В табл. I приведены моменты сопротивления для двутавров по ГОСТ 26020-83 с учетом коэффициентов, учитывающих развитие пластических деформаций  $C_I$ ,  $C_x$  и  $C_y$  из п. 5.18/ I /. Значения  $W_x$  и  $W_y$  вычислены при следующих отношениях  $\tau/R_s$ :

$\tau/R_s = 0$  - при наличии зоны чистого изгиба;  
при  $\tau/R_s \leq 0,5$  и при  $0,5 \leq \tau/R_s \leq 0,8$  с интервалом 0,1 при одновременном действии в сечении момента  $M$  и поперечной силы  $Q$ . Промежуточные значения  $W_x$  и  $W_y$  при  $0,5 < \tau/R_s \leq 0,8$  могут быть определены по линейной интерполяции.

При  $\tau = 0,9R_s$  все значения коэффициентов  $C_I$ ,  $C_x$ ,  $C_y$  получаются меньше единицы и поэтому в таблицах не приводятся.

Значения  $W_y = C_y \cdot W_{y0}$  в интервалах  $0,5 < \tau/R_s \leq 0,8$  приведены для случая изгиба балки только в плоскости наименьшей жесткости.

Таблица I

Моменты сопротивления для двутавров по ГОСТ 26020-83 при расчетах с учетом коэффициентов  $C_x$ ,  $C_y$  и  $C_z$  (п.5.18 / I / )

Номер профиля	Значения $W$ , см <sup>3</sup> при отношениях $\tau/R_s$										
	$W_x = C_x \cdot W_{x\eta}$ , $W_1 = C_1 \cdot W_{x\eta}$					$W_y = C_y \cdot W_{y\eta}$					
	0	$\leq 0,5$	0,6	0,7	0,8	0	$< 0,5$	0,6	0,7	0,8	
Нормальные двутавры											
23Б1	271	282	274	261	261	45,0	53,5	44,9	40,1	36,4	
26Б1	326	341	331	315	312	50,5	60,1	50,5	45,1	40,9	
30Б1	446	466	452	431	427	68,8	81,9	68,8	61,4	55,7	
35Б1	610	639	621	591	582	84,4	100,4	84,3	75,3	68,3	
35Б2	692	722	702	668	662	99,3	118,2	99,3	88,6	80,4	
40Б1	845	886	861	820	804	107,1	127,4	107,1	95,6	86,7	
40Б2	980	1025	995	948	936	129	154	129	116	105	
45Б1	1184	1243	1207	1150	1126	147	175	147	132	119	
45Б2	1356	1419	1378	1313	1292	174	207	174	155	141	
50Б1	1592	1673	1625	1548	1511	198	236	198	177	161	
50Б2	1795	1881	1827	1740	1709	231	275	231	206	187	
55Б1	2158	2265	2200	2095	2051	270	321	270	241	219	
55Б2	2410	2524	2451	2335	2296	310	369	310	277	251	
60Б1	2796	2936	2851	2716	2656	339	403	339	302	274	
60Б2	3084	3232	3139	2990	2936	382	455	382	341	310	
70Б1	3856	4068	3951	3763	3645	433	515	433	386	351	
70Б2	4415	4642	4509	4295	4187	516	615	516	461	418	
80Б1	5351	5658	5495	5234	5044	551	656	551	492	446	
90Б1	7262	7707	7485	7130	6817	689	820	689	615	558	
100Б1	9591	10172	9879	9410	9011	889	1058	889	794	720	
100Б2	10960	11571	11238	10704	10350	1058	1230	1058	945	857	
100Б3	12342	13004	12630	12030	11680	1227	1461	1227	1096	994	
100Б4	13662	14386	13971	13307	12940	1376	1638	1376	1228	1114	
Двутавры дополнительной серии Д											
35ДБ1	516	543	527	502	489	56,7	67,5	56,7	50,6	45,9	
40ДБ1	691	728	707	674	654	71,9	85,6	71,9	64,2	58,2	
45ДБ1	1025	1080	1049	999	969	105,0	124,9	105,0	93,7	85,0	
45ДБ2	1338	1397	1357	1292	1280	177,8	211,7	177,8	158,7	144,0	

Продолжение табл. I

Б группы	Значения $W$ , $\text{cm}^3$ при отношениях $\tau / R_s$									
	$W_x = c_x \cdot W_{xR}$ , $W_t = c_t \cdot W_{tR}$					$W_y = c_y \cdot W_{yR}$				
	0	$\leq 0,5$	0,6	0,7	0,8	0	$\leq 0,5$	0,6	0,7	0,8

Широкополочные двутавры

20III	283	291	283	275	275	83,5	99,4	83,5	74,5	67,6
23III	383	401	389	377	377	99,0	117,9	99,0	88,4	80,2
26III	512	528	513	496	496	134	159	134	119	108
26II2	601	618	601	583	583	160	191	160	143	130
30III	739	763	741	715	715	182	216	182	162	147
30II2	853	880	855	827	827	215	255	214	191	174
30III3	968	996	968	939	939	247	295	247	221	200
32III	I210	I249	I213	I171	I171	322	384	322	288	261
35II2	I337	I379	I339	I295	I295	287	341	286	256	232
35III3	I503	I548	I504	I458	I458	412	491	412	368	334
40III	I825	I830	I826	I771	I771	519	617	519	463	420
40II2	2089	2154	2092	2025	2025	594	707	594	530	481
40III3	2331	2401	2332	2260	2260	668	795	668	596	541
50III	26II	2705	2627	2518	2518	657	663	557	497	451
50II2	3094	3222	3129	2980	2967	650	773	650	580	526
50III3	3535	3669	3563	3402	3402	762	907	762	680	617
50III4	3976	4II4	3996	3838	3838	873	I039	873	779	707
60III	3352	4004	3889	3704	3701	718	854	717	640	581
60II2	4694	4899	4758	4532	4490	867	I032	867	774	702
60III3	5502	573I	5566	5302	5273	I036	I233	I036	925	839
60III4	6307	6560	637I	6069	6055	I205	I435	I205	I076	976
70III	5277	5518	5359	5105	5036	803	955	803	716	650
70II2	6216	6484	6297	5998	5949	972	I157	972	867	787
70III3	7380	770I	7479	7124	7059	I163	I355	I163	I038	942
70III4	8393	8763	85II	8106	8033	I333	I586	I332	I189	I079
70III5	9618	I0C27	9738	9276	9210	I545	I839	I545	I379	I25I

ПРИЛОЖЕНИЕ 3

Секториальные геометрические характеристики  
профилей

В таблицах 2-4 приведены секториальные геометрические характеристики прокатных профилей, вычисленные по формулам, приведенным в табл. I.

При определении характеристик для двутавров по ГОСТ 8239-72 и швеллеров с уклоном граней полок по ГОСТ 8240-72 использованы формулы, приведенные в *Г 4.7* с учетом закруглений. Определение секториальных геометрических характеристик для двутавров по ГОСТ 26020-83 и швеллеров с параллельными гранями полок производилось без учета влияния закруглений у стенки и у концов полок, т.к. было установлено чрезвычайно малое влияние закруглений.

Принятые обозначения:

$B$  - ширина полки;

$t_f$  - средняя толщина полки;

$t_w$  - толщина стенки;

$k$  - уклон полок (для двутавров - 0,12, для швеллеров -0,1);

$d_x$  - координата центра изгиба;

$\omega$  - секториальная координата крайних точек контура;

$J_t$  - момент инерции кручения балки;

$J_\omega$  - секториальный момент инерции.

Таблица I

Формулы секториальных геометрических характеристик прокатных и сварных профилей

Вид сечения	Формулы для определения секториальных характеристик
	$h_1 = h - t_f; \quad h_2 = h - 2t_f;$ $\omega = h_1 \frac{b}{4};$ $J_t = \frac{1.3}{3} (2Bt_f^3 + h_2 t_w^3);$ $J_\omega = \frac{J_t h_1^2}{4} = \frac{B^3 t_f h_1^2}{24};$
	$h_1 = h - t_f; \quad t_f = t_f + k \frac{b}{4}; \quad h_2 = h - 2t_f;$ $\omega = h_1 \frac{B}{4}; \quad J_t = \frac{1.3}{3} (2Bt_f^3 + h_2 t_w^3);$ $J_\omega = \frac{h_1^2 B^3}{24} \left( t_f - \frac{k B}{8} \right);$
	$h_1 = h - t_f; \quad h_2 = h - 2t_f; \quad d_x = \frac{-3B_1^2}{h_1 + 6B_1};$ $\omega_1 = d_x \frac{h_1}{2}; \quad \omega_2 = (B_1 - d_x) \frac{h_1}{2};$ $J_t = \frac{1.12}{3} (2Bt_f^3 + h_2 t_w^3);$ $J_\omega = \frac{t_w h_1 \omega_1^2}{3} + \frac{2t_f B_1}{3} (\omega_1^2 + \omega_2^2 - \omega_1 \omega_2);$
	$h_1 = h - t_f; \quad h_2 = h - 2t_f; \quad h_3 = h - t_{f2};$ $t_{f1} = t_f + k \frac{B}{4}; \quad t_{f2} = t_f - k \frac{B}{2};$ $d_x = \frac{B_1^2 h_1}{24 J_t} [(2t_f - 0.05t_w)(2h_3 + h_1) - 0.1B_1 h_3];$ $J_t = \frac{1.12}{3} (2Bt_f^3 + h_2 t_w^3);$ $\omega_1 = \frac{d_x h_1}{2}; \quad \omega_2 = \frac{h_1}{2} (B_1 - d_x) - \frac{k}{2} B_1 d_x;$ $J_\omega = \frac{t_w h_1 \omega_1^2}{3} + \frac{2t_f B_1}{3} (\omega_1^2 + \omega_2^2 - \omega_1 \omega_2) - \frac{k B_1^2}{6} (\omega_2^2 - \omega_1^2);$

Таблица 2  
Секториальные характеристики для двутавров по ГОСТ 26020-83  
/значения изгибо-кругильных характеристик "k" увеличены в 1000 раз/

профилей	$J_{\infty}$	$\omega_{\max}$	$W_{\infty}$	$S_{\infty}$	$J_t$	$k = \sqrt{\frac{E J_t}{E J_{\infty}}}$
	$\text{cm}^5$	$\text{cm}^2$	$\text{cm}^4$	$\text{cm}^4$	$\text{cm}^4$	$\text{cm}^{-1}$
23Б1	24370	63,3	385	150	8,6	11,533
26Б1	38090	77,4	492	191	8,4	9,150
26Б2	45360	78,3	579	226	12,7	10,278
30Б1	80320	103,6	775	299	9,8	6,800
35Б1	150200	134,1	1120	431	11,6	5,618
35Б2	178300	135,2	1319	509	17,3	6,070
40Б1	260100	161,7	1609	618	17,8	5,091
40Б2	318200	153,3	1948	752	28,6	5,830
45Б1	498800	199,2	2502	962	29,4	4,726
45Б2	595000	201,1	2958	1143	45,1	5,356
50Б1	921500	246,0	3746	1440	43,8	4,241
50Б2	1084000	248,0	4372	1687	63,4	4,704
55Б1	1679000	298,6	5623	2162	66,1	3,860
55Б2	1942000	300,8	6457	2492	93,4	4,266
60Б1	2620000	341,0	7686	2960	102,4	3,847
60Б2	2979000	343,3	8679	3353	139,2	4,207
70Б1	5179000	449,1	11530	4424	133,3	3,122
70Б2	6237000	453,0	13760	5303	198,6	3,472
80Б1	9315000	553,7	16820	6447	199,9	2,851
80Б2	11330000	558,6	20290	7810	299,1	3,161
90Б1	15910000	669,7	23760	9100	289,8	2,626
90Б2	19070000	675,0	28260	10860	415,0	2,870
100Б1	26920000	792,0	33990	13020	425,1	2,445
100Б2	32310000	798,4	40470	15560	635,2	2,729
100Б3	37790000	804,8	46960	18130	916,0	3,029
100Б4	42650000	810,4	52640	20390	1256,6	3,340
35ДБ1	84110	110,8	759	292	9,6	6,562
40ДБ1	153100	138,7	1105	424	12,7	5,607
45ДБ1	310100	171,0	1814	697	25,0	5,530
45ДБ2	616300	202,5	3044	1176	44,8	5,244
20III	42840	72,4	592	238	11,1	9,911
23III	72390	87,6	827	324	15,9	9,115
26III	141100	112,9	1250	488	19,0	7,146
26II2	172100	114,8	1501	590	31,2	6,280
30III	287400	145,5	1976	770	29,0	6,185

Продолжение табл. 2

№ про- цесса	$J_{\omega}$	$\omega_{max}$	$W_{\omega}$	$S_{\omega}$	$J_t$	$k = \sqrt{\frac{G J_t}{\epsilon J_{\omega}}}$
	$\text{см}^6$	$\text{см}^2$	$\text{см}^4$	$\text{см}^4$	$\text{см}^4$	$\text{см}^{-1}$
30III2	344600	147,5	2336	916	45,2	7,050
30III3	403200	149,5	2698	1065	67,0	7,931
35III	862200	211,2	4082	1589	53,9	4,867
35III2	974600	213,1	4573	1788	73,0	5,326
35III3	1127000	215,6	5229	2056	104,4	5,922
40III	2203000	291,0	7571	2945	84,7	3,816
40III2	2544000	294,0	8656	3384	130,2	4,402
40III3	2893000	297,0	9742	3827	182,1	4,882
50III	3711000	363,0	10220	3957	113,9	3,409
50III2	4376000	366,7	11930	4641	199,3	4,153
50III3	5192000	371,3	13980	5472	297,3	4,656
50III4	6027000	375,7	16040	6312	425,8	5,172
60III	7367000	464,0	15850	6126	177,1	3,019
60III2	8982000	469,6	19120	7432	335,8	3,763
60III3	10880000	476,0	22870	8945	545,8	4,357
60III4	12840000	482,4	26620	10470	831,3	4,951
70III	11430000	546,4	20930	8074	259,0	2,928
70III2	14010000	552,8	25340	9833	431,8	3,416
70III3	16980000	560,0	30320	11830	739,8	4,061
70III4	19680000	566,4	34750	13630	1107,6	4,616
70III5	23140000	574,4	40290	15910	1688,7	5,256
20KI	114000	97,5	1170	463	19,4	8,028
20K2	133300	99,0	1347	536	29,0	9,069
23KI	283400	136,2	2081	818	27,1	6,021
23K2	328400	138,0	2380	942	40,5	6,834
26KI	518900	165,8	3131	1232	44,1	5,670
26K2	591010	167,7	3524	1395	62,7	6,340
26K3	689700	170,3	4050	1614	93,9	7,181
30KI	1212000	222,0	5460	2145	72,5	4,768
30K2	1411000	225,0	6273	2480	108,5	5,395
30K3	1615000	228,0	7088	2820	157,1	6,067
35KI	2882000	300,1	9606	3767	115,9	3,902
35K2	3414000	304,5	11210	4428	180,6	4,475

Н профили	$J_w$	$\omega_{max}$	$W_w$	$S_w$	$J_t$	$k = \sqrt{\frac{G J_t}{E J_w}}$
	$\text{cm}^6$	$\text{cm}^2$	$\text{cm}^4$	$\text{cm}^4$	$\text{cm}^4$	$\text{cm}^{-1}$
40К1	6237000	393,0	15870	6212	176,5	3,273
40К2	7701000	400,0	19250	7600	311,6	3,914
40К3	9658000	409,0	23610	9420	573,7	4,742
40К4	11930000	419,0	28480	11490	987,0	5,624
40К5	14800000	431,0	34350	14040	1740,8	6,672

Таблица 3

Секториальные геометрические характеристики для прокатных двутавров по ГОСТ 8239-72 и ГОСТ 19425-74

Н профилей	$J_w,$	$\omega_{max},$	$W_w,$	$J_t,$	$k = \sqrt{\frac{G J_t}{E J_w}},$
	$\text{cm}^6$	$\text{cm}^2$	$\text{cm}^4$	$\text{cm}^4$	$\text{cm}^{-1}$

## Балки двутавровые по ГОСТ 8239-72

10	362	12,53	28,91	2,12	0,04689
12	836	17,72	47,16	2,66	0,03461
14	1737	23,78	73,06	3,31	0,02675
16	3214	30,33	105,97	4,11	0,02194
18	5780	38,07	151,82	5,09	0,01820

## Балки двутавровые для подвесных лугов по ГОСТ 19425-74

24М	33660	61,24	549,74	31,22	0,01869
30М	92880	95,36	1016,77	46,55	0,01374
36М	146500	110,63	1326,14	58,33	0,01225
45М	388400	160,91	2485,77	96,58	0,00956

Таблица 4

Секториальные геометрические характеристики для  
швеллеров по ГОСТ 8240-72

В профиле	$X_{c.s.}$	$J_{\omega_0}$	$\omega_1.$	$\omega_2.$	$W_{\omega_1.}$	$W_{\omega_2.}$	$J_t.$	$k = \sqrt{\frac{G J_t}{E J_{\omega}}},$
	см	см <sup>6</sup>	см <sup>2</sup>	см <sup>2</sup>	см <sup>4</sup>	см <sup>4</sup>	см <sup>4</sup>	см <sup>-1</sup>
Швеллеры с уклоном внутренних граней полок								
10	1,33	290	7,0	12,4	41,3	23,3	1,8	0,04845
12	1,47	653	9,4	17,4	69,5	37,5	2,3	0,03631
14	1,64	1319	12,2	23,2	108,0	57,0	2,8	0,02857
16	1,82	2449	15,4	29,7	159,5	82,4	3,5	0,02327
18	1,98	4261	18,8	37,1	226,8	114,7	4,2	0,01943
20	2,16	7022	22,7	45,2	309,5	155,3	5,1	0,01657
22	2,33	11330	26,9	54,0	421,5	209,9	6,4	0,01466
24	2,56	18680	32,3	64,9	578,9	287,8	8,2	0,01286
27	2,66	30070	37,8	78,2	796,1	384,6	10,2	0,01134
30	2,72	46640	43,3	92,8	1077,9	502,6	12,8	0,01019
40	3,00	164800	64,8	144,8	2542,7	1138,5	28,3	0,00806
Швеллеры с параллельными гранями полок								
10	1,39	350	7,5	12,7	46,8	27,5	1,8	0,04409
12	1,56	795	10,1	17,7	78,7	44,8	2,3	0,03291
14	1,74	1620	13,1	23,5	123,5	68,9	2,8	0,02579
16	1,93	3037	16,5	30,1	183,8	100,9	3,5	0,02069
18	2,11	5330	20,3	37,5	262,6	142,2	4,2	0,01737
20	2,30	8873	24,4	45,7	363,0	194,4	5,1	0,01474
22	2,48	14307	28,9	54,5	497,3	263,8	6,4	0,01231
24	2,75	23911	34,8	65,5	686,5	365,3	8,2	0,01137
27	2,83	38533	40,6	78,8	949,1	489,2	10,2	0,01002
30	2,90	59795	46,7	93,1	1281,3	642,0	12,8	0,00900
40	3,11	203882	67,9	146,6	3077,8	1424,5	28,3	0,00716

ПРИЛОЖЕНИЕ 4

Ребра жесткости балок

При укреплении стенок балок только поперечными ребрами жесткости (черт. I а) в целях унификации сечений ребер рекомендуется принимать их из стали марок ВСтЗки или ВСтЗпсб по ГОСТ 380-71 в зависимости от следующих высот стенок балок:

Сечение ребер, мм	Допускаемые высоты стенок балок $h$ , мм при ребрах жесткости	
	парных симметричных	односторонних
- 90x6	1500	900
- 100x8	1800	1200
- 120x8	2400	1600
- 140x10	3000	2100
- 150x10	3300	2400

В табл. I приведены сечения ребер жесткости сварных балок, укрепленных поперечными и продольными ребрами жесткости (черт. I б). Определение размеров ребер жесткости производилось в соответствии с требованиями п. 7.11 [1].

В табл. 2 и 3 приведены предельные усилия на опорные ребра разрезных и неразрезных балок (черт. 2).

Расчет опорных ребер производится в соответствии с требованиями п. 7.12 [1].

Материал ребер и балок сталь марки 09Г2С по ГОСТ 19281-73.

$Q_1$  - предельная опорная реакция при напряжении в нижних торцах опорных ребер равном расчетному сопротивлению сжатию  $R_y$ .

$Q_2$  - меньшее из значений предельной опорной реакции, при расчете опорного ребра на устойчивость или при расчете на смятие нижнего торца опорного ребра.

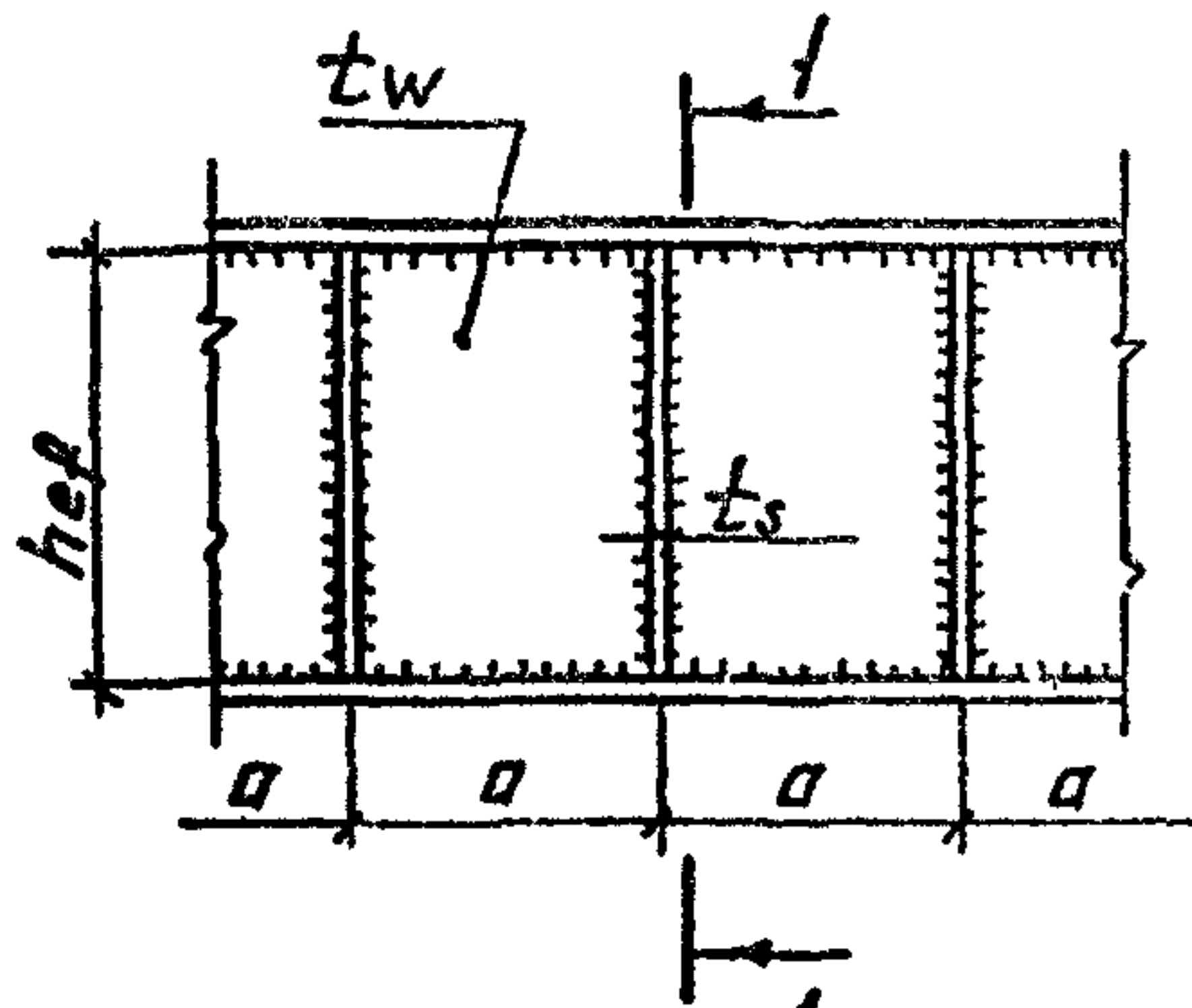
При расчете на прочность стенки разрезных балок с учетом развития пластических деформаций по формуле (41) [1] предельная опорная реакция принимается равной  $Q_1$ .

Сечения опорных ребер разрезных балок по табл. 2 подбираются, исходя из требований по ограничению их ширины, например, при примыкании к колонне по черт. 3.

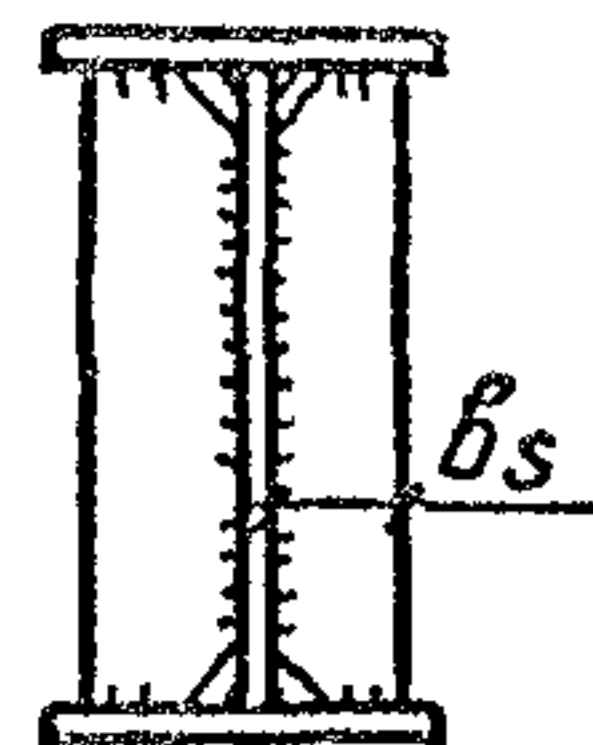
Сечения опорных ребер неразрезных балок по табл. 3 под-

бираются так, чтобы они не выступали за грани нижнего пояса балок.

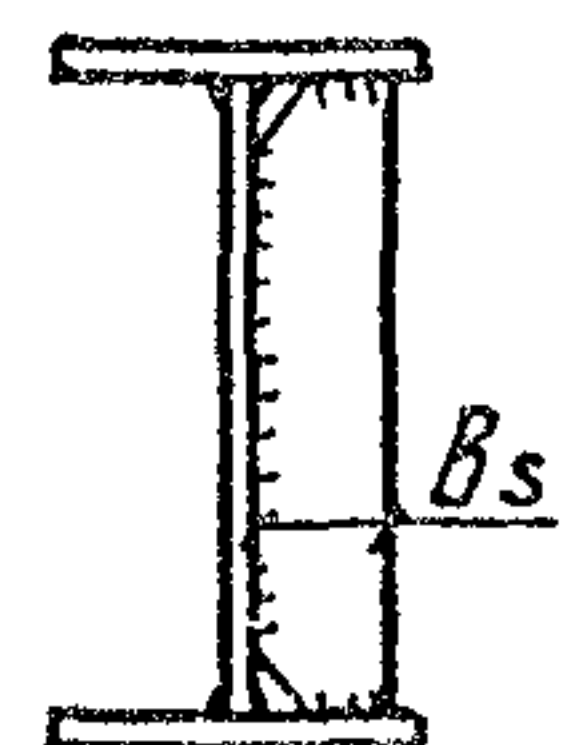
а)



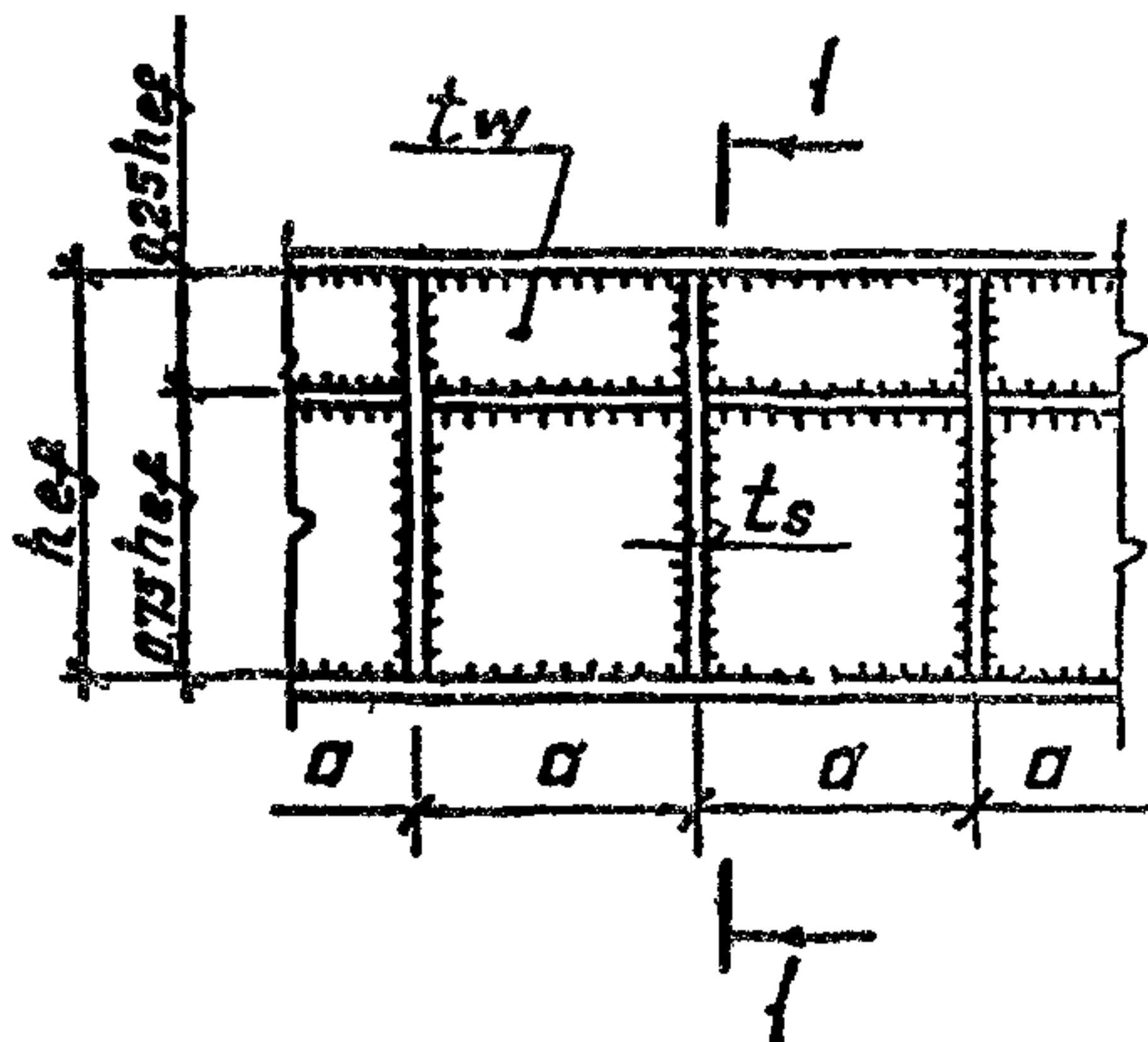
1-1



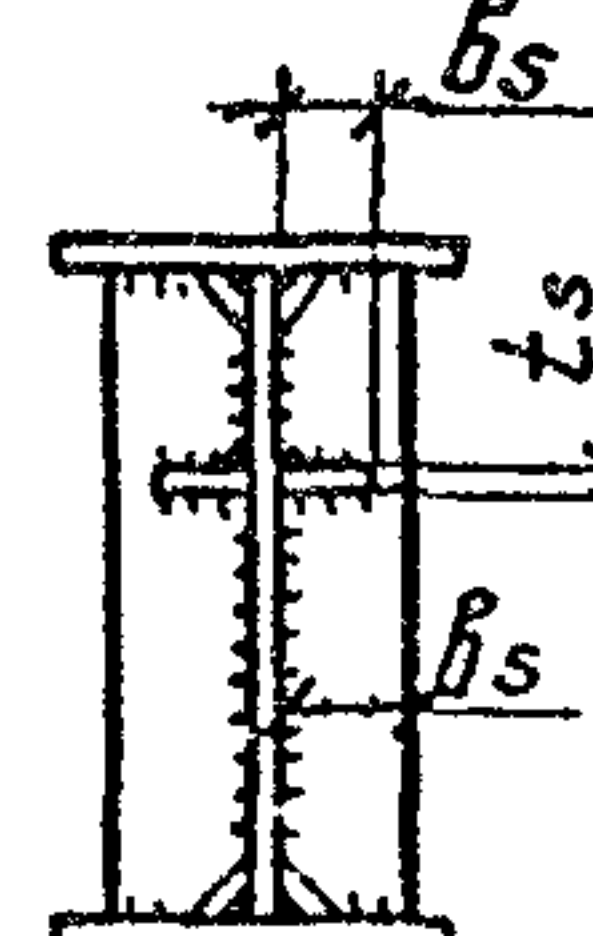
1-1



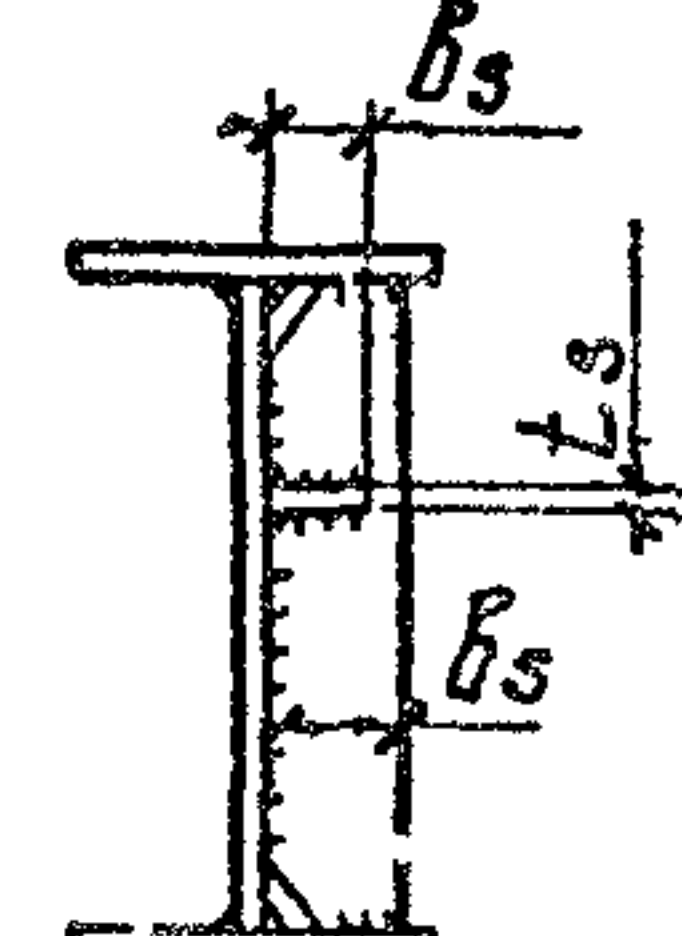
б)



1-1

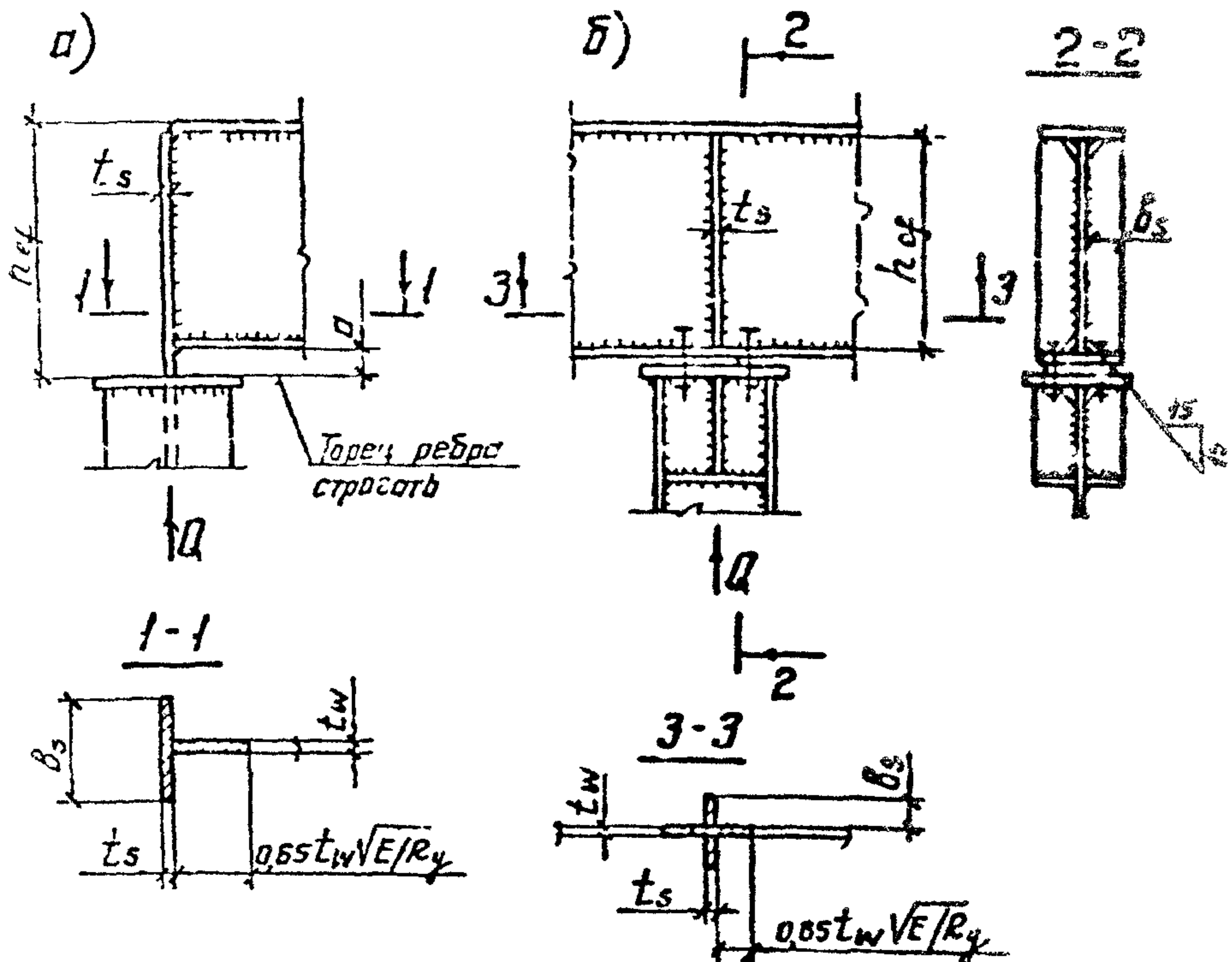


1-1



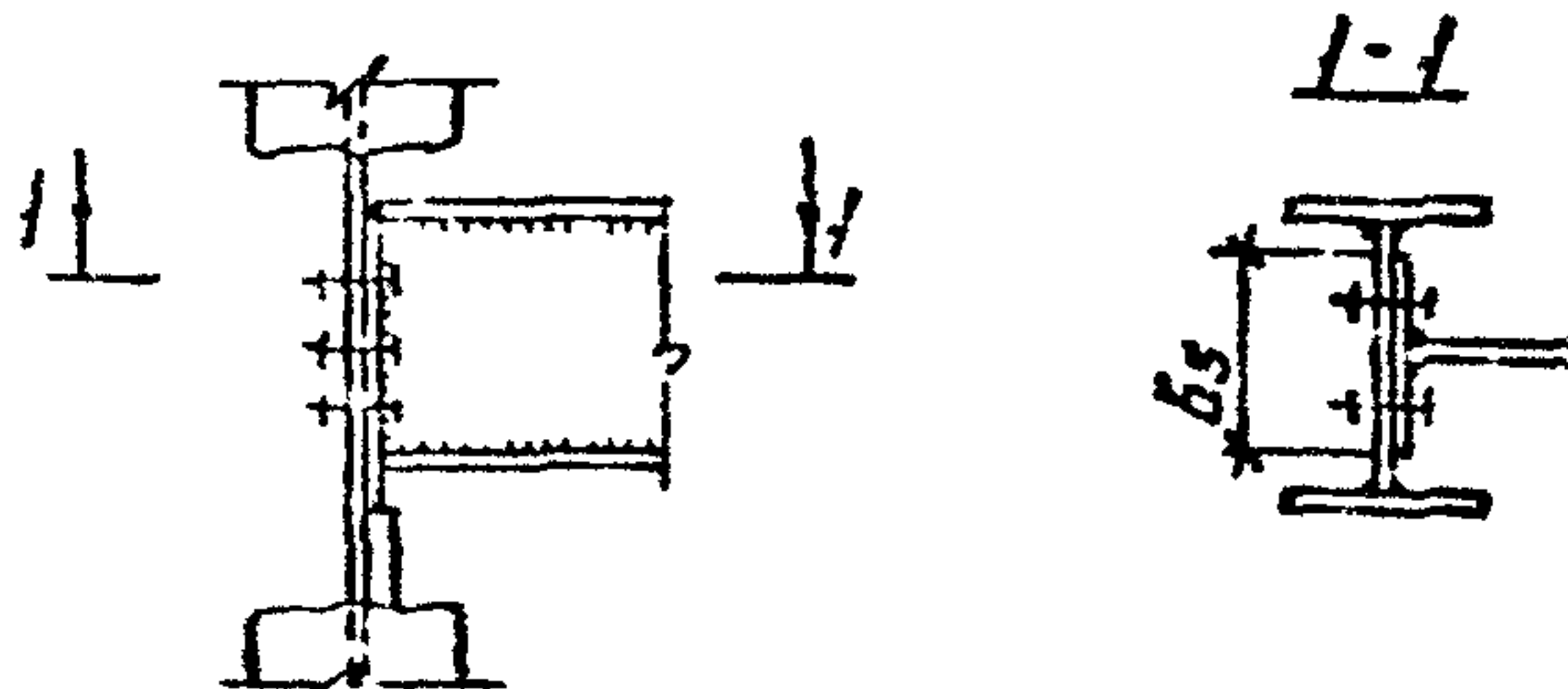
Черт. I. Схема балки, укрепленной ребрами жесткости.

а - балка, укрепленная только поперечными ребрами жесткости; б - балка, укрепленная поперечными и продольными ребрами жесткости



Черт. 2. Опорные узлы балок

а - разрезная балка; б - неразрезная балка.



Черт. 3. Узел прыжкиания балки к колонне в стесненных условиях

Пример 1.

Требуется подобрать сечение двусторонних ребер жесткости балки.

Исходные данные:

Высота стенки  $h_{ef} = 3200$  мм; толщина стенки  $t_w = 16$  мм; расстояние между поперечными ребрами  $a = 3000$  мм.

По табл. I сечение поперечных ребер - I80xI2, сечение продольных ребер - I40xI0.

Пример 2.

Для тех же исходных данных требуется подобрать односторонние ребра жесткости. По табл. I сечение поперечного ребра - 200xI6, сечение продольного ребра - I80xI2.

Пример 3.

Требуется подобрать сечение опорного ребра жесткости разрезной балки с спорной реакцией, равной  $Q = 2500$  кН, высотой стенки  $h_{ef} = 1400$  мм и толщиной стенки  $t_w = 12$  мм.

Расстояние "а" (черт. 2) не превышает значений  $1,5 t_s$ .

По табл. 2 для  $h_{ef} = 1500$  мм и  $t_w = 12$  мм подбираем сечение ребра - 300x22 мм.

Пример 4.

Требуется подобрать сечение опорных ребер жесткости неразрезной балки с исходными данными по примеру 1. Ширина нижнего пояса балки 400 мм. По табл. 3 для  $h_{ef} = 1500$  мм и  $t_w = 12$  мм подбираем сечение двусторонних опорных ребер - I20x28.

Tutoring I

Ребра жесткости балок, укрепленных поперечными и продольными ребрами жесткости

Сечения ребор жесткости при  $b_1 / h_{ef} = 0,25$

h <sub>ref.</sub> мм	Значения $b_s \times t_s$ , мм при расстояниях между поперечными ребрами $a$ , им											
	2000				3000				4000			
	и при толщине стенки балки $t_w$ , мм											
	I4	I6	I8	20	I4	I6	I8	20	I4	I6	I8	20

## Продольные ребра жесткости (односторонние)

2200	I40x10			I80x14		I50x10	I60x12	I80x12				
2500	I50x10								200x14			
2800				200x14				I80x14				
3000												
3200	I60x12	I80x12	I80x14	200x16	I60x12	I80x12		200x16	I60x12	I80x12	200x14	220x16
3400								200x14				
3600			200x14	220x16				220x16				
3800		I80x14			I80x12	I80x14			I80x12	I80x14		
4000	I80x12											

Таблица 2

## Пределевые усилия на опорные ребра жесткости разрезных балок

Сечение опорных ребер $b_s \times t_s$ мм	$A$ , $\text{cm}^2$	$Q_1$ , кН	$Q_2$ в кН при высоте опорного ребра $h$ и толщине стенки балки $t_w$ в мм											
			$h = 1000$			$h = 1500$			$h = 2000$			$h = 2500$		
			8	10	12	10	12	14	12	14	16	14	16	18
200x14	2d	868	II46	I260	I260	I258	I260	I260	I260	I260	I260	I260	I260	I260
200x16	32	992	I266	I438	I440	I376	I440	I440	I440	I440	I440	I440	I440	I440
200x18	36	III6	I386	I558	I620	I493	I620	I620	I588	I620	I620	I620	I620	I620
200x20	40	I240	I506	I678	I800	I610	I800	I800	I703	I600	I800	I760	I600	I800
250x14	35	I085	I373	I550	I575	I504	I575	I575	I575	I575	I575	I575	I575	I575
250x16	40	I240	I523	I701	I800	I652	I800	I800	I784	I800	I800	I800	I800	I800
250x18	45	I395	I676	I853	2025	I801	2005	2025	I930	2025	2025	2025	2025	2025
250x20	50	I550	I827	2004	2219	I949	2153	2250	2075	2250	2250	2190	2250	2250
250x22	55	I595	I863	2034	2243	I982	2181	2365	2106	2324	2365	2222	2365	2365
250x25	63	I813	2075	2247	2456	2190	2389	2623	2310	2529	2688	2423	2651	2688
300x16	48	I488	I779	I959	2160	I918	2128	2160	2070	2160	2160	2160	2160	2160
300x18	54	I674	I962	2141	2360	2098	2308	2430	2247	2430	2430	2397	2430	2430
300x20	60	I860	2144	2324	2543	2277	2488	2700	2424	2659	2700	2572	2700	2700
300x22	66	I314	2189	2363	2575	2318	2523	2763	2461	2691	2638	2608	2838	2838
300x25	75	2175	2445	2619	2832	2570	2776	3017	2709	2940	3203	2852	3101	3225
300x28	84	2436	2701	2875	3080	2823	3028	3270	2957	3189	3453	3096	3346	3612
360x16	58	I786	2083	2264	2405	2229	2444	2592	2396	2592	2574	2692	2592	2592

Сечение от горизонтальных ребер $\delta_s \times t_s$ мм	A, см <sup>2</sup>	Q <sub>1</sub> , кН	$Q_z$ в кН при высоте опорного ребра $h$ и толщине стенки балки $t_w$ в мм											
			$h = 1000$			$h = 1500$			$h = 2000$			$h = 2500$		
			8	10	12	10	12	14	12	14	16	14	16	18
360x18	65	2009	2302	2484	2705	2447	2662	2915	2611	2855	2916	2787	2916	2916
360x20	72	2232	2522	2704	2925	2664	2880	3133	2826	3070	3240	2999	3240	3240
360x22	79	2297	2577	2753	2908	2715	2924	3170	2872	3110	3383	3042	3303	3406
360x25	90	2610	2886	3062	3277	3020	3229	3476	3173	3412	3686	3339	3602	3870
360x28	101	2923	3195	3371	3586	3325	3535	3782	3474	3713	3988	3636	3900	4196
400x16	64	1984	2284	2466	2688	2434	2652	2880	2608	2856	2880	2798	2880	2880
400x18	72	2232	2529	2711	2933	2677	2894	3150	2848	3097	3240	3036	3240	3240
400x20	80	2480	2774	2956	3170	2919	3137	3393	3088	3337	3600	3273	3548	3600
400x22	88	2552	2836	3012	3228	2977	3188	3436	3141	3382	3660	3321	3569	3784
400x25	100	2900	3179	3356	3572	3317	3528	3777	3477	3719	3998	3654	3923	4226
400x28	112	3218	3523	3700	3916	3658	3869	4118	3814	4056	4335	3986	4256	4560
400x32	128	3712	3982	4158	4374	4112	4325	4572	4262	4505	4785	4429	4700	5005
500x20	100	3100	3399	3583	3807	3552	3773	4034	3733	3988	4282	3937	4224	4500
500x22	110	3190	3179	3657	3874	3627	3841	4094	3802	4050	4335	4000	4279	4594
500x25	125	3625	3910	4088	4305	4055	4269	4522	4227	4475	4760	4421	4700	5016
500x28	140	4060	4341	4519	4737	4183	4698	4950	4651	4900	5185	4842	5122	5438
500x32	160	4640	4916	5094	5312	5054	5269	5522	5217	5466	5752	5403	5683	5999
600x25	150	4350	4639	4818	5036	4789	5005	5260	4968	5219	5509	5173	5458	5781
600x28	168	4872	5158	5336	5555	5305	5520	5775	5480	5732	6022	5682	5967	6290
600x30	192	5568	5849	6028	6246	5992	6208	6463	6163	6415	6705	6360	6646	6969
700x32	224	6496	6781	6960	7170	6927	7145	7401	7104	7358	7651	7309	7598	7926
800x32	256	7424	7711	7891	8110	7861	8079	8336	8042	8297	8592	8253	8544	8874

Продельчие усилия на опорные ребра жесткости неразрезных балок

Tadoma 3

Сечение опорных ребер $b_s \cdot t_s$ мм	$A,$ см <sup>2</sup>	$Q_1,$ кН	$Q_2$ в кН при высоте опорного ребра $h$ и толщине стапки $t_w$ в мм											
			$h = 1000$			$h = 1500$			$h = 2000$			$h = 2500$		
			8	10	12	10	12	14	12	14	16	14	16	18
I00x20	34	1054	1530	1530	1530	1530	1530	1530	1530	1530	1530	1530	1530	1530
I00x25	43	1233	1828	1828	1828	1828	1828	1828	1828	1828	1828	1828	1828	1828
I00x28	48	1380	2047	2047	2047	2047	2047	2047	2047	2047	2047	2047	2047	2047
I20x20	42	1302	1890	1890	1890	1890	1890	1890	1890	1890	1890	1890	1890	1890
I20x25	53	1523	2258	2258	2258	2258	2258	2258	2258	2258	2258	2258	2258	2258
I20x28	59	1705	2514	2528	2528	2528	2528	2528	2528	2528	2528	2528	2528	2528
I40x25	63	1813	2609	2688	2688	2688	2688	2688	2688	2688	2688	2688	2688	2688
I40x28	70	2030	2849	3010	3010	3010	3010	3010	3010	3010	3010	3010	3010	3010
I40x32	80	2320	3167	3440	3440	3440	3440	3440	3440	3440	3440	3440	3440	3440
I60x16	46	1438	2068	2088	2088	2088	2088	2088	2088	2088	2088	2088	2088	2088
I60x18	52	1618	2349	2349	2349	2349	2349	2349	2349	2349	2349	2349	2349	2349
I60x20	58	1798	2594	2610	2610	2610	2610	2610	2610	2610	2610	2610	2610	2610
I80x16	53	1637	2376	2376	2376	2376	2376	2376	2376	2376	2376	2376	2376	2376
I80x18	59	1841	2627	2673	2673	2673	2673	2673	2673	2673	2673	2673	2673	2673
I80x20	66	2046	2847	2970	2970	2970	2970	2970	2970	2970	2970	2970	2970	2970
200x16	59	1835	2609	2664	2664	2664	2664	2664	2664	2664	2664	2664	2664	2664
200x18	67	2065	2854	2997	2997	2997	2997	2997	2997	2997	2997	2997	2997	2997
200x20	74	2294	3100	3330	3330	3330	3330	3330	3330	3330	3330	3330	3330	3330
220x16	66	2034	2811	2952	2952	2952	2952	2952	2952	2952	2952	2952	2952	2952
220x18	74	2288	3081	3321	3321	3321	3321	3321	3321	3321	3321	3321	3321	3321
220x20	82	2542	3351	3690	3690	3690	3690	3690	3690	3690	3690	3690	3690	3690
250x16	75	2331	3112	3384	3384	3384	3384	3384	3384	3384	3384	3384	3384	3384
250x18	85	2623	3420	3787	3807	3752	3807	3807	3807	3807	3807	3807	3807	3807
250x20	94	2914	3727	4095	4230	4057	4230	4230	4230	4230	4230	4230	4230	4230
280x16	85	2629	3413	3781	3816	3751	3816	3816	3816	3816	3816	3816	3816	3816
280x18	95	2957	3757	4126	4293	4094	4293	4293	4293	4293	4293	4293	4293	4293
280x20	106	3286	4102	4471	4770	4437	4770	4770	4770	4770	4770	4770	4770	4770
300x25	143	4133	4958	5315	5752	5282	5714	6128	5669	6128	6128	6128	6128	6128
300x28	160	4628	5476	5834	6271	5798	6230	6740	6182	6686	6863	6624	6803	6863
300x32	182	5290	6168	6526	6962	6486	6919	7429	6867	7370	7843	7304	7843	7843
320x25	153	4423	5249	5607	6044	5576	6008	6519	5966	6471	6558	6416	6558	6558
320x28	171	4953	5803	6161	6598	6127	6560	7071	6514	7020	7344	6961	7344	7344
320x32	195	5661	6541	6899	7336	6861	7295	7806	7245	7751	8333	7688	8263	8394
360x32	221	6403	7286	7645	8083	7610	8045	8559	8000	8509	9095	8452	9032	9494
100x32	246	7146	8031	8390	8820	8358	8794	9309	8752	9263	9852	9251	9795	10154

## ПРИЛОЖЕНИЕ 5

Данные для расчета стыков и узлов крепления  
балок на болтах

В табл. I-3 приведены значения коэффициентов  $\alpha = l_1 / \sum l_i^2$  для расчета болтовых соединений по стенке балок ( $l_1$  - расстояние между крайними болтами соединения (см. черт. I), а  $l_i$  - расстояние между каждой парой болтов, расположенных симметрично относительно нейтральной оси). Шаг болтов "a" принят 70 и 80 мм. Расчет с помощью таблиц иллюстрируется примером

Пример.

Требуется  
определить коли-  
чество и расположе-  
ние высокопроч-  
ных болтов для  
фрикционного сое-  
динения стыка бал-  
ки (черт. I)

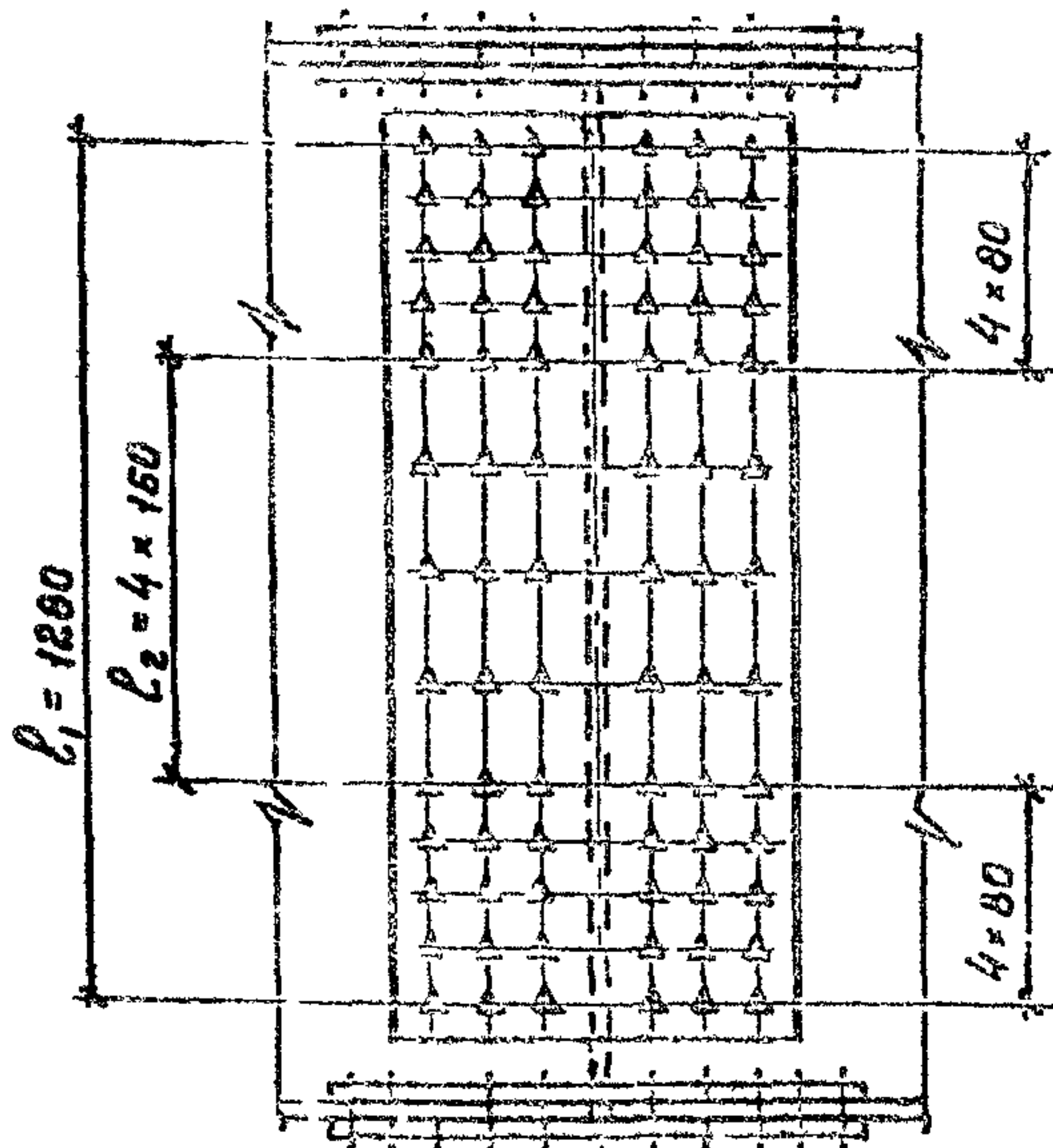
Расчетные усилия:  
Поперечная сила в  
стыке  $Q = 4500$  кн.  
Изгибающий момент  
с учетом момента  
от эксцентристи-  
та приложения по-  
перечной силы  
 $M = 1500$  кН.м.

Характеристика  
соединения:  
Болты высокопроч-  
ные М24.

Способ обработки  
соединяемых по-  
верхностей газо-  
пламенный без консервации.

Способ регулирования натяжения болтов по моменту.

Разница коминальных диаметров отверстий и болтов 3 мм.



Черт. I. Болтовое соединение  
в стенке балки

газопламенный без консервации.

Нагрузка динамическая.

Предельное усилие на один болт при двусторонних накладках 168 кН.

Принимаем 3 вертикальных ряда болтов с шагом 80 мм,  
 $\ell_1 = 1440$  мм,  $\ell_2 = 960$  мм. По табл. 3 методом последовательного подбора находим  $a = 22 \cdot 50 / 10^4$ ,  $n = 13$ . Количество болтов на полунакладке равно  $13 \cdot 3 = 39$  шт. Вертикальная составляющая от поперечной силы

$$V = \frac{4500}{39} = 115,4 \text{ кН.}$$

Горизонтальная составляющая от момента

$$H = \frac{M}{l} \cdot a' = \frac{15 \cdot 10^4}{3} \times \frac{22,5}{10^4} = 112,5 \text{ кН}$$

Равнодействующее усилие, действующее на крайний болт

$$N_B = \sqrt{V^2 + H^2} = \sqrt{115,4^2 + 112,5^2} = 161,2 \text{ кН} < 168 \text{ кН.}$$

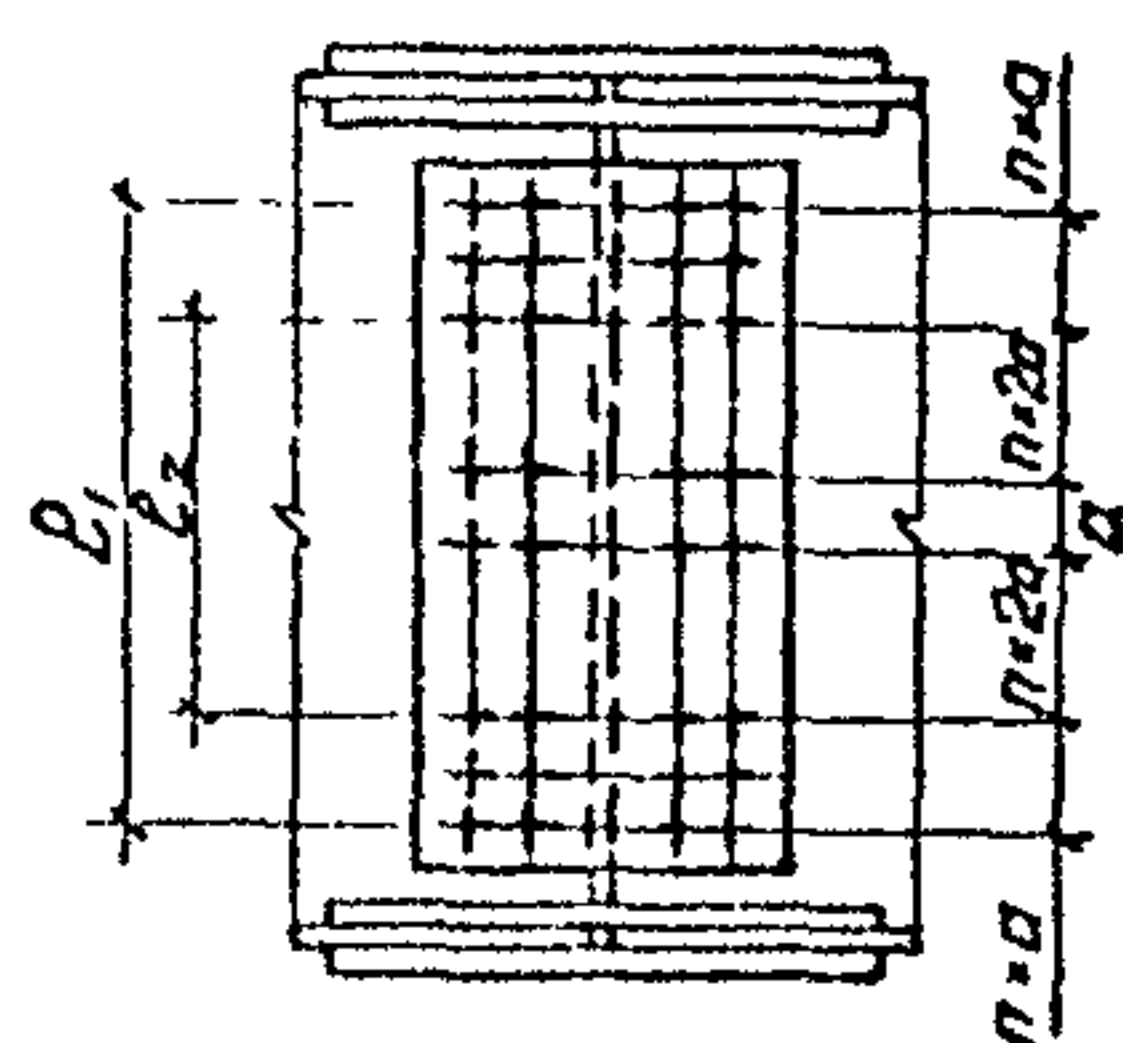
Таблица I

Значение коэффициентов  $c_i = \frac{e_i}{\sum e_i^2}$  и  
число болтов для одного ряда

		Значения коэффициентов $c_i$ при $e_2$ , мм и "в", мм										
$e_2$ , мм		$a = 80$					$e_2$ , мм	$a = 70$				
		80	400	720	1040	1360		70	350	630	910	1190
240	<u>375,00</u> 4						210	<u>428,57</u> 4				
400	<u>178,57</u> 6	<u>240,36</u> 4					350	<u>204,08</u> 6	<u>274,73</u> 4			
560	<u>104,17</u> 8	<u>116,67</u> 6					490	<u>119,05</u> 8	<u>133,33</u> 6			
720	<u>68,18</u> 10	<u>72,12</u> 8	<u>105,14</u> 6				630	<u>77,92</u> 10	<u>82,42</u> 8	<u>120,18</u> 6		
880	<u>48,08</u> 12	<u>49,64</u> 10	<u>60,31</u> 8				770	<u>54,95</u> 12	<u>56,73</u> 10	<u>68,92</u> 8		
1040	<u>35,71</u> 14	<u>36,43</u> 12	<u>40,93</u> 10	<u>58,08</u> 8			910	<u>40,82</u> 14	<u>41,64</u> 12	<u>46,78</u> 10	<u>67,22</u> 8	
1200	<u>22,57</u> 16	<u>22,94</u> 14	<u>30,14</u> 12	<u>37,43</u> 10			1050	<u>31,51</u> 16	<u>31,94</u> 14	<u>34,45</u> 12	<u>42,77</u> 10	
1360	<u>21,93</u> 18	<u>22,14</u> 16	<u>23,33</u> 14	<u>26,90</u> 12	<u>37,61</u> 10		1190	<u>25,06</u> 18	<u>25,30</u> 16	<u>26,66</u> 14	<u>30,74</u> 12	<u>42,98</u> 10
1520	<u>17,66</u> 20	<u>17,98</u> 18	<u>18,67</u> 16	<u>20,63</u> 14	<u>25,65</u> 12		1330	<u>20,41</u> 20	<u>20,55</u> 18	<u>21,34</u> 16	<u>23,59</u> 14	<u>29,31</u> 12
1680	<u>14,82</u> 22	<u>14,90</u> 20	<u>15,32</u> 18	<u>16,49</u> 16	<u>19,20</u> 14		1470	<u>16,94</u> 22	<u>17,03</u> 20	<u>17,51</u> 18	<u>18,84</u> 16	<u>21,95</u> 14

Примечания: 1. В числителе дроби приведены значения  $c_i$  умноженные в  $10^4$  раз,  
в знаменателе дроби - количество болтов.

2. Размер  $e_2$  равен ширине зоны с увеличенным шагом болтов, равным 2·a.



Значения коэффициентов  $\zeta = \frac{b_2}{\sum b_i^2}$  к числу болтов для  
одного ряда

Таблица 2

$b_1$ , мм	Значения коэффициентов $\zeta$ при $b_2$ , мм										
	0	280	560	840	1120	1400	1680	1960	2240	2520	2800
280	285.71 5	357.14 3									
320	153.06 7	164.84 5									
360	95.24 9	98.52 7	142.86 5								
400	64.94 11	66.14 9	79.37 7								
440	47.10 13	47.62 11	52.91 9	76.53 7							
480	35.71 15	35.97 13	36.46 11	47.62 9							
520	28.01 17	28.15 15	29.46 13	33.81 11	47.62 9						
560	22.56 10	22.64 17	23.52 15	25.71 13	31.98 11						
600	18.55 21	18.60 19	19.05 17	20.41 15	23.73 13	32.47 11					
640	15.53 23	15.54 21	15.84 19	16.68 17	18.62 15	23.04 13					
680	13.19 26	13.21 23	13.39 21	13.94 19	15.14 17	17.67 15	23.55 13				
720	11.34 27	11.35 25	11.48 23	11.84 21	12.55 19	14.20 17	17.42 15				
760	9.85 29	9.86 27	9.95 25	10.20 23	10.74 21	11.76 19	13.72 17	17.8. 15			
800	8.64 31	8.65 29	8.71 27	8.89 25	9.27 23	9.92 21	11.23 19	13.65 17			
840	7.64 33	7.64 31	7.69 29	7.82 27	8.09 25	8.59 23	9.45 21	10.98 19	14.01 17		
880	6.60 35	6.81 33	6.84 31	6.94 29	7.14 27	7.50 25	8.10 23	9.13 21	10.99 19		
920	6.10 37	6.10 35	6.13 33	6.20 31	6.35 29	6.61 27	7.05 25	7.77 23	9.02 21	11.28 19	
960	5.49 39	5.50 37	5.52 35	5.57 33	5.69 31	5.89 29	6.21 27	6.74 25	7.58 23	9.04 21	
1000	4.98 41	4.98 39	5.00 37	5.04 35	5.13 33	5.28 31	5.53 29	5.92 27	6.52 25	7.51 23	8.28 21

В числителе дроби стоят увеличение в  $10^4$  раз значения  $\zeta$ , в знаменателе дроби - количество болтов.  
Размер  $b_2$  равен ширине зоны с увеличенным шагом болтов, равным  $2 \cdot a$ .

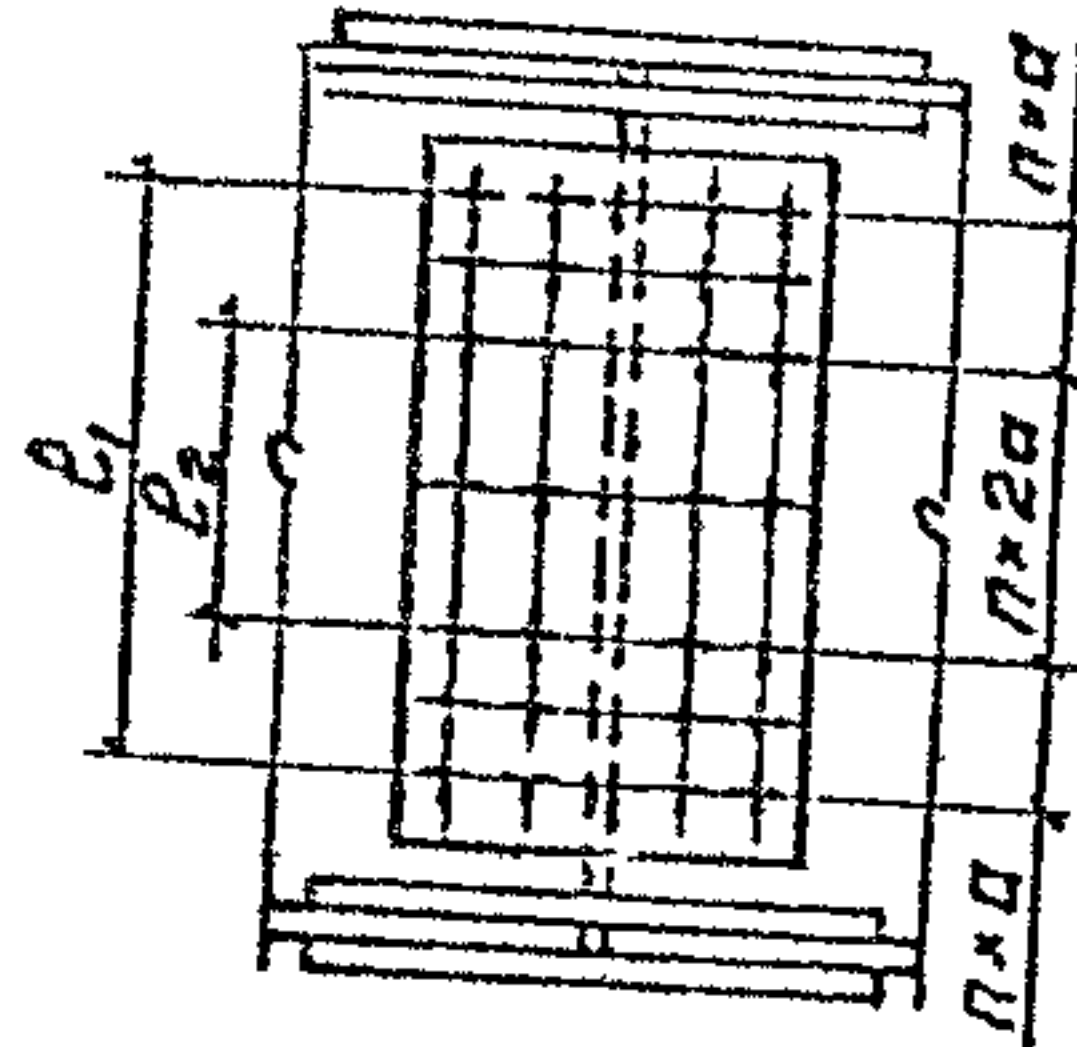
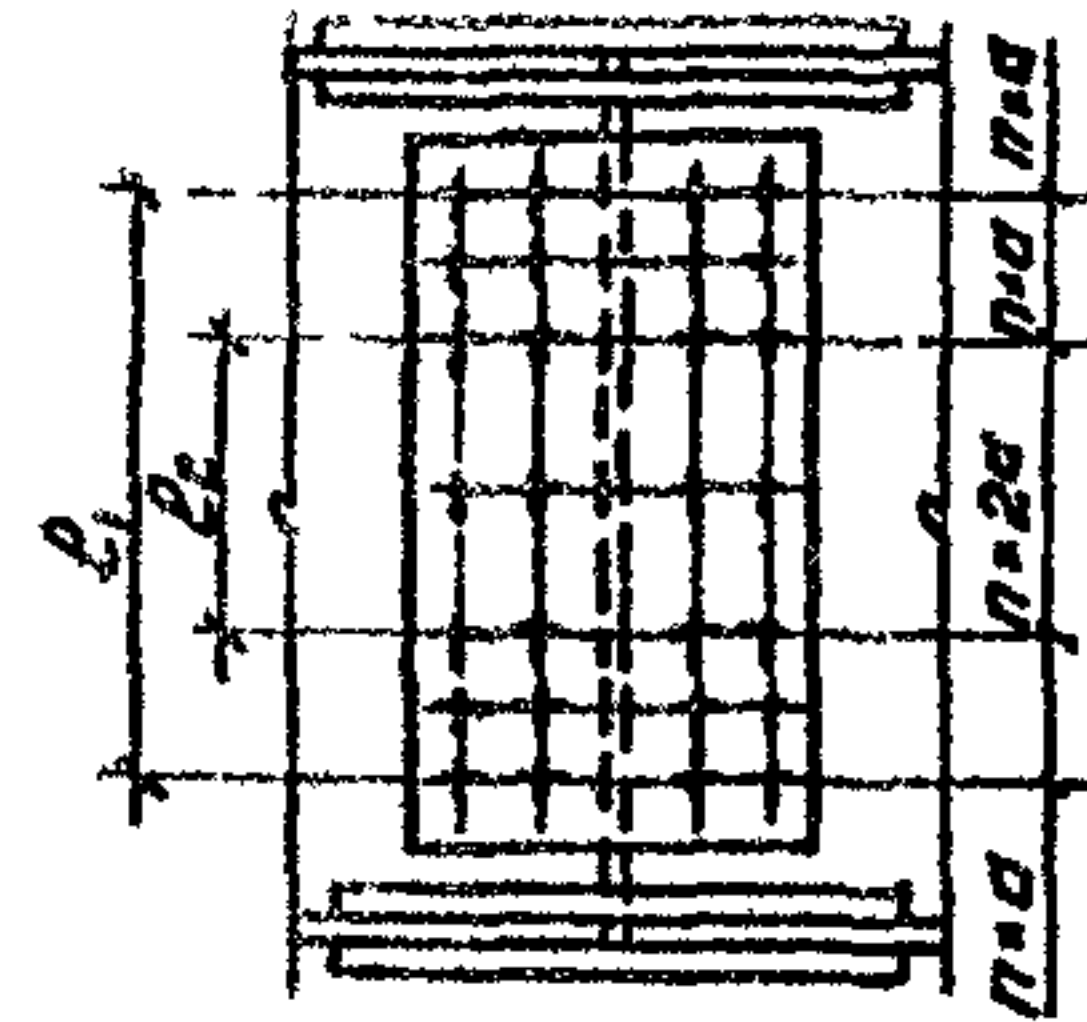


Таблица 3

Значения коэффициентов  $\alpha = \frac{e_1}{\sum e_i}$  и число болтов для  
одного ряда

$e_1$ мм	Значения коэффициентов $\alpha$ при $e_2$ , мм										
	0	320	640	960	1280	1600	1920	2240	2560	2880	3200
320	250.00 5	312.50 3									
480	133.93 7	144.23 5									
640	83.33 9	86.21 7	125.00 5								
800	56.82 11	57.87 9	69.44 7								
960	41.21 13	41.67 11	46.30 9	66.96 7							
1120	31.25 15	31.47 13	33.65 11	41.67 9							
1280	24.51 17	24.63 15	25.77 13	29.59 11	41.67 9						
1440	19.74 19	19.81 17	20.45 15	22.50 13	27.99 11						
1600	16.23 21	16.28 19	16.67 17	17.86 15	20.76 13	28.41 11					
1760	13.59 23	13.61 21	13.63 19	14.60 17	16.29 15	20.16 13					
1920	11.54 25	11.56 23	11.72 21	12.20 19	13.25 17	15.46 16	20.60 13				
2080	9.92 27	9.93 25	10.04 23	10.36 21	11.06 19	12.42 17	15.24 15				
2240	8.62 29	8.63 27	8.71 25	8.93 23	9.40 21	10.29 19	12.00 17	15.63 15			
2400	7.56 31	7.57 29	7.62 27	7.78 25	8.11 23	8.72 21	9.83 19	11.94 17			
2560	6.68 33	6.69 31	6.73 29	6.84 27	7.08 25	7.51 23	8.26 21	9.61 19	12.25 17		
2720	5.95 35	5.96 33	5.99 31	6.07 29	6.25 27	6.56 25	7.09 23	7.99 21	9.62 19		
2880	5.33 37	5.34 35	5.36 33	5.42 31	5.56 29	5.79 27	6.17 25	6.80 23	7.87 21	9.87 19	
3040	4.81 39	4.81 37	4.83 35	4.88 33	4.98 31	5.15 29	5.44 27	5.89 25	6.63 23	7.91 21	
3200	4.36 41	4.36 39	4.37 37	4.41 35	4.49 33	4.62 31	4.84 29	5.18 27	5.71 25	6.58 23	8.12 21



ПРИЛОЖЕНИЕ 6

Данные для подбора сечения настилов и ребер  
жесткости площадок

Подбор сечения настила площадок

В табл. I приведены предельные нормативные равномерно-распределенные нагрузки от оборудования, людей, складируемых материалов на настил площадок в зависимости от пролета настила (шага ребер жесткости), а в табл. 2 цепные усилия в настиле площадок, соответствующие предельным нормативным нагрузкам, приведенным в табл. I.

Расчет производился с помощью таблиц, составленных С.Д.Лейтесом и приведенных в сб.: "Материалы по металлическим конструкциям . Вып. 8., М.: Стройиздат, 1964.

За расчетную схему принята пластинка, работающая в условиях цилиндрического изгиба при несмешающем контуре.

Расчет производился по трем схемам:

Схема 1 - пластинка с шарниро-закрепленными кромками;

Схема 2 - пластинка с защемленными кромками

Схема 3 - пластинка с образованием на опоре шарнира пла-  
стичности, несущая способность определяется по  
прогибу или усилиям в середине пролета как  
средний случай между схемой 1 и схемой 2.

Вес настила учтен при определении табличных данных, т.е. для определения сечения настила временная нагрузка определяется без учета веса настила.

Предельный относительный прогиб настила принят равным  $I/I_{150}$  по табл. 40 СНиП II-23-81. Предельное отношение пролета к толщине пластинки принято равным 300.

Для настила применены листы стальные с ромбическим рифле-  
нием по ГОСТ 8568-77 из стали марки БСтЗкл2 по ГОСТ 380-71  
и сталь листовая по ГОСТ 19903-74 из стали марок ВСтЗпс6 по  
ГОСТ 380-71 и 09Г2С по ГОСТ 19282-73.

Расчетное сопротивление для рифленой стали принято равным 165 МПа, так как она поставляется по группе Б, при которой гарантировается только химический состав стали.

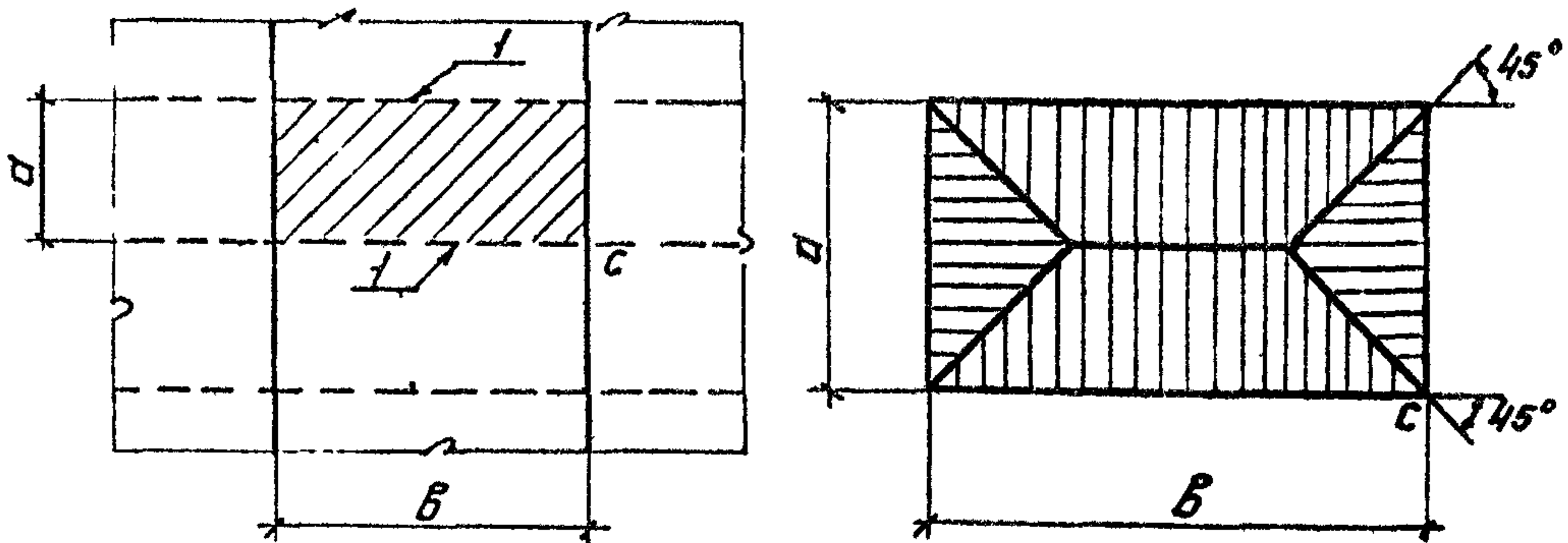
### Определение усилий в ребрах жесткости

В табл. 3 и 4 приведены расчетные усилия  $M$  и  $Q$  в ребрах жесткости площадок в зависимости от их шага и пролета, а также заданных нормативных нагрузок. Грузовая площадь, приходящаяся на ребра жесткости, приведена на (черт. I). Вес настила и ребер жесткости учитывался следующим образом. Вес ребра жесткости учтен от ребра сечением 200xI4, а толщина настила принималась в зависимости от нормативной нагрузки:

$t = 6$  при нагрузке  $Q \leq 4$  кН;

$t = 8$  при нагрузке  $4 < Q \leq 10$  кН;

$t = 12$  при нагрузке  $Q > 10$  кН.

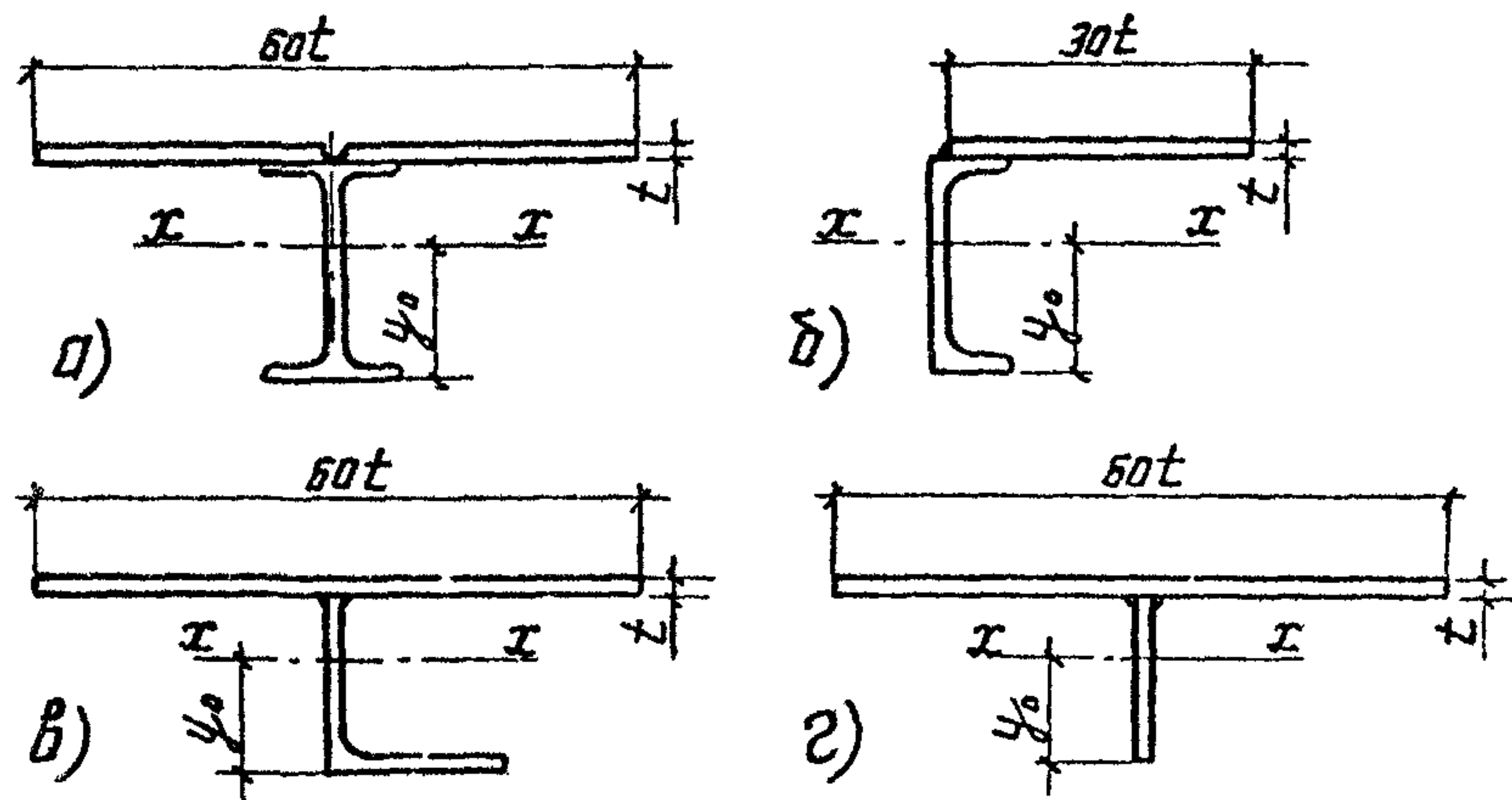


Черт. I. Грузовая площадь, приходящая на ребра жесткости

I - ребра жесткости

### Справочные величины балок и ребер жесткости с учетом настила

В табл. 5 приведены геометрические характеристики двутавров по ГОСТ 26020-83 с учетом настила. Аналогично в табл. 6 приведены геометрические характеристики швеллеров, ребер жесткости из уголков и листа. Настил площадок принят толщиной 4, 6,8,10 и 12 мм. Поперечное сечение балок и ребер жесткости с настилом, включенным в работу, приведено на (черт. 4).



Черт. 2. Поперечные сечения балок и ребер жесткости с учетом настила

а - двутавр по ГОСТ 26020-83; б - швеллер по ГОСТ 8240-72 (с уклоном полок); в - ребро жесткости из уголка по ГОСТ 8509-86; г - ребро жесткости из листа.

Для балок из двутавров и ребер жесткости в работу включена ширина настила равная  $60t$ , для швеллеров –  $30t$  (крайний элемент).

В табл. 5 и 6 приведены моменты инерции балок и минимальные моменты сопротивления. В случае необходимости расстояние от нижней грани сечения до нейтральной оси  $x-x$  может быть определено по формуле

$$\psi_0 = \frac{Y_x}{W_{x,\min}}$$

Максимальный момент сопротивления может быть определен по формуле

$$W_{x,\max} = \frac{y_x}{(h+t-y_0)},$$

где  $h$  - высота профиля или ребра жесткости.

В основном учет работы настила может быть использован при расчете балок и ребер жесткости по деформациям, однако он может быть учтен и при расчете на прочность. При этом в чертежах КМ должны быть оговорены толщины сварных швов, прикрепляющих настил к поясам балок или ребрам жесткости и проконтролировано их исполнение.

### Пример I.

Требуется подобрать сечение настила и ребер жесткости для площадки с шагом балок 2,5 м и шагом ребер жесткости 1,5 м.

Нагрузка - равномерно распределенная  $q'' = 10 \text{ кН}/\text{м}^2$ .

Настил из рифленой стали марки БСтЗкп по ГОСТ 8568-77.

### Подбор сечения настила

По табл. I для схемы 3 определяем настил толщиной 8 мм, способный воспринимать предельную нормативную нагрузку

$$q = 11,5 \text{ кН}/\text{м}^2 > 10 \text{ кН}/\text{м}^2.$$

По табл. 2 для той же схемы 3 определяем цепные усилия в настиле, равные 2353 Н на 1 см длины, или 2,353 кН на 1 см длины. Принимаем сварные швы толщиной 6 мм. Предельное усилие на 1 см длины сварного шва 7,6 кН > 2,353 кН по "Руководству по подбору сечений элементов строительных стальных конструкций", часть I, ЦНИИпроектстальконструкция, М., 1982.

### Подбор сечений ребер жесткости

По табл. 3 определяем изгибающий момент, приходящийся на ребро жесткости,  $M = 13,6 \text{ кН}\cdot\text{м}$  или  $1360 \text{ кН}\cdot\text{см}$ .

По табл. 4 определяем поперечную силу в опорном сечении ребра жесткости  $Q = 17,3 \text{ кН}$ .

Принимаем для ребер жесткости сталь марки ВСтЗпс6.

Расчетное сопротивления  $R_y = 24,5 \text{ кН}/\text{см}^2$ .

Требуемый момент сопротивления ребра жесткости

$$W_{\min} = 1360/24,5 = 55,51 \text{ см}^3$$

Принимаем ребра жесткости из полосы I50x10 по табл. 6.  
Момент сопротивления ребра

$$W_{x,\min} = 73 \text{ см}^3 > 55,51 \text{ см}^3.$$

Касательные напряжения

$$\tau = 17,3 \cdot 1,5 / 15 = 1,73 \text{ кН}$$

Относительный прогиб

$$\frac{f}{l} = \frac{M \cdot c}{10 E J} = \frac{13,60 \times 2,50}{10 \cdot 2,06 \cdot 10^4 \cdot 956} = \frac{I}{579} < \frac{I}{250}$$

Таблица I

Предельная нормативная нагрузка на настил площадок

Настыл		Нормативная нагрузка $\frac{q}{f/\ell} = 1/150$ в кН/м <sup>2</sup> при пролете настила $\ell$ , мм и												
Схема	Толщина, мм	600	700	800	900	1000	1100	1200	1300	1400	1500	1600	1800	2000
Настыл из рифленой стали по ГОСТ 8568-77 (марка стали ВСтЗжн)														
I	4	II,4	9,2	7,7	6,6	5,8	5,1	4,6						
	6	22,5	I7,1	I3,6	II,3	9,7	8,5	7,5	6,7	6,1	5,6	5,2	4,5	
	8	40,2	29,1	22,4	I8,0	I5,0	I2,8	II,1	9,9	8,9	8,0	7,3	6,3	5,5
	10	66,5	46,3	34,7	27,3	22,2	I8,5	I5,9	I3,9	I2,3	II,0	I0,0	8,4	7,2
	12	84,2	69,1	51,6	39,9	31,6	26,2	22,1	I8,9	I6,6	I4,7	I3,1	I0,8	9,2
2	4	I4,0	II,0	9,2	7,9	6,9	6,1	5,5						
	6	27,9	21,0	16,7	I3,8	II,7	I0,2	9,0	8,1	7,4	6,7	6,2	5,4	
	8	49,6	36,1	27,8	22,3	I8,5	I5,7	I3,7	I2,0	I0,8	9,7	8,9	7,6	6,6
	10	80,8	56,6	42,2	34,0	27,7	23,0	I9,6	I7,1	I5,1	I3,6	I2,2	I0,2	8,8
	12	II5,4	86,5	61,2	49,3	39,2	32,5	27,5	23,5	20,5	I8,2	I6,3	I3,4	II,3
3	4	I7,9	I3,4	I0,6	8,7	7,4	6,4	5,6						
	6	43,1	30,3	22,7	I7,8	I4,5	I2,2	I0,4	9,1	8,1	7,2	6,5	5,5	
	8	75,9	59,4	42,9	32,6	25,8	21,1	I7,6	15,1	I3,1	II,5	I0,3	8,4	7,1
	10	I07,6	83,9	69,3	55,3	42,8	34,1	28,1	23,6	20,1	I7,5	I5,4	I2,3	I0,1
	12	I49,3	II3,0	90,3	75,6	65,6	52,6	42,6	35,2	29,8	25,5	22,2	I7,3	I4,0
Настыл из листовой стали по ГОСТ 19903-74 (марка стали ВСрЗжс6)														
I	4	II,4	9,2	7,7	6,6	5,8	5,1	4,6						
	6	22,5	I7,1	I3,6	II,3	5,7	8,5	7,5	6,7	6,1	5,6	5,2	4,5	
	8	40,2	29,1	22,4	I8,0	I5,0	I2,8	II,1	9,9	8,9	8,0	7,3	6,3	5,5
	10	66,5	46,3	34,7	27,3	22,2	I8,5	I5,9	I3,9	I2,3	II,0	I0,0	8,4	7,2
	12	I03,8	70,9	51,6	39,9	31,6	26,2	22,1	I8,9	I6,6	I4,7	I3,1	I0,8	9,2
2	4	20,7	I6,8	I3,5	I0,9	9,0	7,7	6,7						
	6	39,3	30,3	24,6	20,6	I7,8	15,7	I3,4	11,5	10,0	8,9	7,9	6,5	
	8	67,5	50,1	39,1	31,9	27,0	23,3	20,5	18,3	16,6	15,0	I3,2	I0,6	8,7
	10	I05,6	76,1	58,6	47,1	39,0	33,1	28,6	25,3	22,5	20,3	I8,5	I5,8	I3,1
	12	I61,1	II0,7	84,7	67,2	54,4	45,3	38,8	33,8	29,9	26,8	24,2	20,2	I7,4
3	4	I7,9	I3,4	I0,6	8,7	7,4	6,4	5,6						
	6	43,1	30,3	22,7	I7,8	I4,5	I2,2	I0,4	9,1	8,1	7,2	6,5	5,5	
	8	87,7	59,4	42,9	32,6	25,8	21,1	I7,6	15,1	I3,1	II,5	I0,3	8,4	7,1
	10	I66,5	I04,4	74,1	55,3	42,8	34,1	28,1	23,6	20,1	I7,5	I5,4	I2,3	I0,1
	12	I10,5	I63,1	II8,8	87,4	66,5	52,6	42,6	35,2	29,8	25,5	22,2	I7,3	I4,0

Продолжение табл. I

Настил схема	Толщина, мм	Нормативная нагрузка					$q$ , в кН/м <sup>2</sup> при пролете настила $f/\ell = 1/150$	$\ell$ , мм и	
		600	700	800	900	1000			
Настил из листовой стали по ГОСТ 19903-74 (марка стали 09Г2С)									
I	4	11,4	9,2	7,7	6,6	5,8	5,1	4,6	
	6	22,5	17,1	13,6	11,3	9,7	8,5	7,5	6,7
	8	40,2	29,1	22,4	18,0	15,0	12,8	11,1	9,9
	10	66,5	46,3	34,7	27,3	22,2	18,5	15,9	13,9
	12	103,8	70,9	51,6	39,9	31,6	26,2	22,1	18,9
2	4	24,4	17,7	13,5	10,9	9,0	7,7	6,7	
	6	61,6	43,5	31,7	24,3	19,3	15,9	13,4	11,5
	8	100,4	76,9	61,5	47,3	36,6	29,3	24,1	20,3
	10	143,7	106,7	83,5	68,0	57,0	49,2	40,3	33,3
	12	208,8	150,9	117,6	94,1	77,7	65,8	56,9	50,3
3	4	17,9	13,4	10,6	8,7	7,4	6,4	5,6	
	6	43,1	30,3	22,7	17,8	14,5	12,2	10,4	9,1
	8	87,7	59,4	42,9	32,6	25,8	21,1	17,6	15,1
	10	153,2	104,4	74,1	55,3	42,8	34,1	28,1	23,6
	12	261,1	170,4	118,8	87,4	66,5	52,6	42,6	35,2

Таблица 2

Цепные усилия в настилах площадок, соответствующие нагрузкам в табл. I

Настил схема	Толщина, мм	Цепные усилия					$N_c$ , в Н/см при пролетах настила $f/\ell = 1/150$	$\ell$ , мм и
		600	700	800	900	1000		

Настил из рифленой стали по ГОСТ 8568-77 (марка стали ВСтЗКИ)

I	4	II76	II76	II78	II79	II81	II83	II84	
	6	I800	I785	I774	I765	I766	I768	I767	I764
	8	2460	2426	2400	2380	2368	2359	2353	2351
	10	3144	3063	3034	3023	3000	2969	2966	2963
	12	2913	3642	3694	3690	3624	3617	3600	3567
2	4	642	737	814	876	962	992		
	6	572	709	840	964	I059	II47	I222	I286
	8	492	623	762	902	I037	II62	I285	I382
	10	448	541	656	813	953	I090	I225	I357
	12	372	522	578	737	853	998	II43	I077
3	4	II86	II79	II75	II72	II71	II71	II71	
	6	I836	I812	I794	I779	I772	I767	I763	I759
	8	2466	2481	2448	2420	2400	2385	2371	2364
	10	2266	2815	3341	3091	3060	3025	3011	2998
	12	2067	2613	3160	3699	4217	3698	3671	3636

Настил		Ценные усилия № в Н/см при пролетах настила $\ell$ , им и $f/\ell = l/l_{150}$												
Схема	Толщина, мм	600	700	800	900	1000	1100	1200	1300	1400	1500	1600	1800	2000

Настил из листовой стали по ГОСТ 19903-74 (марка стали ВСтЗис6)

I	4	II76	II76	II78	II79	II81	II83	II84						
	6	I800	I785	I774	I765	I766	I768	I767	I764	I769	I771	I772	I776	
	8	2460	2426	2400	2380	2368	2359	2353	2351	2353	2354	2355	2357	2361
	10	3144	3063	3034	3023	3000	2969	2966	2963	2953	2941	2946	2944	2944
	12	3849	3763	3694	3690	3624	3617	3500	3567	3570	3551	3549	3529	3533
?	4	I005	II27	II72	II66	II61	II58	II57						
	6	968	II76	I363	I508	I635	I741	I758	I752	I745	I742	I739	I736	
	8	651	I074	I291	I499	I697	I867	I011	I140	I254	I352	I345	I332	I323
	10	739	931	II57	I392	I614	I826	I022	I219	I367	I513	I643	I867	I931
	12	712	632	1053	I276	I489	I707	I937	I152	I352	I546	I726	I016	I271
3	4	II86	II79	II75	II72	II71	II71	II71						
	6	I836	I812	I794	I779	I772	I767	I763	I758	I757	I756	I755	I756	
	8	2520	2481	2448	2420	2400	2385	2371	2364	2359	2353	2350	2344	2342
	10	3843	3149	3114	3091	3060	3025	3011	2998	2980	2964	2960	2944	2938
	12	3567	4442	3799	3781	3717	3698	3671	3638	3625	3599	3589	3557	3544

Настил из листовой стали по ГОСТ 19903-74 (марка стали 09Г2С)

I	4	II76	II76	II78	II79	II81	II83	II84						
	6	I800	I785	I774	I765	I766	I768	I767	I764	I769	I771	I772	I776	
	8	2460	2426	2400	2380	2368	2359	2353	2351	2353	2354	2355	2357	2361
	10	3144	3063	3034	3023	3000	2969	2966	2963	2953	2941	2946	2944	2944
	12	3849	3763	3694	3690	3624	3617	3600	3567	3570	3551	3549	3529	3533
?	4	II95	II82	II72	II66	II61	II58	II57						
	6	I796	I840	I815	I792	I777	I766	I758	I752	I745	I742	I739	I736	
	8	I650	2046	2395	2461	2432	2410	2390	2377	2365	2352	2345	2332	2323
	10	I299	I667	2038	2393	2720	3034	3057	3032	3006	2987	2975	2944	2931
	12	II62	I479	I869	2233	2596	2940	3264	3579	3680	3647	3629	3585	3556
3	4	II86	II79	II75	II72	II71	II71	II71						
	6	I836	I812	I794	I779	I772	I767	I763	I758	I757	I756	I755	I756	
	8	2520	2481	2448	2420	2400	2385	2371	2364	2359	2353	2350	2344	2342
	10	3228	3149	3114	3091	3060	3025	3011	2998	2980	2964	2960	2944	2938
	12	3938	3868	3799	3781	3717	3698	3671	3636	3625	3599	3589	3557	3544

Таблица 3

Расчетные изгибающие моменты в ребрах жесткости настила площадок

Шаг ребер <i>a</i>	Пролет ребер <i>b</i>	<i>M</i> , кН·м при нормативной нагрузке	<i>q</i> , кН/м <sup>2</sup>									
			2	4	6	8	10	13	15	20	25	30
м												
0,8	I,0	0,3	0,5	0,6	0,8	I,0	I,3	I,5	2,0	2,5	2,9	
0,8	I,2	0,4	0,7	I,0	I,3	I,6	2,0	2,4	3,1	3,8	4,6	
0,8	I,4	0,6	I,0	I,4	I,8	2,3	2,8	3,4	4,4	5,5	6,5	
0,8	I,6	0,8	I,4	I,9	2,5	3,1	3,8	4,5	5,9	7,3	8,8	
0,8	I,8	I,0	I,7	2,5	3,2	4,0	4,9	5,8	7,7	9,5	II,3	
0,8	2,0	I,3	2,2	3,1	4,0	5,0	6,2	7,3	9,6	II,8	I4,I	
0,8	2,2	I,6	2,7	3,8	4,9	6,1	7,5	8,9	II,7	I4,5	I7,2	
0,8	2,5	2,0	3,5	4,9	6,4	8,0	9,8	II,6	I5,3	I8,9	22,5	
0,8	2,8	2,6	4,4	6,2	8,0	II,1	I2,4	I4,7	I9,3	23,8	28,4	
0,8	3,0	3,0	5,0	7,2	9,3	II,7	I4,3	I6,9	22,2	27,5	32,7	
I,0	I,0	0,3	0,5	0,7	0,9	I,1	I,4	I,6	2,1	2,6	3,1	
I,0	I,2	0,5	0,8	I,1	I,5	I,8	2,3	2,7	3,5	4,3	5,2	
I,0	I,4	0,7	I,2	I,7	2,1	2,7	3,3	3,9	5,1	6,4	7,6	
I,0	I,6	0,9	I,6	2,3	2,9	3,7	4,5	5,4	7,0	8,7	JO,4	
I,0	I,8	I,2	2,1	2,9	3,8	4,8	5,9	7,0	9,2	II,3	I3,5	
I,0	2,0	I,5	2,6	3,7	4,8	6,1	7,4	8,8	II,6	I4,3	I7,I	
I,0	2,2	I,9	3,2	4,6	5,9	7,5	9,1	II,8	I4,2	I7,6	21,0	
I,0	2,5	2,5	4,2	6,0	7,8	9,8	I2,0	I4,2	I8,7	23,I	27,5	
I,0	2,8	3,1	5,3	7,6	9,8	I2,4	I5,2	I8,0	23,7	29,3	34,9	
I,0	3,0	3,6	6,2	8,8	II,4	I4,3	I7,6	20,8	27,3	33,8	40,3	
I,2	I,0											
I,2	I,2	0,5	0,8	I,2	I,5	I,9	2,3	2,8	3,6	4,5	5,4	
I,2	I,4	0,7	I,3	I,8	2,3	2,9	3,6	4,3	5,6	6,9	8,3	
I,2	I,6	I,0	I,8	2,5	3,3	4,1	5,1	6,0	7,9	9,7	II,6	
I,2	I,8	I,4	2,3	3,3	4,3	5,5	6,7	8,0	II,4	I2,9	I5,4	
I,2	2,0	I,7	3,0	4,3	5,5	7,0	8,6	II,1	I3,3	I6,5	I9,6	
I,2	2,2	2,2	3,7	5,3	6,8	8,6	II,6	I2,6	I6,5	20,4	24,3	
I,2	2,5	2,8	4,9	7,0	9,1	II,4	I4,0	I6,6	II,8	27,0	32,2	
I,2	2,8	3,6	6,2	8,9	II,5	I4,6	I7,9	II,2	27,8	34,4	41,I	
I,2	3,0	4,2	7,2	II,3	I3,4	I6,8	20,7	24,5	32,2	39,9	47,5	
I,5	I,6	I,1	I,9	2,7	3,6	4,5	5,5	6,5	8,6	II,6	I2,6	
I,5	I,8	I,5	2,6	3,8	4,9	6,2	7,6	9,0	II,8	I4,6	I7,4	
I,5	2,0	2,0	3,4	4,9	6,4	8,0	9,9	II,7	I5,3	I9,0	22,7	
I,5	2,2	2,5	4,3	6,2	8,0	II,1	I2,4	I4,7	I9,3	23,9	28,5	
I,5	2,5	3,4	5,8	8,3	II,8	I3,6	I6,7	I9,8	25,9	32,I	38,	
I,5	2,8	4,3	7,5	II,7	I3,9	I7,5	21,5	25,5	33,4	41,4	49,4	
I,5	3,0	5,0	8,7	I2,4	I6,1	20,3	25,0	29,6	38,9	48,2	57,5	

Расчетные поперечные силы в ребрах жесткости настила площадок

Шаг ребер $a$	Пролет ребер $\delta$	$Q$ , кН при нормативной нагрузке							$q^*$ , кН/м <sup>2</sup>			
		2	4	6	8	10	13	15	20	25	30	
0,8	1,0	0,9	1,4	2,0	2,6	3,2	3,9	4,7	6,1	7,5	9,0	
0,8	1,2	1,1	1,9	2,6	3,4	4,3	5,2	6,2	8,1	10,0	12,0	
0,8	1,4	1,4	2,3	3,3	4,3	5,3	6,5	7,7	10,1	12,5	14,9	
0,8	1,6	1,7	2,8	3,9	5,1	6,4	7,9	9,3	12,2	15,1	17,9	
0,8	1,8	1,9	3,3	4,6	5,9	7,5	9,2	10,8	14,2	17,6	20,9	
0,8	2,0	2,2	3,7	5,3	6,8	8,5	10,5	12,4	16,2	20,1	23,9	
0,8	2,2	2,5	4,2	5,9	7,6	9,6	11,8	13,9	18,2	22,6	26,9	
0,8	2,5	2,9	4,9	6,9	8,9	11,2	13,7	16,2	21,3	26,3	31,3	
0,8	2,8	3,3	5,5	7,9	10,2	12,8	15,7	18,5	24,3	30,1	35,8	
0,8	3,0	3,5	6,0	8,5	11,0	13,8	17,0	20,1	26,3	32,6	38,8	
1,0	1,0	0,9	1,5	2,1	2,7	3,4	4,1	4,9	6,4	7,9	9,4	
1,0	1,2	1,2	2,0	2,9	3,7	4,7	5,7	6,8	8,9	11,0	13,1	
1,0	1,4	1,5	2,6	3,7	4,8	6,0	7,3	8,7	11,4	14,1	16,8	
1,0	1,6	1,9	3,2	4,5	5,8	7,3	9,0	10,6	13,9	17,2	20,5	
1,0	1,8	2,2	3,7	5,3	6,9	8,6	10,6	12,5	16,4	20,3	24,2	
1,0	2,0	2,5	4,3	6,1	7,9	10,0	12,2	14,5	19,0	23,5	28,0	
1,0	2,2	2,9	4,9	6,9	9,0	11,3	13,8	16,4	21,5	25,6	31,7	
1,0	2,5	3,4	5,7	8,1	10,5	13,3	16,3	19,3	25,3	31,3	37,3	
1,0	2,8	3,9	6,6	9,3	12,1	15,2	18,7	22,1	29,0	35,9	42,8	
1,0	3,0	4,2	7,2	10,2	13,2	16,6	20,3	24,1	31,6	39,1	46,6	
1,2	1,0											
1,2	1,2	1,2	2,1	3,0	3,8	4,8	5,9	7,0	9,1	11,3	13,4	
1,2	1,4	1,6	2,8	3,9	5,1	6,4	7,8	9,3	12,1	15,0	17,9	
1,2	1,6	2,0	3,5	4,9	6,3	8,0	9,8	11,6	15,2	18,8	22,4	
1,2	1,8	2,4	4,1	5,9	7,6	9,6	11,7	13,9	18,2	22,5	26,8	
1,2	2,0	2,8	4,8	6,8	8,3	11,1	13,7	16,2	21,2	26,3	31,3	
1,2	2,2	3,2	5,5	7,8	10,1	12,7	15,6	18,5	24,2	30,0	35,8	
1,2	2,5	3,8	6,5	9,2	12,0	15,1	18,5	21,9	28,8	35,6	42,4	
1,2	2,8	4,4	7,5	10,7	13,9	17,5	21,4	25,4	33,3	41,2	49,1	
1,2	3,0	4,8	8,2	11,6	15,1	19,0	23,4	27,7	36,3	45,0	53,6	
1,5	1,6	2,1	3,7	5,2	6,7	8,5	10,4	12,3	16,1	19,9	23,8	
1,5	1,8	2,6	4,5	6,4	8,3	10,4	12,8	15,2	19,9	24,6	29,3	
1,5	2,0	3,1	5,3	7,6	9,8	12,4	15,2	18,0	23,6	29,3	34,9	
1,5	2,2	3,6	6,2	8,8	11,4	14,4	17,6	20,9	27,4	33,9	40,5	
1,5	2,5	4,3	7,4	10,6	13,7	17,3	21,3	25,2	33,1	40,9	48,8	
1,5	2,8	5,1	8,7	12,4	16,1	20,3	24,9	29,5	38,7	48,0	57,2	
1,5	3,0	5,6	9,5	13,6	17,6	22,2	27,3	32,4	42,5	52,6	62,7	

## Строительные величины сечения балок по ГОСТ 26020-83 с учетом настила

№ профиля	$A_s$ , $\text{cm}^2$	Значения $J_x$ и $W_{x,\min}$ при толщине настила $t$ , мм									
		$t = 4$				$t = 6$					
		$J_x$	$W_{x,\min}$	$J_x$	$W_{x,\min}$	$J_x$	$W_{x,\min}$	$J_x$	$W_{x,\min}$		
Нормальные дутавры											
23Б1	32,9	4010	284	4210	298	5560	308	6060	315	6490	321
26Б1	55,6	5320	359	6360	356	7290	368	8040	377	8630	384
30Б1	41,9	8080	460	9570	481	10000	497	12100	509	13000	518
35Б1	49,5	12500	622	14700	650	16800	673	18600	690	20100	703
35Б2	66,2	14000	703	16400	733	18700	757	20800	777	22500	791
40Б1	61,3	19000	853	22000	891	25100	923	28000	948	30300	967
40Б2	69,7	21900	986	25100	1020	28600	1060	31800	1090	34500	1110
45Б1	76,2	29100	1180	33400	1230	37900	1270	42100	1310	46900	1340
45Б2	86,0	33200	1350	37700	1400	42600	1450	47300	1490	51500	1520
50Б1	93,0	42500	1570	48000	1630	54100	1690	60100	1740	65600	1780
50Б2	102,6	47800	1770	53500	1830	60100	1900	66600	1950	72600	1990
55Б1	113,4	62300	2120	69300	2180	77400	2250	85600	2330	93400	2380
55Б2	124,8	69500	2370	76800	2440	85400	2520	94200	2580	102000	2640
60Б1	135,3	86700	2740	95400	2820	105000	2910	116000	2990	127000	3060
60Б2	147,3	95700	3020	104000	3100	115000	3190	126000	3280	138000	3360
70Б1	184,7	136000	3750	149000	3860	163000	3980	179000	4090	195000	4200
70Б2	183,6	157000	4290	169000	4400	185000	4520	202000	4640	219000	4750
80Б1	203,2	213000	5170	230000	5310	251000	5460	273000	5620	297000	5760
90Б1	247,1	322000	6970	344000	7150	371000	7330	402000	7530	435000	7720
100Б1	293,8	468000	9180	495000	9370	530000	9590	570000	9840	613000	10000
100Б2	328,9	539000	10500	567000	10700	603000	10900	645000	11100	690000	11400
100Б3	364,0	611000	11800	639000	12000	676000	12200	720000	12500	768000	12700
100Б4	400,6	679000	13100	708000	13300	746000	13500	791000	13800	842000	14000
Дутавры дополнительных серий (Д)											
35ДБ1	42,8	10900	531	13000	559	14900	579	16800	594	17800	608
40ДБ1	50,6	16300	705	19200	740	22000	769	24500	790	26500	806
45ДБ1	67,0	26100	1030	30300	1080	34600	1120	38500	1150	41900	1180
45ДБ2	82,8	33200	1330	37700	1360	42500	1430	47200	1460	51400	1490

№ профиля	$A_1,$ $\text{cm}^2$	Значения $J_x$ и $W_{x,\min}$ при толщине настила $t$ , мм									
		$t = 4$		$t = 6$		$t = 8$		$t = 10$		$t = 12$	
		$J_x$	$W_{x,\min}$	$J_x$	$W_{x,\min}$	$J_x$	$W_{x,\min}$	$J_x$	$W_{x,\min}$	$J_x$	$W_{x,\min}$
Широкополосные двутавры											
20III	38,9	3400	294	4030	306	4610	315	5090	323	5490	329
23III	46,1	6310	400	6230	416	7120	429	7890	439	8520	447
26III	54,4	7550	522	8770	542	10100	558	11000	572	12000	582
26III2	62,7	8820	610	10100	632	11500	651	12800	667	13800	679
30III	68,3	12200	747	14000	774	15800	798	17600	817	19100	833
30III2	77,6	14100	861	16000	889	18000	916	20000	939	21800	957
30III3	87,0	16000	974	18000	1000	20300	1030	22500	1060	24500	1090
35III	95,7	22300	1210	25000	1240	27900	1280	30900	1310	33700	1330
35III2	104,7	24600	1330	27400	1370	30600	1400	33800	1440	36800	1470
35III3	116,3	27800	1490	30700	1530	34100	1570	37600	1610	40900	1640
40III	122,4	37700	1810	41400	1850	45800	1890	50300	1930	54600	1970
40III2	141,6	43200	2070	47100	2110	51700	2160	56700	2210	61600	2260
40III3	157,2	48300	2300	52400	2350	57300	2410	62600	2460	67900	2510
50III	145,7	66200	2570	72200	2630	79300	2700	86800	2760	94200	2820
50III2	176,6	78000	3030	84300	3100	92000	3180	100000	3260	108000	3330
50III3	199,2	89900	3470	96400	3540	104000	3620	113000	3710	122000	3790
50III4	221,7	102000	3900	108000	3980	117000	4070	126000	4160	137000	4250
60III	181,1	115000	3770	123000	3850	134000	3940	146000	4030	158000	4110
60III2	225,3	139000	4570	149000	4660	160000	4770	174000	4860	187000	4980
60III3	261,8	165000	5360	174000	5450	187000	5570	201000	5690	216000	5810
60III4	298,3	191000	6140	201000	6240	214000	6370	229000	6500	245000	6630
70III	216,4	182000	5130	195000	5230	210000	5350	228000	5480	246000	5590
70III2	251,7	216000	6040	229000	6150	246000	6280	265000	6410	284000	6540
70III3	299,8	258000	7160	272000	7280	289000	7420	310000	7570	332000	7730
70III4	341,6	296000	8140	310000	8260	328000	8420	350000	8590	373000	8760
70III5	389,7	342000	9320	357000	9450	376000	9610	399000	9800	424000	9990

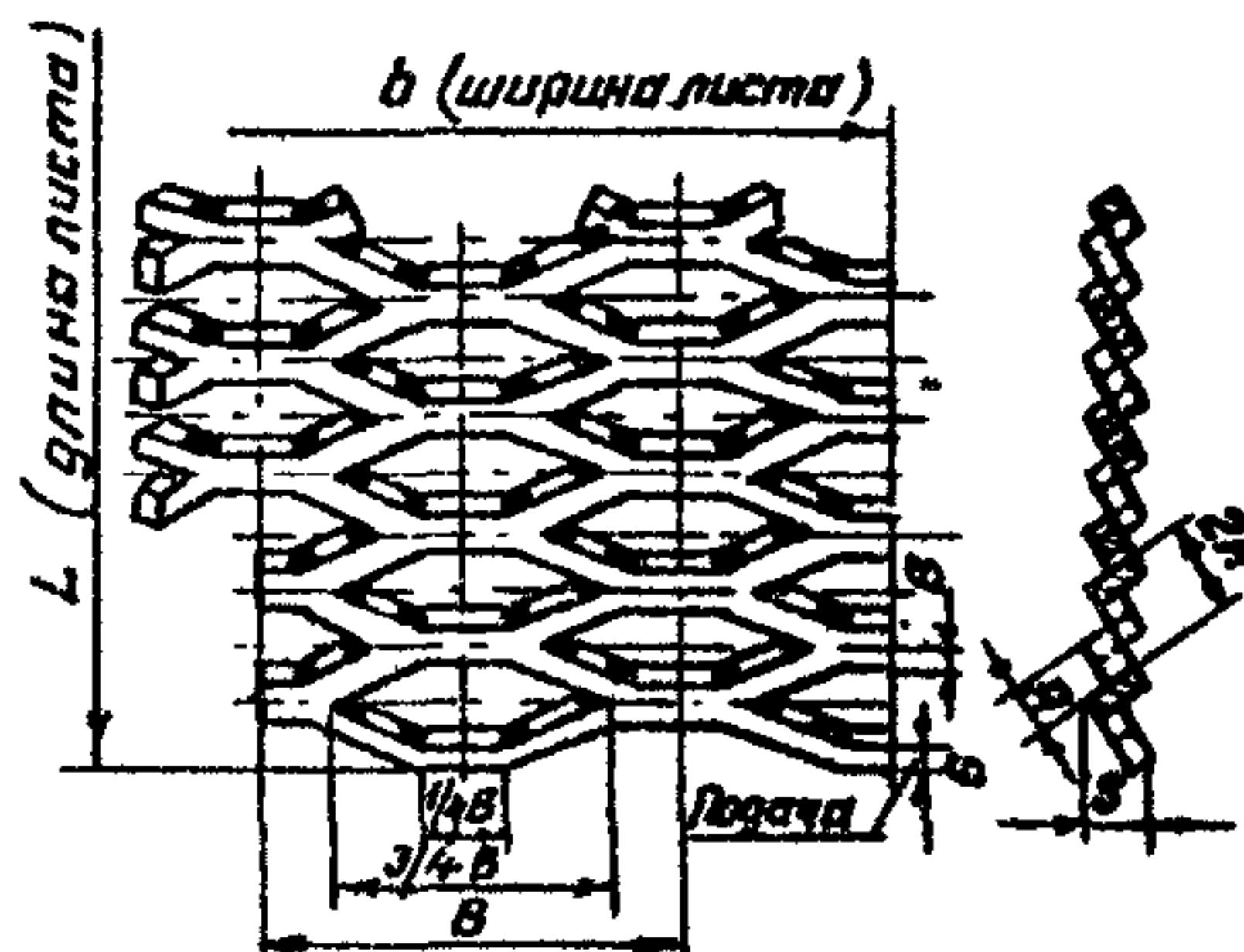
Таблица 6

Справочные величины сечений балок из швеллеров и ребер жесткости  
с учетом настила

Обозна- чение профиля	$A_1$ , $\text{cm}^2$	Значения $J_x$ и $W_{x,\min}$ при толщине настила $t$ , мм									
		$t = 4$		$t = 6$		$t = 8$		$t = 10$		$t = 12$	
		$J_x$	$W_{x,\min}$	$J_x$	$W_{x,\min}$	$J_x$	$W_{x,\min}$	$J_x$	$W_{x,\min}$	$J_x$	$W_{x,\min}$
<b>Швеллеры по ГОСТ 8240-72</b>											
10	10,9	264	40	327	43	378	45	418	46	452	48
12	13,3	440	58	541	61	627	64	696	66	752	68
14	15,6	661	78	681	83	963	87	1070	90	1150	92
16	18,1	1000	103	1210	109	1400	114	1560	118	1690	121
18	20,7	1410	132	1700	140	1970	146	2190	150	2380	154
20	23,4	1930	165	2300	174	2860	181	2970	187	3230	191
22	26,7	2620	206	3090	217	3560	226	3980	233	4330	239
24	30,6	3510	258	4100	270	4710	281	5260	290	5740	297
27	35,2	4950	327	5730	343	6560	356	7330	368	8020	377
30	40,5	6800	409	7800	428	8300	446	9950	461	10900	473
40	61,5	17000	794	19000	825	21300	857	23500	887	25900	912
<b>Ребра жесткости из уголков по ГОСТ 2509-86</b>											
63x5	6,1	408	23	137	25	155	26	171	27	186	28
80x6	9,4	228	44	302	47	350	49	385	50	415	52
90x6	10,6	313	55	419	59	483	62	538	64	578	66
100x7	13,8	448	77	615	84	731	87	814	90	879	92
110x8	17,2	613	103	858	113	1030	118	1160	122	1260	125
125x8	19,7	857	134	1210	146	1480	153	1670	158	1820	162
140x9	24,7	1210	182	1740	201	2160	211	2480	218	2720	224
160x10	31,4	1810	256	2610	285	3300	302	3840	313	4270	321
180x12	38,8	2580	345	3720	386	4760	411	5610	427	6280	439
<b>Ребра жесткости из гофри</b>											
60x6	3,6	36	7	45	8	51	8	57	9	66	10
90x6	5,4	113	15	137	16	152	17	165	18	179	19
100x8	8,0	185	24	231	26	262	28	285	29	307	30
120x8	9,6	300	33	380	37	432	39	470	40	502	42
120x10	12,0	349	40	451	45	521	48	571	50	613	52
150x10	15,0	628	60	820	68	956	73	1050	76	1130	78
180x12	21,6	1140	97	1510	111	1800	120	2020	126	2180	131
200x14	28,0	1670	133	2220	154	2680	163	3040	177	3310	184

Таблица 7

Геометрические размеры просечно-вытяжного настила по ГОСТ 8706-78 и предельные значения сосредоточенной нагрузки, приложенной по середине пролета при защемленных концах



Номер листа	Толщина заготовки, б	Подача, В	Шаг ячейки, В	Толщина листа, S*	Размер вытяжки за каждый ход штамповки, А	Предельная нагрузка на 1 м длины, кг, при ширине листа б									Масса 1 м <sup>2</sup> , кг
						500	600	700	800	900	1000	1100	1250	1400	
406	4	6	90	12,7	10	470	390	320	290	260	-	-	-	-	15,7
506	5	6	110	13,0	12,5	790	660	560	500	440	400	360	320	280	16,4
508	5	8	110	16,8	12,5	1370	1140	970	860	760	680	620	560	490	20,9
510	5	10	110	20,5	12,5	2160	1800	1520	1350	1200	1080	980	870	770	24,7
606	6	6	125	13,4	15	970	810	680	610	540	490	440	390	350	17,3
608	6	8	125	17,1	15	1910	1590	1340	1190	1060	950	870	760	680	21,9
610	6	10	125	20,8	15	2880	2400	2030	1800	1600	1440	1310	1150	1030	26,0

Примечание: \* - размер для справок.

Примечания: 1. Номер листа составлен из размера толщины заготовки (б) и величины подачи (В).

2. Для равномерно распределенной нагрузки указанные в таблице значения предельных нагрузок умножают на 2,2.
3. При свободном опирании концов предельные нагрузки уменьшаются вдвое.
4. Размеры в мм.
5. Защемление настила на концах обеспечивается приваркой каждой полоски настила к балкам.

## ЛИТЕРАТУРА

1. Стальные конструкции: СНиП II-23-81. - М., 1982. - 93 с.
2. Производственные здания промышленных предприятий: СНиП II-90-81, - М., 1982. - 14 с.
3. Нагрузки и воздействия (взамен СНиП II-6-74): СНиП 2.01.07-86. - М., 1986. - 100 с.
4. Бычков Д.В. Строительная механика стержневых тонкостенных конструкций. - М.: Госстройиздат, 1962. - 475 с.
5. Бубнов И.Г. Труды по теории пластин. М., Гостехиздат, 1953.
6. Вольмир А.С. Гибкие пластинки и оболочки. М., Гостехиздат, 1956.
7. Корнишин М. Гибкие пластины и панели. - М., Наука, 1968.
8. Новожилов В.В. Основы нелинейной теории упругости. М. Гостехиздат, 1948.
9. Папкович П.Ф. Труды по строительной механике корабля. т. 3, Л. Судпромгиз, 1962.
10. Прочность, устойчивость, колебания. Справочник, т. 1. М., Машиностроение, 1968.
- II. Сборник статей "Расчет пространственных конструкций". Выпуск III, М., Госстройиздат, 1962.
- I2. Справочник по строительной механике корабля, часть 2 под ред. акад. Ю.А.Шиманского, Судпромгаз, 1958.
- I3. Справочник проектировщика промышленных, жилых и общественных зданий и сооружений. Расчетно-теоретические книги 2. М., Стройиздат, 1973.
- I4. Справочник проектировщика. Металлические конструкции промышленных зданий и сооружений. М., Стройиздат, 1962.
- I5. Тимошенко С.П., Войновский-Кригер С. Пластинки и оболочки. М., Физматгиз, 1963.

СОДЕРЖАНИЕ

Стр.

I. Балки.	
Нагрузки на технологические и рабочие площадки.	3
Конструирование и расчет площадок . . . . .	3-5
Типы балок и компоновка сечений составных балок . . . . .	5
Подбор сечения балок . . . . .	5-6
Расчет балок с учетом кручения . . . . .	6-7
2. Листовые настилы площадок . . . . .	8-11
3. Сквозные настилы площадок . . . . .	II-1
4. Опорные узлы балок и монтажные стыки на высокопрочных болтах . . . . .	I3-1
Приложения I. Предельные усилия для балок . . . . .	
Пояснения к таблицам и примеры расчета . . . . .	I6-1
Балки из двутавров по ГОСТ 26020-83 . . . . .	I8-2
Балки из швеллеров по ГОСТ 8240-72 и двутавров по ГОСТ 8239-72 . . . . .	22-2
Сварные балки двутаврового симметричного сечения . . . . .	24-3
Приложение 2. Данные для расчета балок с учетом пластических деформаций . . . . .	36-3
Приложение 3. Секториальные геометрические характеристики профилей . . . . .	
Пояснения к таблицам . . . . .	39
Формулы секториальных характеристик прокатных и сварных профилей . . . . .	40
Секториальные геометрические характеристики: - для двутавров по ГОСТ 26020-83 . . . . .	41-4
- для прокатных двутавров по ГОСТ 8239-72 и ГОСТ 19425-74 . . . . .	43
- для швеллеров по ГОСТ 8240-72 . . . . .	44
Приложение 4. Ребра жесткости балок . . . . .	
Пояснения к таблицам и примеры подбора сечений ребер жесткости . . . . .	45-46
Сечения ребер жесткости балок, укрепленных поперечными и продольными рёбрами жёсткости	49-50

	Стр.
Пределные усилия на опорные ребра:	
- разрезных балок . . . . .	50-51
- неразрезных балок . . . . .	51-52
<b>Приложение 5</b>	
Данные для расчета стыков и узлов крепления балок на болтах . . . . .	53-54
Пояснения к таблицам и примеры расчета . .	53-54
Значения коэффициентов для определения максимальных усилий в крайних болтах сое- динения от воздействия изгибающих момен- тов . . . . .	55-57
<b>Приложение 6</b>	
Данные для подбора сечения настилов и ребер жесткости площадок . . . . .	58-62
Пояснения к таблицам и примеры расчета . ..	58-62
Предельная нормативная нагрузка на настил площадок . . . . .	63-64
Цепные усилия в настилах площадок . . . .	64-65
Расчетные изгибающие моменты в ребрах жесткости настила площадок . . . . .	66
Расчетные поперечные силы в ребрах жестко- сти настила площадок . . . . .	67
Справочные величины сечения балок по ГОСТ 26020-83 с учетом настила . . . . .	68-69
Справочные величины ребер жесткости с учетом настила . . . . .	70
Геометрические размеры просечно-вытянутого настила по ГОСТ 8706-78 и предельные зна- чения сосредоточенной нагрузки, приложенной по середине пролёта при защемлённых концах..	71

Ответственный за выпуск Л.И.Суздалов  
Техн. редактор Л.А.Пижова

---

Л-85713 Подписано в печати 17.06.87г. Формат 60x84/8.  
Объем 9,5 п.л. Тир.2000 экз. Зак. №409 от 31.05.87.

---

Отпечатано на ротапринте  
ЦНИИпроектстальконструкция им. Мельникова